

INSTITUTUL POLITEHNIC „TRAIAN VUIA” TIMIȘOARA
FACULTATEA DE CONSTRUCȚII

ING. PRELUSCHEK ERVIN

CONTRIBUTII LA PROGNOZA VIITURILOR SI
UTILIZAREA VALORILOR PROGNOZATE IN
GOSPODARIREA APELOR

—TEZA DE DOCTORAT—

CONDUCATOR STIINTIFIC: PROF. DR. ING. JURA CORNEL

BIBLIOTECĂ CENTRALĂ
UNIVERSITATEA „POLITEHNICA”
TIMIȘOARA

INSTITUTUL POLITEHNIC TIMIȘOARA

B. CA

55750.9

Volumul 1989

Detalii 292 E

1989

Capitolul 1

INTRODUCERE. OBIECTIVELE TEZEI

Gradul avansat de amenajare a cursurilor de apă și a facerea folosințelor și pentru apărare împotriva inundațiilor propune o exploatare corespunzătoare, optimizată a resurselor hidrografice și a pescării a apelor. De asemenea, creșterea necesară a duratării folosințelor, pe lângă o exploatare rațională, impune utilizarea celor mai multe resurse existente în amenajările și sistemele transformatorilor nepermanente în acumulări sau rezervoruri de stocare folosințelor, precum și utilizarea antidecizionalelor și cele de protecție în vederea situațiilor de urgență.

Dezvoltarea în viitor a lucrărilor de amenajare integrată a resurselor de lucrări de gospodărire a apelor în condiții ecologice și durabile o exploatare rațională în condiții de securitate.

Astăzi în proiecția cătării în domeniul lucrărilor de gospodărire a apelor utilizând proiectele hidrografelor de viitoră aduce convingerile că, pe termen scurt, o astfelă lucrare își propune să aducă excese de apă și secăciuni, să crească riscurile de inundații și să limiteze posibilitatea de realizare a obiectivelor de lucrări de gospodărire a apelor, și anume:

- o sinteză sumară a metodologiei de proiectare pe termen lung, cu propunerea de a se instala în zonă noilezor a unui termen nou și anume în perioada de cincisprezece ani, în condiții de cinci anuiale, a determinării pe baze statistică-probaabilitate a valoarelor diverse probabilități a mărimiilor hidrologice, ca baza de proiecție, respectiv verificarea lucrărilor hidrotehnice;

- în domeniul profezorilor pe durată de cincisprezece (de la 15 la 20 de ani) se propune introducerea în normative a noulă metodologii foarte bine închegate, bazată pe cuceririle moderne ale statisticii matematice și a teoriei probabilităților pentru determinarea de valori de diverse probabilități - metodologie verificată prin prelucrarea datelor hidrologice înregistrate la diverse posturi hidrometrice situate pe rîurile din Banat.

- pe baza unor contracte și studii /130/ /24/ efectuate de un colectiv din care autorul a făcut parte, se prezintă considerații legate de transformarea acumulărilor nepermanente în acumulări permanente, în vederea satisfacerii necesarului de apă și folosințelor, precum și rezultatele obținute în acest sens, privind utilizarea viiturilor proгnozate și a timpului de anticipație a proгnozelor ;

- e problemă ce trebuie rezolvată în vederea utilizării practice a proгnozelor viiturilor, este generarea hidrografului de viitură care să respecte parametrii proгnozăti : debit maxim, volumul undei, timpii caracteristici și coeficientul de formă. În acest sens se propune o variantă îmbunătățită a metodei Sokolov, prin construirea unui grafic din care se pot determina puterile variabile din ecuațiile prin care se descriu cele două ramuri a hidrografului, în vederea reducerii la minimum a erorilor ;

- se propune verificarea metodei Sokolovski îmbunătățită prin comparare cu metoda clasică, și cu metoda Cadariu, prin compararea erorilor de generare, precum și prin compararea rezultatelor obținute la dimensionarea unei acumulări nepermanente. Cineva că această verificare, se propune și verificarea condițiilor de proiectare a acumulării nepermanente existente Cedar-Duboz, precum și utilizării rezultatelor pentru a stabili cîteva principii și indicații pentru dimensionarea acumulărilor nepermanente ;

- implementarea unor programe de calcul în limbaj BASIC pentru rezolvarea problemelor menționate pe calculatorul s-Mic, cel mai simplu calculator de tip personal ce s-a fabricat în țară, avind în acest fel siguranță că programele pot fi utilizate în orice instituție de proiectare sau de exploatare care dispune de o dotare minimă în materie de tehnică de calcul.

Capitolul 2

PROGNOZA HIDROLOGICA

Acest capitol este sinteza referatelor nr.1 (Stadiul actual al metodicii pregnozelor hidrologice) și nr.2 (Tehnica modelării pregnozelor hidrologice), întemeite și susținute în cadrul Catedrei C.H.I.F.

In literatura de specialitate se dau diferite definiții atât în ceea ce privește noțiunea de prognoză, cît și pentru clasificarea pregnozelor funcție de timpul de anticipație.

Astfel în lucrarea /14/ se spun următoarele : "Prognoza este o știință a previziunii care se ocupă cu studiul celor mai posibile evoluții în viitor a unor sisteme și cărăr comportare este cunoscută pînă în prezent. Prognoza se ocupă cu studiul unor procese stochastice obisnuite.

Scopul studiilor de prognoză este multiplu. După natura activității studiate se deosebesc : progrnoze economice, sociale, tehnologice, meteorologice, hidrologice etc.

In general, se prevăd progrnoze pe termen scurt, mijlociu și lung. Încă nu există un consens unanim asupra noțiunilor acoperă termene. Se obisnuiește să se numească prognoză pe termen scurt atunci cînd intervalul t_a (în viitor) la care se referă prognoza (timp de anticipație), satisfac relația $t_a \leq 1/3 T$, în care T este mărimea intervalului de timp pentru care avem date în cursul dinamic (secvență de valori discrete, fiecare corespunzînd unui anumit moment de timp). In mod analog avem prognoză pe termen mijlociu cînd $1/3 T < t_a \leq T$ sau cînd putem prevedea comportarea viitoare a sistemului cu o probabilitate de col puțin 50 %, prognoză pe termen lung cînd $t_a > T$ ".

Progrnoza hidrologică a viiturilor are o deosebită importanță în proiectarea și exploatarea lucrărilor de gospodărire a apelor, în special a lacurilor de acumulare. In acest sens, în lucrarea /77/ conf.dr.ing.M.Podani indică un grafic (fig.nr.2.1) care aduce clasificarea pregnozelor, înînd socru de precizia lor și de eficiența măsurilor ce se pot lua în gospodărirea apelor mari pe baza pregnozelor, funcție de timpul de anticipație.

In acest grafic se compară doi factori variabili în funcție de timpul de anticipație al informației și progrnozei hidrometeorologice.

rologice, și anume : precizia proghozelor (Pr) și eficiența măsurătorilor ce se pot lua pe baza proghozării (Ef). Precizia proghozelor este o funcție descreșcătoare cu timpul de anticipare T_a iar eficiența este o funcție crescătoare.

Făcind produsul celor doi factori, se obține o nouă variabilă cu alura din figura, curba $Pr \cdot Ef = f(T_a)$ indicând eficiența tuturor proghozelor.

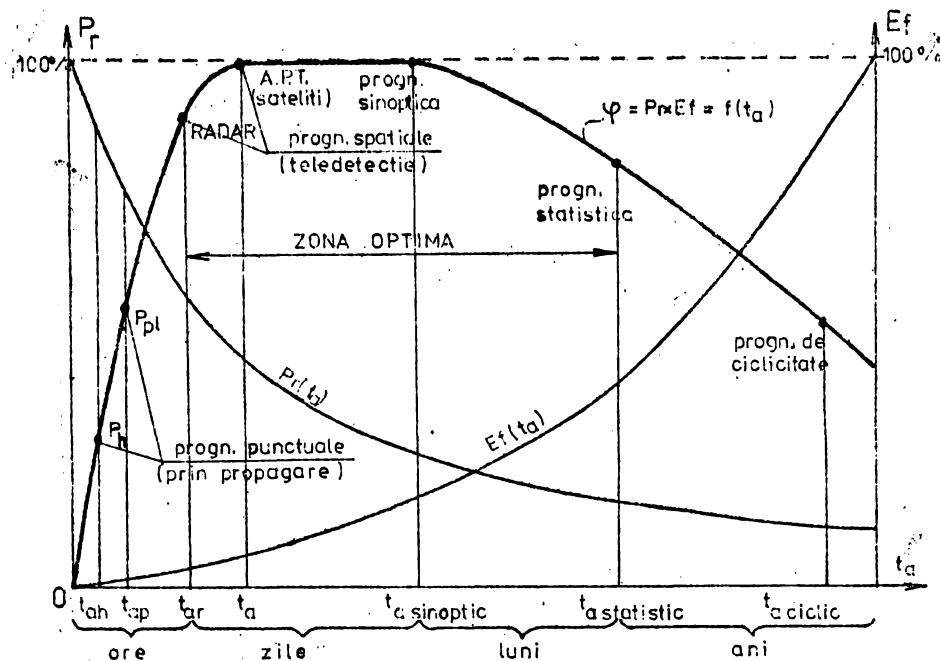


Fig.nr. 2.1

Pozitionând informațiile și proghozele hidrometeorologice pe același grafic, rezultă următoarele :

- proghozele punctuale, bazate pe măsurători la posturile hidrometrice și pluviometrice (fenomen produs) au anticipație și eficiență foarte mică dar precizie foarte mare ;

- proghozele spațiale sau de teledetectie cum sunt radarele hidrometeorologice și informațiile satelitare, au anticipație mai mare, precizie foarte bună și se situează aproape în zona centrală a curbei de optimizare $Pr \cdot Ef = f(T_a)$;

- metodele meteosinoptice se situează între metodele spațiale și cele statistice prin anticiparea mai mare dar precizia relativ mică care le este specifică;

- prognozele de lungă durată și de tendință ocupă zona mășnală în ceea ce privește precizia lor, în schimb au un timp de anticipație mare, fapt care le conferă o mare eficiență, în special pentru măsuri care presupun timp îndelungat, cum este cazul pregarilirii acumulațiilor cu capacitate de regularizare multianuală a debitelor;

- metodele de ciclicitate fac parte din grupa metodelor statisticice, însă ele deși au cea mai mare anticipare (chiar de ordinul anilor), sunt foarte puțin precise.

Lucrarea de față își propune să aducă cîteva contribuții la îmbunătățirea metodelor de prognoză și la utilizarea acestora în proiectarea, respectiv exploatarea lucrărilor de gospodărire a apelor mari, în special a lacurilor de acumulare.

2.1. Metode de prognoză utilizate în hidrologie

2.1.1. Prognoza de scurtă durată

În cadrul metodelor de prognoză de scurtă durată, metodele se pot împărti în:

A. După specificul datelor folosite în metode hidrometrice, metode hidrometeorologice și metode combinate.

Metodele hidrometrice folosesc numai datele de la postul prognozat și pe cele de la posturile hidrometrice situate în acenei în diverse puncte ale rețelei hidrografice. Ele se bazează pe caracteristicile mișcării speciei de-a lungul diverselor secțiuni de rîu. În această categorie se încadrează metoda tendinței, metoda valurilor corespondente. Metodele hidrometrice se aplică numai la rîurile mai mari cu rețeaua dezvoltată și cu rezervă mare de apă în rețeaua hidrografică. În general aceste metode oferă interval redus de anticipație.

Metodele hidrometeorologice, pe lîngă datele hidrometrice, folosesc datele asupra precipitațiilor lichide căzute în diverse intervale de timp, în bazin, și asupra temperaturilor aerului. Ele se bazează pe cunoașterea procesului de formare a surgerii prin modificarea regimului precipitațiilor lichide de către caracteristicile bazinului hidrografic. Ele permit mărirea intervalului de anticipare ale prognozelor elaborate prin metode hidrometrice, mai ales atunci cînd se pot prevedea precipitațiile lichide sub formă cantitativă. În această categorie se înscrie metoda izocronelor, metoda hidrografului unitar, metoda bilanțului hidric (metoda ecuațiilor hidrodinamice), metoda rezervelor de apă din albie.

Metodele combinate sunt considerate de exemplu, în cazul prognozei viiturilor, metodele de compunere a undelor de viitură prognozate pentru anumite părți ale bazinului hidrografic și prognozate transformat în profilul de închidere.

B. De asemenea metodele de prognoză pot fi clasificate, în funcție de principiul pe care se bazează, în :

- metode ce se bazează pe relația genetică, adică pe transformarea precipitație-scurgero;

- metode ce se bazează pe relația de transfer (transport).

În prima categorie se încadrează toate metodele hidrometeorologice de prognoză (metoda izocronelor, a hidrograiului unitar, metoda rezervei de apă în albie), metode care dă prognoza scurte-rii pe baza precipitațiilor, precum și metodele de prognoză de lungă durată ce se bazează pe cunoașterea rezervelor de apă din strătul de zăpadă și prognozarea precipitațiilor în timpul topirii zăpezilor.

În a doua categorie se încadrează metodele de rulare a viiturilor (flood routing) ce dau prognoza în succesiunea proponată și baza înregistrărilor din secțiunile amonte de pe rețeaua hidrografică.

C. Propagarea undelor de viitură pe un sector de riu este o problemă importantă în hidraulica albiilor de riu. Situația nepermanente a apei a fost efectuat de mulți cercetători, autorități aplicării directe în practica construcțiilor hidrotehnice, și în probleme de gospodărire a apelor.

Cu scopul de a oferi o prognoză cât mai exactă a debitelor și în principal a viiturilor, s-au căutat soluții de rezolvare a sistemului de ecuații cu derivate parțiale Saint-Venant /116/.

Legea fundamentală a surgerii nepermanente se bazează pe principiile conservării masei și energiei. Ea poate fi exprimată prin următoarele două ecuații cu derivate parțiale :

$$\frac{\partial H}{\partial x} + \frac{v}{C} \cdot \frac{\partial v}{\partial x} + \frac{1}{g} \cdot \frac{\partial v}{\partial t} + \frac{v^2}{C^2 R} = 0 \quad (2.1)$$

$$A \frac{\partial v}{\partial x} + v \frac{\partial A}{\partial x} + B \frac{\partial H}{\partial t} = 0 \quad (2.2)$$

în care : H - nivelul suprafeței apei ;

v - viteza ;

A - secțiunea transversală a currentului ;

B - lățimea cursului de apă la oglindă ;

- g = acceleratia gravitațională ;
- C = coeficientul de rezistență ;
- R = raza hidraulică ;
- x = distanța de-a lungul canalului ;
- t = timpul.

Trecind ecuațiile (2.1) - (2.2) în diferențe finite, pot fi dezvoltate metode numerice de rezolvare a sistemului.

Introducind cîteva ipoteze simplificatoare și stabilind condițiile inițiale și condițiile la limită, s-au imaginat asemenea unor metode numerice, cum ar fi : metoda caracteristicilor, metoda explicită a rețelelor cu noduri fixe, metoda integrării numerice cu discrетizare parțială.

D. Metodele bazate pe integrarea sistemului complet de ecuații Saint-Venant suferă însă de handicapul unei complexități foarte mari, aceste metode se pot rezolva în timp util doar cu ajutorul calculatorului electronic, de asemenea ele necesită un volum foarte mare de date de intrare /118/.

Neglijînd însă din sistem ecuația (2.1) a conservării energiei, s-au dezvoltat multe metode de studiu al propagării undelor de viitoră bazate pe ecuația (2.2) a continuității. Aceste metode simplificate au aplicații generale și dau rezultate acceptabile.

In general procedeul de calcul ale propagării undelor de viitoră se bazează pe dependența dintre nivelul apei sau debitul scură și volumul de apă înmagazinat în sectorul de riu examinat.

Pentru determinarea acestei dependențe sunt posibile două căi :

- Prima constă în determinarea volumelor de apă înmagazinate în albic la diferite niveli pe baza profilelor transversale sau a unor hărți topografice detaliante.
- A doua cale utilizată în mod curent constă în determinarea volumelor de apă înmagazinate, pe baza examinării hidrografelor de viitoră din înregistrări, considerînd că dependența stabilită pornind de la aceste elemente, va fi valabilă și pentru viitor. Datele necesare pentru această cale constau în înregistrări asupra debitelor și nivelurilor la posturi hidrometrice din secțiunea amonte și în secțiunea aval a sectorului examinat și pe afluenții mai importanți, precum și înregistrările din precipitații pentru porțiunile de bazin necontrolate de posturi hidrometrice. În ambele cazuri volumul de apă înmagazinat în sector, la un anumit moment în timpul producerii viitorii, reprezintă diferența dintre suma

debitelor afluente în sectorul de curs considerat și suma debitelor defluente la capătul aval al acestuia.

Modul de considerare a dependenței dintre debitul defluent și volumul înmagazinat, constituie principala caracteristică a diferențierelor procedee simplificate, pentru calculul propagării viiturilor în albiile râurilor. În această privință V.T.Chaw distinge/105/

- procedee care admit dependența debit-volum univocă ;
- procedee care consideră dependența debit-volum neunivocă;
- procedee care nu utilizează relația debit-volum.

Dintre procedeele din prima categorie se menționează metoda PULS, metoda coeficientului, procedeul Kalinin-Miliukov și procedeul Rock-Wood-Nelson, utilizat în cadrul programului SSARR (denumit, pentru simplitate, și procedeul SAR).

În categoria a doua metode se includ metoda Muskingum și metoda variabilelor fictive R și D /115/, /118/, /4/, /33/, /34/.

Categoria a treia de metode cuprinde procedeul mediilor succesiive și procedeul mediilor mobile progresive. Aceste procedee nu au fost elaborate pe baza relațiilor matematice ale mișcării, ci pornind de la intuirea fenomenului propagării.

2.2. Modelarea hidrologică ca metodă de prognoză

Modelele în hidrologie (fig.nr.2.2) pot fi împărțite în două categorii de bază /89/, /95/, /96/, /97/.

a. Modele fizice care reproduc la scară realitatea din natură (bazine hidrografice sau zone de studiat) și urmăresc fenomenele hidrologice pe baza reproduscerii unor cauze în condiții similare cu cele din natură.

Modelele fizice includ modele la scară (iconice) care respectă similaritatea geometrică și hidraulică, și modele analogice, care au structura fizică mult diferită de obiect (sistemul hidrologic studiat) dar el căror rezultate sunt asemănătoare cu cele ale obiectului.

În acest sens, o importanță mare o au experimentările care se realizează pe bazine mici (bazine experimentale și bazine reprezentative) în ceea ce privește condițiile formării surgerii, precum și pe parcele experimentale asupra domeniilor majore ale proceselor de formare a surgerii (interceptia, acumulări în depresiuni, infiltrarea, evaporarea, evapotranspirația etc.)/21/.

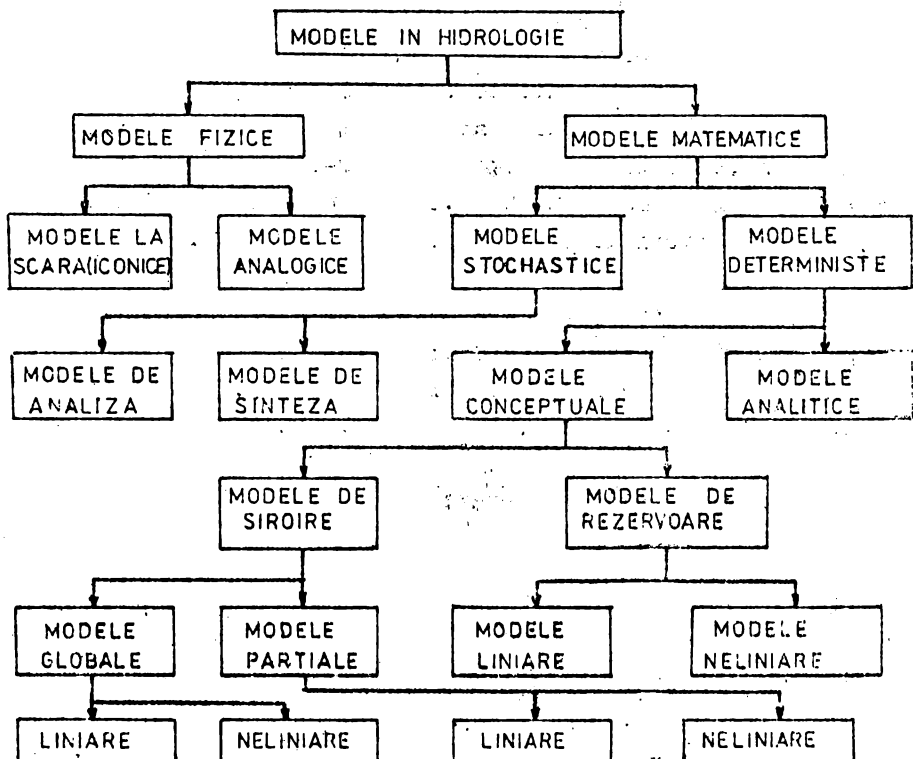


Fig. nr. 2.2

b. Modele matematice care încercă să rezolve prin tehnici matematice descrierea procesului fizic. Modelele matematice pot fi împărțite în modele deterministe și modele stochastice.

— Modelele deterministe neglijăază probabilitatea de producere a valorilor variabilelor implicate în proces. Ele caută să se transpună în formule matematice procesele hidrologice, pe baza corelațiilor fizice între mai mulți parametrii. Orice proces determinist se poate exprima printr-o lege de următoarea formă:

$$Y = T(X_1 \dots X_m, a_1 \dots a_j \dots a_n) \quad (2.3)$$

în care : X_j — sunt variabile ;

a_j — sunt parametri care leagă în mod matematic funcția

Y de cele m variabile X , T fiind expresia acestei legături.

Studiul modelului urmărește să determine funcția T (implicit sau explicit) plecând de la o serie de măsurători experimentale asupra elementelor procesului.

- Modelele stochastice căută să reprezinte fenomenele hidraulice cu ajutorul statisticii matematice și a teoriei probabilităților. Aceste modele pornesc de la premisa că între diferenții termeni și unui grup de elemente nu există legături cauzale fizice, cu alte cuvinte, valoarea lui Y nu este calculată plecind de la variabilele X_i , ci este determinată printr-un mecanism de natură a cărui funcționare depinde de X_i . Deci Y este o variabilă aleatoare a cărei repartiție depinde de alte variabile.

Cele mai multe procedee de calcul pornesc de la faptul că se acceptă drept corespunzătoare o anumită curbă de repartiție teoretică, dedusă cu ajutorul unor raționamente mai mult sau mai puțin complicate, pentru un sir de date critică de mare. În practică există numai un sir limitat de date, un eșantion. Rămâne acum problema de a determina devierea eșantionului de la curba de repartiție teoretică. Apare întrebarea cum se găsește repartiția corectă - dacă într-adevăr există una - și apoi cum compună acestă curbă de repartiție cu un eșantion din observații /95/.

Principalele modele deterministe se pot clasifica în :

- modele conceptuale bazate pe analogia cu hidraulica golirii rezervoarelor (modelele Stanford, O'Donnell, Ayers, Girard, modelul SIM al lui Girard, modelele Nash, CREC, IMH 2 ; se mai folosesc și modelele Nielsen-Hansen, Arima, Zielinska, Merc, Diege, Cote etc.);

- modele conceptuale de șiroire - se poate spune fără a greși prea mult, că modelele de șiroire sunt produse de două curente distincte, unul american prin metoda hidrografului unitar a lui Sherman și altul francez, prin metoda rațională a lui Caquot /115/, cea din urmă cu îmbunătățiri aduse de Larieu și de Lacroix ;

- modele analitice - sunt acele modele matematice care analizează cu ajutorul ecuațiilor hidrodinamice ale scurgerii, procesele fizice ce se petrec într-un bazin...

2.3. Utilizarea mijloacelor moderne de calcul în studiul prognozei viitorilor /118/, /119/, /120/, /123/

Elaborarea prognozelor apelor mari, ca și, în mod deosebit, examinarea variantelor de schema de combatere a inundațiilor la nivel de bazin hidrografic, necesită un volum mare de date ca și de calcule.

Pentru efectuarea volumului mare de calcule în timp cât mai scurt, în condiții de exactitate sporită, în ultimele decenii se utilizează pe scară tot mai largă mijloacele moderne de cal-

cul. Astfel s-au creat programe specializate pentru efectuarea cu ajutorul calculatoarelor electronice a calculelor de atenuare a viiturilor în lacuri de acumulare și de propagare a acestora în albiile râurilor, programe pentru determinarea regimului optim de exploatare a sistemelor de lacuri de acumulare, ținând seama de condițiile de producere a pagubelor în zona ce trebuie apărată de inundații, programe de prognoză pe baza relației genetice precipitație-zurzire, precum și sisteme de avertizare și prognoză automată a viiturilor prevăzute cu senzori pentru prelevarea datelor de intrare, sisteme de telecomunicații și calculator de proces. Un astfel de sistem de avertizare și prognoză automată s-a realizat în bazinul hidrografic Mureș-Superior în urma viiturilor catastrofale produse în perioada 1970-76.

Studiul propagării undelor de viitură prin procedee simplificate necesită un volum mult mai redus de date de bază în comparație cu procedeele bazate pe integrarea în diferențe finite a sistemului de ecuații Saint Venant.

Totuși, pentru obținerea unei precizii acceptabile, este necesar să se testeze anumite ipoteze de valori ale parametrilor de calcul. De asemenea este necesar să se utilizeze în calcule secțiuni intermedii, pe lungimea sectorului de calcul, astfel încât ipotezele de bază ale unor procedee să fie respectate în cît mai bune condiții. De aceea și în aplicarea procedeeelor simplificate ca și în cînd procedeele mai exacte, folosirea mijloacelor moderne de calcul este de mare utilitate.

În această privință s-au obținut o serie de rezultate, ca de exemplu :

- În activitatea sectorului de proiectare a ISCPGA a fost elaborat și utilizat pentru studiul de gospodărire a apelor în bazinul hidrografic Vedea, un program de calcul, care permite efectuarea cu ajutorul calculatorului, a studiului propagării, inclusiv atenuarea în lacuri de acumulare și compunerii undelor de viitură pentru bazine hidrografice de orice configurație. Calculul propagării în cadrul acestui program se efectuează prin procedeul Muskingum.

Cercetările efectuate în secția Economia apelor din cadrul ISCPGA privind modelele simplificate de studiu a apelor mari, au permis adoptarea și elaborarea unor programe ca - programul HYDRA, care permite calculul propagării, inclusiv atenuarea în lacuri de acumulare și compuneră undelor de viitură în cadrul unui bazin hidrografic de orice configurație. Programul conține subroutines pro-

tru calculul propagării prin procedeele TATUM, MUSKINGUM și proce-
deul mediilor progresive, și pentru calculul atenuării în lăcuri
de acumulare prin metoda PULS. În funcție de configurația rețelei
hidrografice și a schemei de combatere a inundațiilor în variante
considerată pentru calculul propagării, se poate utiliza pe bază
de opțiune oricare dintre procedeele respective pe diferite sec-
teare de riu.

- Programul HYDR a fost aplicat pentru propagările și compu-
nerea viiturilor în bazinul hidrografic Tîrnava Mare, utilizând
procedeul MUSKINGUM.

- Programul KAMI permite calculul propagării viiturilor pe
un sector de riu prin procedeul Kalinin-Miliukov. Datele de intrare
necesare sunt : hidrograful undei de viitură la capătul amonte al
sectorului de curs pe care se studiază propagarea, în variante, ca-
racteristicile topografice și hidraulice ale sectorului de curs,
și anume lungimea L, panta medie a suprafeței libere în mișcare
permanență v_{med} , viteza medie a apei v_{med} , și adâncimea corespunzătoare
a apei h_{med} .

- Programul permite de asemenea determinarea vitezei medii
 v_{med} , pe baza caracteristicilor albiei (panta i, raza hidraulică R
și coeficientul lui Chèzy C). În scopul evidențierii influenței
diferiților parametrii de calcul menționați și a pasului de timp
 Δt , este prevăzută posibilitatea considerării acestora în va-
riante.

Prin programul KAMI se determină, în fiecare variantă consi-
derată, parametrii de bază : numărul tronsoanelor de csloul, durată
propagării pe tronsoane și hidrograful viiturii propagate în fie-
care secțiune intermediară precum și în secțiunea din capătul aval
al tronsonului.

- Programul S.A.R. permite efectuarea calculului propagării
viiturilor pe un sector de curs prin procedeul propus de Rockwood
și Nelson. Datele de intrare cerute de program sunt : hidrograful
undei de viitură la capătul amonte, în variante, parametrii de cal-
cul K și r și numărul de tronsoane de calcul. În scopul evidențierii
influenței parametriilor de calcul K și r și a pasului de timp Δt
este prevăzută posibilitatea considerării acestora în variante.

Si acest program permite determinarea hidrografului de vii-
tură propagat în fiecare secțiune intermediară și în secțiunea
finală din capătul aval al sectorului.

- Programul de calcul UNDA 81 (ultima variantă denumită UNDA
85 - folosită și la Catedra CHIF pentru calculul propagării vii-

filor accidentale la mai multe contracte) - se bazează pe integrarea ecuațiilor Saint-Venant în schema implicită pe o rețea dreptunghiulară cu liniarizarea ecuațiilor. Într-o rulare, programul UNDA poate efectua calcule de mișcare nepermanentă pentru o singură ipoteză privind geometria, rugozitatea și descrierea condițiilor de margine, constituind fiecare cîte un caz de calcul. Exactitatea valorilor de calcul depinde de alegerea pașilor de calcul Δx și a rugozității. Alegerea rugozității se poate face prin calcul de optimizare sau prin încercări.

Datele de bază ale programului UNDA sunt hidrograful de viitură în secțiunea de intrare și cheia hidrografică în secțiunea de ieșire. Utilizarea programului UNDA în procesul de calcul al viiturii în scopuri de proiectare este ușoară, la utilizarea lui în scopuri de prognoză se întâmpină unele dificultăți, deoarece cheia hidrografică în secțiunea aval prezintă o pronunțată instabilitate în perioada de viitură.

- Programul MaSTER a fost creat odată cu realizarea sistemului de avertizare și prognoză a viiturilor în bazinul hidrografic Mureș. Este un program complex care îmbină armonios metodele de modelare fizică a scurgerii prin bazină mici avertizare cu modelele matematice și vizează rezolvarea problemei programei viiturilor în bazinul superior al rîului Mureș, pînă la postul hidrografic Alba Iulia, urmînd ca în sectoarele aval să se dea programe prin metoda valorilor corespondente, pornind de la debitele și nivelurile prognozate la p.b. Alba Iulia, și parcurgînd rîul din post în post.

Pentru realizarea programei, bazinul hidrografic Mureș-Superior a fost încadrat într-o rețea de grile, de asemenea s-a schematizat rețeaua hidrografică în mod corespunzător.

Programul realizează o determinare a precipitației efective medii ponderate pe subbazine, cu ajutorul căreia prin procedeul SSARR programează viitura în subbazine, utilizând datele culese din bazină mici avertizoare, dotate cu echipament automat de hidro-, respectiv meteometrie.

Viiturile transferate în punctele de confluență se suprapun printr-un subprogram, iar rularea viiturii în lungul cursului principal (respectiv al afluentilor mari), se realizează prin metoda MUSKINGUM, ajungînd la determinarea în timp foarte scurt a programei debitelor în secțiunea de închidere a bazinului.

554.5⁰⁹
292 F

Utilizarea programului MASTER s-a extins și în alte bazină hidrografice, inclusiv în cele din B.H.Banat /123/.

Desejuri, utilizarea unor programe de calcul automat pentru prognozarea mărimilor hidrologice presupune echiparea corespunzătoare a bazinelor hidrografice din punct de vedere a meteo- și hidrometriei, de asemenea particularizarea programelor generale pentru condițiile concrete ale B.H. în concordanță cu echiparea lor.

2.4. Prognoza de lungă durată

Metodele de prognoză de lungă durată se înscriu în categoria celor cu timp de anticipare mare, de cîteva luni, sezoane sau chiar ani. Ele au precizie redusă, însă eficiență mare în ceea ce privește măsurile ce se pot lua pentru combaterea efectelor inundațiilor /77/.

În general în practica prognozelor hidrologice din țară, se urmărește obținerea prognozelor pentru :

- determinarea rezervelor de apă din zăpadă /28/ ;
- prognoza viiturilor produse de topirea zăpezilor /37/ ;
- prognoza apelor mari de primăvară /38/ ;
- prognoza apelor mici de vară - toamnă /39/, /58/, /59/ ;
- prognoza apelor mici de iarnă /103/.

Metodele de prognoză se realiză în general sub formă de corelații, în care mărimea prognozată se determină funcție de parametrii ce caracterizează surgența într-o perioadă anterioară cu timp de anticipare destul de mare (debite medii, volume scurte etc.).

2.5. Prognoze pe durată de existență

Revenind asupra graficului prezentat în fig.nr.2.1 și a clasificării prognozelor realizate pe baza acestuia, se propune încadrarea în domeniul prognozelor statistice și de ciclicitate la extrema dreaptă a axei absciselor și a procedeeelor de determinare a valorilor de diverse probabilități (numite împotriva "asigurări") necesare dimensionării construcțiilor hidrotehnice. Această propunere se bazează pe următoarele considerente (vezi definiția prognozei de la începutul cap.2) :

- determinarea valorilor mărimilor hidrologice corespunzătoare probabilității de calcul, respectiv de verificare (în conformitate cu clasa de importanță în care se încadrează obiectivul sau sistemul proiectat), nu reprezentă altceva, decât prevederea în timp mare de anticipație a valorilor extreme (maxime sau minime).

ale mărimii hidrologice, la care se garantează existența și buna funcționare a lucrărilor hidrotehnice proiectate;

- determinarea valorilor de calcul și de verificare pe baza fondului de date din măsurători din trecut, utilizând metodele statisticii matematice și teoriei probabilității, este un proces stochastic;

- acest tip de prognoză este de foarte mare durată, ca se referă la durata normată de existență a obiectivului proiectat care devine în acest fel chiar timpul de anticipație t_a progrnozei. Deacărece fondul de date hidrometrice T , de care se dispune în mod obișnuit la proiectarea unei lucrări hidrotehnice se referă la 20-40 ani, iar durata normată de existență a unei construcții hidrotehnice depășește 10^3 ani, se îndeplinește și condiția $t_a > T$.

Se propune că această categorie a prognozelor să fie denumită "prognoze pe durata de existență".

In ceea ce privește metodele statistico-probabilistice de prelucrare a datelor hidrometrice, utilizate în prezent în țară, acestea prezintă o serioasă rămînere în urmă față de dezvoltarea la care a ajuns statistică matematică și teoria probabilităților la nivel mondial.

Metodele de prelucrare statistico-probabilistice a datelor hidrometrice utilizate au fost stabilite prin "Instructiunile tehnice pentru calculul debitelor maxime de apă I-1-63" elaborate de C.S.A.-I.S.C.H. În anul 1972 C.N.A. - I.M.H. a elaborat "Anteproiectul de revizuire Instructiunile tehnice pentru calculul debitelor maxime de apă I-1-63", prin care s-au adus unele îmbunătățiri, cu care aceste instructiuni sunt utilizate și astăzi.

În "Lista principalelor prescripții tehnice din domeniul gospodăririi apelor și al construcțiilor hidrotehnice (existente, în curs de elaborare și propunerii de noi prescripții)" - difuzată în 1984, de către C.N.A., la poz. 60 respectiv 61 se menționează tipurile și două noi instructiuni tehnice ce înlocuiesc I-1-63, și anume "Instructiuni tehnice pentru determinarea caracteristicilor viiturilor de calcul (teoretice) pe râuri cu bazin hidrografice peste 50 km^2 " - la poz. 60, respectiv "Idem, pe râuri cu bazin mic sub $50 \text{ - } 100 \text{ km}^2$ " - la poz. 61.

Cu toate precizările aduse, procedeele de calcul statistico-probabilistice aplicate sunt cele clasice, se bazează pe normativele sovietice introduse prin standardul GOST 3999-48 în anul 1948, și care au suferit pînă în prezent puține modificări în practica hidrologică a U.R.S.S. - unde în prezent se utilizează normativul

SNIP - P.I. - 7 - 65.

In principiu, aceste normative, pentru calculul debitelor maxime de apă prin metode directe prevăd utilizarea curbelor de "asigurare" empirice și extrapolarea acestora în domeniul "asigurărilor" extreme cu ajutorul repartiției PEARSON III integrate prin procedeul KRITKIL-MENKEL.

These methods are criticized, as they do not take into account the process of drawing empirical probability curves, which are considered to be a better approximation of the theoretical probability distribution for extrapolation of empirical curves.

2.5.1. Utilizarea curbelor empirice de probabilitate /80/

Afînd la dispoziție un eșantion constituit din valori măsurate ale unei variabile aleatoare, avînd n termeni distincți și dependenți, termenii eșantionului așezăți în ordine descrescătoare formează sirul :

$$X_1 > X_2 > X_3 \dots > X_n \quad (2.4)$$

Termenii sirului avînd valori distincte, frecvența relativă de apariție a fiecărui termen va fi :

$$f(x) = \frac{1}{n} \quad (2.5)$$

iar probabilitatea de depășire a termenului X_i (în cadrul eșantionului) :

$$P(X_i) = \sum_{j=1}^i \frac{1}{n} = \frac{1}{n} + \frac{1}{n} + \frac{1}{n} + \dots + \frac{1}{n} = \frac{i}{n} \quad (2.6)$$

relația empirică de tip California pentru calculul curbelor empirice de probabilitate stabilită în 1923.

Această relație pentru $i = 0$ conduce la $P = 0$, iar pentru $i = n$ la $P = 1$ (sau $P\% = 100\%$) indiferent de numărul de termeni ai eșantionului. Această situație este valabilă numai pentru eșantionul de date cu ajutorul căruia se caută să se determine curbe de probabilitate a mărimii aleatoare studiate, nu este însă valabilă pentru multimea de bază din care provine eșantionul ($n \rightarrow \infty$).

Pentru a permite extinderea probabilităților de depășire calculate cu datele eșantionului și asupra multimii de bază, s-a ajustat relația de tip California prin introducerea unor coeficienți, procedeu prin care se evită atingerea relației de certitudine ($P = 0$ și $P = 1$). Au fost stabilite o serie de relații empirice, care aproximiază mai mult sau mai puțin repartitia multimii.

de bază în domeniul probabilităților foarte mici, respectiv foarte mari și tabel nr.2.1.

Tabel nr.2.1.

Denumirea formulei	Anul stabilirii	Expresia	Observații	Nr. termenii necesari pt. P=1 %
California	1923	$\frac{1}{n} 100$		100
Hazen	1930	$\frac{2i-1}{2n} 100$		50
Weibull	1939	$\frac{1}{n+1} 100$		99
Kisaball	1946	$\frac{i-0,5}{n} 100$	Pentru i=1 Pentru restul valorilor se interpo- leză linial astfel incit evenimentul median să corespun- dă probabilității 0,5	50
Gegodaev	1955	$\frac{i-0,3}{n+0,4} 100$		70
Blom	1958	$\frac{i-0,365}{n+0,25} 100$		63
Tukey	1962	$\frac{2i-1}{3n+1} 100$		66
Grigorten	1963	$\frac{i-0,44}{n+0,12} 100$		66
Alexeev	1963	$\frac{i-a}{n+b} 100$	Recomandată pentru repartiții de tip extremal, unde $b = \frac{1}{1 + \frac{n+1}{2n}}$ $a = \frac{1-b}{2}$	

În literatura de specialitate /109/, /110/ se recomandă utilizarea relației Weibull, în același timp lucrarea /112/ menționează ca cel mai frecvent utilizată relația Gegodaev, dar recomandă utilizarea formulei Alexeev, justificată pe criteriul minimizării erorilor. Criteriul ridicat este: $(\bar{x}_1, \bar{x}_2, \bar{x}_3, \bar{x}_4, \bar{x}_5) = \min_{i=1}^5 \sum_{j=1}^5 (x_{ij} - \bar{x}_{ij})^2$.

Pentru alegerea uneia sau alteia din aceste relații nu s-a stabilit criterii; un asemenea criteriu l-ar putea constitui numărul termenilor disponibili în cadrul eșantionului. Astfel, pentru a obține o probabilitate de depășire de 1 %, eșantionul trebuie să fie, pentru aplicarea fiecărei dintre relații, numărul de termeni precizat în ultima coloană a tabelului nr.2.1.

Lucrarea /26/ combată utilizarea relațiilor empirice ajustate pentru întocmirea graficelor empirice de probabilitate, bazându-se pe următorul raționament : eșantionul de date cu număr finit de termeni este prelevat dintr-o mulțime de bază, deci la un număr de termeni suficient de mare, va respecta legea de repartiție ce caracterizează această mulțime de bază. Necunoscind toate valorile posibile de bază ale variabilei ale cărui studiu, legea de repartitie a mulțimii de bază nu va putea fi nicio dată determinată cu exactitate, ea va putea fi aproximată însă prin legea de repartitie a eșantionului, care la rîndul ei se poate determina prin procedeul clasic : trăsarea graficului empiric de probabilitate și alegerea repartiției teoretice a cărei curbă de probabilitate asigură cea mai bună coincidență cu acest grafic. Tinind seama de faptul că eșantionul are în orice caz număr finit de termeni, graficul empiric de probabilitate (care caracterizează eșantionul) admite relație de certitudine la capete ($P = 0, P = 1$), iar evitarea acestor relații (ajustarea), în caracterizarea mulțimii de bază, o va realiza însăși repartiția teoretică aleasă. Rezultă deci, că utilizarea relației de tip California este rațională pentru calculul și trăsarea graficului empiric de probabilitate, în plus, prin structura ei simplă, această relație permite o trăsare expeditive, după cum se va arăta în cap. 3 și 4.

De asemenea, de multe ori, determinarea unor valori de proiecțare de o anumită probabilitate se limitează doar la utilizarea curbelor empirice de probabilitate, calculate cu o relație empirică ajustată, fără a se determina și utiliza în acest scop legea de repartitie a mulțimii de bază. În același timp valorile probabilităților de depășire calculate cu relații empirice ajustate depind în mare măsură de numărul total n de termeni ai eșantionului.

Acest lucru poate fi ilustrat pe un exemplu: presupunând existența pe același curs de apă a 5 posturi hidrometrice, înființate la interval de 10 ani, primul în 1920, al doilea în 1930 etc., ultimul în 1960. Calculând cu relația Weibull probabilitatea de depășire a acelieiși viituri din 1970 cu eșantioanele de date înregistrate la aceste posturi ($n = 50, 40, 30, 20, 10$) se obțin valorile 1,96 %, 2,44 %, 3,23 %, 4,76 %, respectiv 9,53 %.

Este evident că probabilitatea de depășire a unei viituri nu depinde de anul înființării posturilor hidrometrice. Singura cauză rațională de urmat este aceea de a utiliza la determinarea valorilor de diverse probabilități legea de repartitie a mulțimii de bază, aproximată cum a-a precizat mai sus, și curba de probabilitate

cei-i corespunde.

2.5.2. Utilizarea repartiției PEARSON III /86/,/80/

Repartiția PEARSON III, rezolvată prin procedeul FOSTER-RIBKIN, a fost introdusă în practica hidrologică prin standardele sovietice GOST 3999-48. În același an cu standardizarea, s-au formulat și primele critici privind utilizarea ei în prelucrarea statistică a datelor hidrometrice. Demonstrând condițiile de aplicabilitate a repartiției Pearson III, Velikanov /26/ a arătat că din punctul de vedere al teoriei probabilităților, utilizarea curbei Pearson III este justificată numai în cazul în care între coeficientul de asimetrie și coeficientul de variație există relația :

$$c_s = 2 \cdot c_v \quad (2.7)$$

Cu o dorogare de la demonstrația riguroasă matematică, Velikanov a admis utilizarea repartiției Pearson III (rezolvarea Foster-Ribkin) și în cazul în care $c_s \neq 2 \cdot c_v$, a accentuat însă că acest lucru nu este valabil pentru toate cazurile, iar utilizarea acestei repartiții în cazul în care $c_s < 2 \cdot c_v$ depășește granița logicii aplicabilității ei.

Astfel Foster a întocmit tabele de calcul cu ajutorul cărora se pot calcula ordonatele curbei Pearson III pentru orice raport între c_s și c_v , chiar și în cazul $c_s < 2 \cdot c_v$, însă în acest caz este valabilă observația de mai sus.

În 1952 Krițkii și Menkel au propus utilizarea unei transformate exponentiale a repartiției Pearson III, rezultând curba de probabilitate Krițkii-Menkel, standardizată prin I-1-63 pentru determinarea debitelor maxime de apă, curbă care de asemenea permite calculul curbei de probabilitate pentru orice valoare a raportului $\alpha = c_s/c_v$.

Principalele observații care se pot aduce utilizării curbei Krițkii-Menkel sunt următoarele : raportul $\alpha = c_s/c_v$ nu se determină pe baze riguroș stiințifice, prin calcul, ci se alege pe baza experienței, funcție de natura mărimii aleatoare prelucrate. În diferite lucrări de specialitate /16/,/70/ și în standarde și instrucțiuni /109/,/110/,/112/ se dau recomandări privind alegerea valorii lui α , aceste recomandări însă se înscriu în limite largi, ceea ce duce la utilizarea pur mecanică a unor relații și tabele de calcul.

2.5.3. Metodologia standardizată privită prin prisma
stadiului actual de dezvoltare a statisticii
matematice și teoriei probabilităților /26/,/80/

Neajunsurile metodologiei actuale de prelucrare a mărimilor aleatoare în hidrologie se manifestă chiar în ceea ce privește constituirea eșantionului pe baza căruia se calculează curbele de probabilitate, deoarece normativele prevăd doar metode empirice de verificare a termenilor eșantionului, bazate pe experiență, fără însă a avea la bază criterii demonstrative matematice (cap.4.1 din I-1-63). De asemenea, normativele în vigoare acceptă ca limită minimă a numărului termenilor eșantionului $n = 20$, deși teoria probabilităților a demonstrat că la $n < 30$, rezultatele prelucrărilor pot fi acceptate doar cu titlu informativ.

Un neajuns general al metodologiei actuale de determinare a valorilor de dimensionare de diverse probabilități îl prezintă extinderea utilizării acestor curbe de probabilitate la prelucrarea unei largi categorii de mărimi hidrometeo cu caracter aleator, indiferent de natura lor. Că, admitând că nivelurile, debitele, volumele scurgerii se încadrează într-o anumită repartiție (nu neapărat Pearson III), nu este obligatoriu ca alte mărimi cu caracter aleator (cantitatea de precipitații, numărul de zile cu precipitații pe lună, temperaturile, numărul de zile cu fenomene de înghet etc.) să se încadreze în același repartiție.

De asemenea, metodologia actuală nu ține seama de tipul de variabile aleatoare în care se încadrează fenomenul, deși statistica matematică și teoria probabilităților diferențiază net variabilele de tip discret de cele de tip continuu, indicând repartiții distincte pentru prelucrarea fiecărei categorii în parte. Repartiția Pearson III (Gama incompletă) este o repartiție de tip continuu, deci aplicarea ei la prelucrarea unor variabile de tip discret (număr de zile cu precipitații pe lună, număr de zile cu fenomene de înghet pe an etc.) este absolut nejustificată.

Cunoștințele actuale în domeniul teoriei probabilităților și a statisticii matematice permit introducerea în domeniul hidrologiei a unei metodologii foarte bine închegate, fondată pe baze rigurose științifice în ceea ce privește stabilirea valorilor de diverse probabilități de depășire a mărimilor studiate. Mărimile hidro-, respectiv meteometrice, prin natura lor constituie

variabile aleatoare, deci la prelucrarea lor sunt valabile toate axiomele, teoremele și legile statisticii matematice și teoriei probabilităților, ramură a matematicii care se ocupă prin excelență de studiul acestei categorii a variabilelor aleatoare.

Din punct de vedere cronologic, teoria probabilităților nu se găsește printre cele mai vechi domenii ale matematicii, nici printre cele mai noi /65/. Primele preocupări mai serioase în acest domeniu au fost generate de problemele pe care cavalerul de Mără, mare autor de jocuri de noroc, îl le-a prezentat lui Pascal în legătură cu Jocul cu zaruri, în 1654. Aceste probleme au stîrnit interesul și preocuparea nu numai a lui Pascal, ci și a matematicienilor Fermat și Huygens, interes care a dus la dezvoltarea vertiginoasă a teoriei probabilităților. Au urmat apoi lucrările lui Bernoulli, care dă prima formă a legii numerelor mari, generalizată mai tîrziu de Poisson, Porel, Cantelli, Kolmogorov.

Moivre în prima jumătate a sec.al XVIII-lea face primele observații asupra repartiției normale, care va fi studiată tehnic de Gauss un secol mai tîrziu. Prin lucrările lui Laplace, teoria probabilităților ia o mare răspindire.

Următoarea perioadă de dezvoltare este dominată de lucrările lui Cebîșev, Leapunov și Markov la sfîrșitul secolului al XIX-lea și începutul sec.al XX-lea.

Perioada modernă de dezvoltare a acestui ramură a matematicii începe cu axiomatizarea acestei discipline cu începere din al treilea deceniu al secolului nostru de către A.N.Kolmogorov.

S-a ajuns pînă în prezent la realizarea unui sistem închegat de axiome, teoreme și legi care permit o prelucrare riguroasă științifică a variabilelor aleatoare, indiferent de natura fizică a acestora, începînd cu constituirea eșantionului de date, verificarea ipotezelor statistice privind eșantionul (independența terenilor, reprezentativitatea și omogenitatea eșantionului), alegerea celei mai corespunzătoare repartiții teoretice pentru încadrarea fenomenului studiat, verificarea suprapunerii (coincidenței) curbei teoretice alese peste graficul empiric de probabilitate a eșantionului și pînă la determinarea valorilor de diverse probabilități de depășire a variabilei aleatoare studiate.

Teoria probabilităților oferă în prezent o gamă largă de repartiții teoretice pentru încadrarea căt mai exactă a fenomenelor studiate, de asemenea prin testările pe care împune, oferă și posibilitatea de a se stabili matematic exactitatea, respectiv gradul

de risc al rezultatelor obținute /26/.

Bazindu-se pe o cunoaștere temeinică a teoriei probabilităților și statisticii matematice, în R.P.Ungaria, la Vizsgyi Kutató Tudományos Intézet (VITUKI - omologul ICPCA) s-a elaborat și standardizat o metodologie de prelucrare a datelor hidrometrice cu valabilitate generală /26/. Această metodologie a stat în principal la baza elaborării contractului nr. 6224/1981, elaborat în cadrul Catedrei CHIF, în trei faze între anii 1981-1983 privind îmbunătățirea metodologiei actuale de obținere din date primare hidro-meteo a valorilor de diverse probabilități, temă înscrisă în Planul nominalizat de stat de cercetare științifică, de aceea constituiște baza de elaborare a următoarelor două capitole ale tezei.

Tinând seama de tematica tezei, se fac referiri doar la prelucrarea variabilelor aleatoare de tip continuu (niveluri, debite, volume), variabilele caracteristice problemelor de prognoză a viiturilor.

C a p i t o l u l 3.

MÉTODE MODERNE ALĂ STATISTICII MATEMATICE SI TEORIEI PROBABILITATILOR CU APLICATII IN HIDROLOGIE

Acest capitol și cel următor au fost întocmite pe baza rezultatelor teoretice și experimentale în calcul hidrologic (rezultate teoretice și experimentale în cadrul lucrării) întocmit și susținut în colectivul Catedrei CHIF.

Se aplică pe metodologia modernă de prelucrare a probabilității a datelor hidro- și meteoșetrice, elaborată la Universitatea din București, în colectiv al Catedrei CHIF și propusă completarea în vîrstă existente în momentul de față în țara noastră cu la determinarea nivelurilor și debitelor maxime de diferență lită, și cu următoarele aspecte :

1. noțiunea de eșantion și principiile prelevării săi ;

2. principiile verificării ipotezelor statistice ;

3. determinarea momentelor empirice și a momentelor centrale ;

4. ipoteze statistice ca bază și verificare. următor

4.1. verificarea independenței termenilor eșantie

4.2. verificarea omogenității eșantionului

4.3. verificarea suprapunabilității curbelor : testelor tice de probabilitate, teste grafice și empirice ;

5. calculul și reprezentarea graficului empiric de iată și a unei curbe analitice.

Spre deosebire de normativele sovietice /112/, care în unele cazuri metodă momentelor cu metoda verosimilității metodologia propusă este o aplicație pură a metodiei moment

3.1. Principiile prelevării eșantionului

In statistică matematică se numește eșantion, totalitatea observațiilor efectuate asupra variației aleatoare, în acest răsărit observațiile constituie eșantionul.

Problema care trebuie rezolvată este aceea de a se să se distribuie variației aleatoare cu ajutorul eșantionului, putând fi rezolvată în trei pași și cu metode relativ simple, esențiale să fie începutul sau condiții de bază

a. varianța eșantionului trebuie să fie independentă

b. eşantionul trebuie să fie reprezentativ.

Condiția independentei înseamnă că stările observate ale fenomenului la un moment dat nu trebuie să influențeze stările succesiuni și fenomene, observate în continuare în sir. De exemplu, nu se poate admite ca după un an cu debite maxime catastrofale, în anul următor vor urma din nou inundații mari, sau din punct de vedere secesă.

Necesitatea reprezentativității cuprinde două condiții : prima cere ca observația să se refere într-adevăr la variabilitatea aleatoare studiată. Ca exemplu, se poate arăta că în calculele referitoare la precipitații, se caută variația aleatoare a cantității de precipitații ce ajunge pe sol. În același timp observațiile asupra precipitațiilor se efectuează cu pluviometre amplasate la înălțimea deasupra solului. Din cauza factorilor perturbatori însă cantitatea de precipitații ce ajunge pe sol nu este identică cu cea colectată de pluviometru, deci apare pericolul de a se determina distribuția unei variabile aleatoare cu totul diferită de cea căutată.

Cea de-a doua condiție a reprezentativității cere ca variația învăluită de variabilele aleatoare studiate să fie aceeași la toate observațiile, multimea datelor să fie omogenă, adică toți termenii eşantionului să facă parte din aceeași distribuție. Ca exemplu, se poate aminti cazul secțiunilor de măsură pe cursurile de apă care se colmatează treptat. Nivelurile în acest caz prezintă o tendință de ridicare continuă, domeniul variației aleatoare se deplasează la cote tot mai ridicate. Dacă valorile observate ale nivelurilor nu sunt reduse la o stare dată a albicii, a doua condiție a reprezentativității nu este îndeplinită, iar rezultările vor fi eronate.

2.2. Principiile verificării ipotezelor statistice

Prin ipoteză statistică se înțelege admiterea valabilității unor presupuneri făcute în legătură cu eşantionul studiat. Ca exemplu se pot da : presupunerea că termenii eşantionului sunt independenti, eşantionul este omogen etc.

Valabilitatea acestor ipoteze trebuie verificată pe baza unor principii ale teoriei probabilităților și anume :

Dacă termenii eşantionului constituie variabile aleatoare, se va obține o variație aleatoare și în cazul pătratelor termenilor proveniți din observație, și suma sau medie numai unuia de termeni etc. Stabilind o funcție între termenii eşantionului,

variația alocateare a acesteia va depinde de variația alocateare a multimi de bază.

Intotdeauna se poate stabili o funcție între termenii eșantionului care să îndeplinească următoarele condiții :

a. valorile funcției, calculate pe baza termenilor eșantionului pot fi doar pozitive sau nule (≥ 0);

b. ipoteza statistică se va îndeplini dacă funcția stabilită în acest fel va atinge o valoare prestatabilă și nu se îndeplinește nici funcția ia o valoare mult mai mare decât aceasta ;

c. distribuția valorilor funcției, practic este influențată doar de numărul termenilor eșantionului luată în considerare la stabilirea funcției ;

d. cu condiția că ipoteza statistică se îndeplinește, distribuția funcției utilizate la verificarea ipotezei poate fi prestatabilită cunoșcind numărul de termeni.

Cunoscind distribuția funcției de verificare și calculând valoarea funcției pe baza eșantionului, se poate determina care este probabilitatea ca această valoare să fie depășită.

Cu cît funcția de verificare va atinge valori mai mari, cu atât probabilitatea de depășire p ce i se poate atinge, va fi mai mică, la extrema se poate presupune că la valori foarte mari ale probabilității de depășire ipoteza statistică nu se îndeplinește, deci aceste valori nu au apărut ca urmare a variației aleatoare, ci din alte cauze. În felul acesta valoarea probabilității de depășire astfel determinată va deveni o măsură a riscului în verificarea ipotezelor statistice.

Pe baza experienței s-au stabilit prevederile din tabelul nr.3.1.

Tabelul nr.3.1

Probabilitatea de depășire p %	
p \geq 5	realizarea ipotezei practic sigură
1% < p < 5	realizarea ipotezei practic nesigură
0,1% < p < 1	realizarea ipotezei aproape exclusă
p < 0,1%	realizarea ipotezei practic exclusă

3.3. Determinarea momentelor empirico și a momentelor eminențiale centrale

Pentru aplicarea metodei momentelor în prelucrarea statistică a eșantionului de date, apare necesitatea calculării momentului em-

piric de ordinul 1 și a momentelor empirice centrale de ordinul 2,3 și 4.

Relațiile de definiție ale acestor momente sunt :

$$\mu_{k,n}(\xi) = \frac{1}{n} \sum_{i=1}^n \xi_i^k ; k = 1, 2, 3, 4, \dots \quad (3.1)$$

$$\mu_{k,n}^*(\xi) = \frac{1}{n} \sum_{i=1}^n (\xi_i - \mu_{1,n})^k ; k = 1, 2, 3, 4, \dots \quad (3.2)$$

în care : $\mu_{k,n}$ - este momentul empiric de ordinul k calculat pe baza eșantionului cu n termeni ;

$\mu_{k,n}^*$ - idem momentul empiric central ;

ξ_i - termenii eșantionului obținuți prin observații asupra variabilei aleatoare X.

Utilizarea relațiilor de definiție (3.1) și (3.2) în general duce la calcule laborioase și de lungă durată, în special în cazul eșantioanelor cu număr mare de termeni.

Pentru a ușura calculale, în statistică matematică s-a elaborat o metodologie de calcul care conduce la utilizarea în calcul a unor numere mici, întregi.

În acest scop se efectuează schimbarea de variabile :

$$\xi = a\eta + b \quad \text{de unde} \quad \eta = \frac{1}{a}\xi - \frac{b}{a} \quad (3.3)$$

prin care variabila ξ se înlocuiește cu variabila η , care îndeplinește condiția enunțată mai sus, de a putea fi caracterizată prin valori numerice mici, întregi cu condiția cărora corespund sătoare a constantelor a și b.

În continuare se calculază sumele :

$$\begin{aligned} \sum_{i=1}^n n_i \eta_i &= [\eta]_1 & \sum_{i=1}^n n_i \eta_i^2 &= [\eta]^2 \\ \sum_{i=1}^n n_i \eta_i^3 &= [\eta]^3 & \sum_{i=1}^n n_i \eta_i^4 &= [\eta]^4 \end{aligned} \quad (3.4)$$

în care n_i reprezintă numărul de apariții al noii variabile în cadrul eșantionului.

Momentele empirice (de ordinul 1) și momentele empirice centrale (de ordinul 2,3 și 4) ale noii variabile η se vor calcula cu ajutorul acestor sume utilizând relațiile :

$$\mu_{1,n}(\eta) = \frac{1}{n} [\eta]_1 \quad (3.5)$$

$$\mu_{2,n}^*(\eta) = \frac{1}{n^2} (n[\eta]^2 - [\eta]_1^2) \quad (3.6)$$

$$\mu_{3,n}^*(\eta) = \frac{1}{n^3} (n^2[\eta]^3 - 3n[\eta]^2[\eta]_1 + 2n[\eta]_1^3) \quad (3.7)$$

$$\mu_{4,n}^*(\eta) = \frac{1}{n^4} (n^3[\eta]^4 - 4n^2[\eta]^3[\eta]_1 + 6n[\eta]^2[\eta]_1^2 - 3n[\eta]_1^4) \quad (3.8)$$

Având calculate aceste valori, momentele corespunzătoare ale variabilei ξ se vor calcula cu relațiile :

$$\mu_{1,n}(\xi) = a \cdot \mu_{1,n}(\eta) + b \quad (3.9)$$

$$\mu_{2,n}^*(\xi) = a^2 \cdot \mu_{2,n}^*(\eta) \quad (3.10)$$

$$\mu_{3,n}^*(\xi) = a^3 \cdot \mu_{3,n}^*(\eta) \quad (3.11)$$

$$\mu_{4,n}^*(\xi) = a^4 \cdot \mu_{4,n}^*(\eta) \quad (3.12)$$

In cazul variabilelor aleatoare de tip continuu (niveuri, detite), schimbarea de variabile poate influenta in carcarea masură rezultatele calculelor și anume momentele empirice centrale de ordinul 2 și 4. Din această cauză, la prelucrarea acestei categorii de variabile aleatoare de tip continuu, se recomandă corectarea relațiilor (3.10) și (3.12), care vor lua forma :

$$\mu_{2,n}^*(\xi) = a^2 [\mu_{2,n}^*(\eta) - \frac{1}{12}] \quad (3.10')$$

$$\mu_{4,n}^*(\xi) = a^4 [\mu_{4,n}^*(\eta) - \frac{1}{2n^2} (n[\eta^2] + [\eta]^2 + \frac{n^2}{40})] \quad (3.11')$$

La efectuarea calculilor trebuie să se țină seama de următoarele (în cazul variabilelor aleatoare de tip continuu) :

- domeniul de variație al eșantionului de date se imparte în 20-25, cel mult 25 subintervale egale ;

- se determină frecvența de apariție n_i a termenilor pe fiecare subinterval ;

- valoarea constantei a din relațiile (3.3) se stabilește egalând valoarea ei cu mărimea subintervalelor ;

- în relațiile (3.3) valoarea variabilei ξ va fi egală cu media pe subinterval ;

- valoarea constantei b se stabilește alegind media unui subinterval care se apreciază a fi media domeniului de variație a eșantionului.

3.4. Ipoteze statistice de bază și verificarea acestora

3.4.1. Verificarea independenței termenilor eșantionului

Verificarea independenței termenilor eșantionului se bazează pe teorema Wald-Wolfowitz, conform căreia dacă termenii unui eșantion cu număr mare de elemente sunt independenți și provin din aceeași distribuție, atunci suma :

$$R = \sum_{i=1}^n \xi_i \cdot \xi_{i+1} \quad (3.13')$$

este o variabilă aleatoare cu distribuție normală cu valoarea probabilă :

$$M_R = \frac{s_1^2 + s_2^2}{n-1} \quad (3.14)$$

și cu dispersia pătratică :

$$D_{(2)}^2 = \frac{S_2^2 - S_4}{n-1} + \frac{S_4^2 - 4S_1S_2 + 4S_1S_3 + S_2^2 - 2S_4}{(n-1)(n-2)} \quad (3.15)$$

în care : n – numărul termenilor eșantionului ;

ξ_i – termenul cu numărul de ordine i al eșantionului în ordinea cronologică a observațiilor (eșantion neordonat) ;

$$S_k = \sum_{i=1}^n \xi_i^k = [\eta_i^k] \quad k = 1, 2, 3, 4 \quad (3.16)$$

Să observăm că sumele S_k din relațiile (3.14), (3.15) se identifică cu sumele $[\eta_i^k]$ utilizate la calculul momentelor empirice.

Suma R să constituie conform relației (3.13), cu funcția de verificare a independenței termenilor eșantionului, în locul sumei R însă se utilizează în acest scop valoarea abolute $|R - M(R)|$ care îndeplinește condiția de a lua doar valori pozitive.

Valoarea de decizie – probabilitatea p asociată funcției de verificare – se calculează pe baza distribuției normale utilizând relația :

$$x_t = \frac{|R - M(R)|}{D(R)} \quad (3.17)$$

la care din tabelele de calcul ale distribuției normale (lucrarea /26/, anexa III) corespunde o valoare $F(x_t)$, cu ajutorul căreia se calculează probabilitatea de decizie p :

$$p = 2[100 - F(x_t)] \quad (3.18)$$

Si în cazul verificării independenței termenilor eșantionului este recomandabil să se lucreze cu numere mici întregi, deci calculele se recomandă să se efectue pe baza schimbării de variabile $\xi = \eta$ precizată la calculul momentelor empirice.

In cazul variabilelor aleatoare de tip continuu (niveluri, delite), prin schimbarea de variabile $\xi = \eta$ se introduc erori în calcule. Pentru a se reduce la minim aceste erori, se recomandă corectarea sumelor utilizate în verificare, după cum urmează :

$$R_k = R - \frac{n}{12} \quad (3.15')$$

$$S_{1k} = S_1; S_{2k} = S_2 - \frac{n}{12}; S_{3k} = S_3 - \frac{S_1}{4}; S_{4k} = S_4 - \frac{S_2}{2} + \frac{2n}{240} \quad (3.16')$$

Metoda prezentată depinde în foarte mare măsură de numărul termenilor eșantionului și se recomandă utilizarea ei doar în cazul eșantionelor cu cel puțin 30 termeni.

Dacă insă, altă metodă de verificare a independenței termenilor eșantionului nu se cunoaște, metoda se utilizează și în cazul eșantioanelor cu mai puțini termeni, rezultatele vor fi însă informative.

3.4.2. Verificarea omogenității eșantionului.

In cazul variabilelor aleatoare de tip discret verificarea omogenității eșantionului se realizează pe baza testului χ^2 al lui Pearson, iar în cazul variabilelor aleatoare de tip continuu (niveuri, debite) pe baza teoremei lui Smirnov. Deoarece variabilele aleatoare cel mai frecvent întâlnite în hidrologie sunt de tip continuu, în continuare se prezintă această metodă de verificare.

Metoda Smirnov se bazează pe compararea unor segmente ale eșantionului. Modul în care se realizează segmentarea, depinde de caracteristicile eșantionului studiat.

Dacă se poate presupune că valoarea variabilei aleatoare a suferit influența unui factor perturbator cu acțiune continuu în același sens (cum ar fi cazul nivelurilor de apă influențate de ridicarea patului albiei prin depunerile), este indicat ca eșantionul să fie împărțit în două jumătăți egale, care constituie segmentele.

Dacă influența perturbatoare se manifestă la o dată bine precizată (ca de exemplu influența îndiguririi râului asupra nivelurilor), este recomandabil ca segmentarea să se realizeze în momentul în care a intervenit această influență.

In cazul în care se studiază influența unui factor perturbator cu acțiune periodică, segmentarea trebuie să respecte această periodicitate.

De multe ori se întâmplă ca în urma analizei oricără de atenție nu se creezeze nici un fel de influență perturbatoare. Si în acest caz se recomandă segmentarea la mijloc a eșantionului.

Odată pregătirea fiind terminată prin segmentarea eșantionului, trece la verificarea efectivă a omogenității pe baza teoremei lui Smirnov anunțată, în felul următor :

Dacă termenii a două eșanțioane cu k , respectiv l , terzeni, proveniți din aceeași mulțime de bază (deci omogene), sunt independenți, atunci produsul (care constituie funcția de verificare) :

$$z = d_{k,l} \sqrt{n} \quad (3.19)$$

este o variabilă aleatoare, care la valori mari ale lui k și l se numără în distribuția Kolmogorov.

În relația de mai sus $d_{k,l}$ reprezintă diferența maximă (în sens pozitiv) între graficele empirice de probabilitate ale celor două eșanțioane (segmentele), iar \sqrt{n} se calculează din relația :

$$\sqrt{n} = \sqrt{\frac{k \cdot l}{k + l}} \quad (3.20)$$

- Deci omogenitatea se verifică parcurgind următoarele etape:
- eșantionul se segmentează în mod corespunzător, după care se reprezintă graficele empirice de probabilitate ale segmentelor, determinându-se abaterea maximă $d_{k,1}$ între ele;
 - se calculează valoarea \sqrt{n} din (3.19) și valoarea funcției de verificare z din (3.20);
 - din tabelele de calcul ale distribuției Kolmogorov (lucrarea /26/, anexa VI), se extrage valoarea $L(z)$ corespunzătoare valoii z calculate;
 - probabilitatea de decizie p în verificarea ipotezelor statistice a omogenității, se calculează cu relația :

$$p = 100 - L(z) \quad (3.21)$$

3.4.3. Verificarea suprapunerii curbelor funcțiilor analitice de probabilitate peste curbele empirice

Scopul calculelor statistic-probabilistice în hidrologie este de a se stabili funcția (curba) de probabilitate a variabilei aleatoare, pe baza unui eșantion și de a se utiliza funcția (curba) astfel stabilită pentru determinarea unor valori ale variabilei ce corespund la diferite probabilități. Înainte de a trece însă la utilizarea funcțiilor de probabilitate alese din multitudinea funcțiilor cunoscute în teoria probabilităților, este necesar să se verifice dacă se suprapun în mod corespunzător peste graficul empiric de probabilitate a eșantionului.

În cazul variabilelor alcătătoare de tip discret, metoda de verificare se bazează tot pe utilizarea testului k^2 al lui Pearson, ținând seama de observațiile lui Fischer.

Din aceleași considerente arătate la paragraful 3.4.2., vom prezenta doar metoda utilizată în cazul variabilelor de tip continuu, care se bazează pe următoarea teoremă a lui Kolmogorov.

Dacă un eșantion cu n termeni provine dintr-o mulțime de bază ce poate fi caracterizată prin funcția de distribuție $F(x)$, graficul empiric de probabilitate al eșantionului va aproxima funcția de distribuție $F(x)$, iar produsul (funcția de verificare) :

$$z = d_n \sqrt{n} \dots \quad (3.22)$$

pentru $n \geq 30$ va fi o variabilă aleatoare cu distribuție Kolmogorov.

În relația (3.22) d_n reprezintă abaterea maximă (pozitivă) dintre graficul empiric de probabilitate a eșantionului cu n termeni și funcția de probabilitate $F(x)$ a mulțimii de bază.

În consecință verificarea suprapunerii cere efectuarea ur-

mătoarelor :

- presupunind care ar fi funcția de distribuție a mulțimii de bază, se calculează și se reprezintă curba corespunzătoare, suprapunindu-se peste graficul empiric de probabilitate al eșantionului ;

- se determină abaterea maximă d_n dintre aceste două grafice cunoșcind numărul termenilor eșantionului n , se calculează din relația (3.22) valoarea funcției de verificare Z . . .

- din tabelele de calcul ale distribuției Kolmogorov (lucrarea /26/, anexa VI), prin interpolare se determină valoarea variabili I(z) la care corespunde valoarea probabilității de decizie p conform relației (3.21).

Atât în cazul relației (3.18), cât și a relației (3.21), ipoteza statistică (independența termenilor, omogenitatea eșantionului, suprapunerea curbelor de probabilitate), se consideră îndeplinită dacă probabilitates de decizie ia valori $p \geq 5$ (conform tabelului nr.3.1).

3.5. Calculul și reprezentarea graficului empiric de probabilitate și a unor curbe teoretice de tip continuu

3.5.1. Calculul și trasarea graficului empiric de probabilitate

Graficul empiric de probabilitate se calculează și se reprezintă pe baza relației tip California cu ajutorul căreia s-a calculat și tabelele ajutătoare (anexa nr. IX din /26/).

$$P_i = \sum_{i=1}^k \frac{i}{n} \quad (3.28)$$

Acest grafic se trăsează ușor, dacă reprezentarea se realizează pe hirtie milimetrică și se alege în mod corespunzător scara probabilităților pe axa ordonatelor, în aşa fel încât la raportul $1/n$ să corespundă număr întreg de mm.

Dacă de exemplu $n = 70$, raportul $1/n = 0,0143$ (1,43%). Alegând corespondența $2 \text{ mm} = 1,43\%$, la $P = 10\%$ ($0,1$) vor corespunde 20 mm , iar la $P = 100\%$ ($1,0$) corespund 14 cm .

Trasarea graficului de probabilitate se realizează parcurgând următoarele etape :

rul de scară 1/n ;

→ în dreptul fiecărei valori ξ_i^* cu numărul de apariții n_i se procedează la fel, trăsindu-se segmentele în continuare ; unindu-se cu orizontale capetele segmentelor trasate, rezultă un grafic în scară, graficul empiric de probabilitate.

3.5.2. Curbe teoretice de probabilitate

a) Curba de probabilitate Pearson III

Calculul și reprezentarea acestei curbe se realizează conform indicațiilor din literatura de specialitate /15/, /46/, /70/, /109/ prin determinarea coeficientului de variație și a coeficientului de asimetrie și calculul ordonatelor curbei prin utilizarea tabelelor Foster-Ribkin și a relației :

$$\xi_{px} = \bar{\xi} (1 + \phi \cdot C_v) \quad (3.24)$$

In cazul aplicării procedeului Kritskii-Menzel, se apelează la tabelele de calcul corespunzător /109/ și la relația :

$$\xi_{px} = k_{px} \cdot \bar{\xi} \quad (3.24')$$

b) Distribuția normală (Gauss)

Această distribuție este caracterizată prin doi parametrii :

$$m = M(\xi) \approx \mu_{1,n}(\xi) \quad (3.25)$$

$$\sigma = D(\xi) \approx \sqrt{\mu_{2,n}^*(\xi)} \quad (3.26)$$

Valorile probabilităților aferente diferențialor valori, ale variabilei aleatoare se calculează pe baza tabelelor de calcul din literatura de specialitate (anexa III din /26/) care cuprindă valorile funcției de probabilitate corespunzătoare valorilor $x = x_t$ calculate pentru :

$$m=0, \sigma=1 \quad \text{și} \quad x_t \geq 0 \quad (3.27)$$

Dacă $m \neq 0$ și $\sigma \neq 1$, cu ajutorul valorilor x_t extrase din tabele se calculează valoarele reale ale lui x pe baza relației :

$$x = m + \sigma \cdot x_t \quad (3.28)$$

Dacă $x_t < 0$, probabilitatea corespunzătoare se determină cu relația :

$$F(-x_t) = 100 - F(x_t) \quad (3.29)$$

c) Distribuția logaritmic normală

In cazul unui număr important de variabile aleatorice se constată că nu valorile măsurate, ci logaritmii lor se pot caracteriza prin distribuția normală. In consecință curba logaritmic normală se calculează și trăsătură după cele prezentate la b, încadrând esantionul original printre-un nou esantion compus din logaritmi termenilor obținuți din observații, apelind la schimbarea

dă variabilele :

$$y = \ln x \quad (3.30)$$

Distribuția logaritmic normală are sens numai în cazul valo-
rilor $x > 0$.

Parametrii distribuției vor fi evident :

$$m = M(\ln \eta) \quad \text{și} \quad V = D(\ln \eta) \quad (3.31)$$

d) Distribuția gama

Parametrii distribuției gama (completă, cu trei parametri) se calculează cu relațiile :

$$x_0 = \mu_1 - 2 \frac{(\mu_2^*)^2}{\mu_3^*} \quad (3.32)$$

$$\lambda = \frac{\mu_1 - x_0}{\mu_2^*} \quad (3.33)$$

$$k = \frac{(\mu_1 - x_0)^2}{\mu_2^*} \quad (3.34)$$

Dacă $x_0 = 0$, distribuția gama completă se transformă în di-
stribuția gama încopleită cu doi parametri.

Calculul valorilor funcției de probabilitate se realizează
utilizând tabelele ajutătoare indicate de literatura de specia-
tate (anexa IV din /26/) care specifică valerile variabilor inde-
pendente $x = x_t$ calculate pentru diferite valori ale lui k și pen-
tru :

$$\lambda = 0,5 \quad \text{și} \quad x_0 = 0 \quad (3.35)$$

Dacă $\lambda \neq 0,5$ și $x_0 \neq 0$, ordonatele curbei de probabilitate
se calculează cu relația :

$$x_t = (x - x_0) 2\lambda \quad (3.36)$$

Observații : se poate întâmpla, ca valoarea calculată a pa-
metrului x_t din relația (3.32) să rezulte mai mică decit cea mai
mică valoare ξ_1^* măsurată în cadrul eșantionului. De aceea se
poate întâmpla și rezulta $x_0 < 0$ în cazul unor variabile alcătuite
care nu pot lua valori negative (cum ar fi debitele de exemplu).

În ambele cazuri trebuie analizat eșantionul, decareces situa-
țiile imposibile de mai sus se pot datora unor erori acciden-
țiale. Dacă în urma analizei oricărt de atente a eșantionului nu se po-
măștă contradicții, se procedează în felul următor :

a) dacă $x_0 < 0$, în timp ce valorile variabilei aleatoare trebuie să fie pozitive, este indicat să se accepte valoarea modificată :

$$x_0 = 0 \quad (3.37)$$

b) dacă $x_0 > \xi_1^*$, și $\mu_{3,n} > 0$, se indică calcularea parametrului x_0 din următoarele relații :

$$x_0' = x_{of} \quad \text{dacă} \quad k > 15 \quad (3.38)$$

$$x_0' = x_{of} + \frac{\xi_1^* - x_{of}}{15} \cdot (15 - k) \quad \text{dacă} \quad k < 15 \quad (3.39)$$

în care : x_{of} - este limită inferioară a variabilei aleatoare determinată din natura fenomenului ;

k - valoarea parametrului k calculată direct din eșantion cu relația (3.34) ;

c) dacă $x_0 > \xi_1^*$ și $\mu_{3,n} \leq 0$ se renunță la utilizarea distribuției gama.

În cazurile a și b, cu valoarea modificată x_0' a parametrului x_0 , trebuie recalculate valorile parametrilor λ și k cu relațiile (3.33) și (3.34), iar în continuare se utilizează valoările modificate λ' și k' .

Capitol 4

EXEMPLE DE L'APLICARE A METODOLOGIET PROFESIE

Că exemplificare a metodologiei expuse în capitolul 3 se prezintă în continuare prelucrările de niveluri, respectiv debitul maxim anual înregistrat pe rîul Timiș, p.k. Turnu în perioada 1932. Sisul de date pe 70 de ani a avut două întreținări în perioada 1919-24, respectiv 1936-37, completarea fișelor de date, său fiind prin cercare cu datele de la alte posturi hidrometrice și în final cheia limnimetrică multianuală a sezonului.

A. *Echinosphaera nivalurilor*

În volumul maxim așezat pe rîul Timiș, p.b. Lagăr, inscripția din perioada 1863-1864 să fi înscrisă în tabelul nr. 4.1.

Tabelau 1 nro. 4, 2

Postul : Iată o postulă : Lugoj Niveluri maxime cauzale și

Tabelul nr.4.2

Subintervale ale variabi- lei	Media		n _i	\eta _i	n _i \eta _i	n _i \eta _i ²	n _i \eta _i ³	n _i \eta _i ⁴
	Pe sub- interval	Pe do- meniu						
100-149	125		12	-4	-48	192	-768	3372
150-199	175		19	-3	-57	121	-213	1539
200-249	225		12	-2	-24	48	-96	192
250-299	275		9	-1	-9	9	-9	9
300-349	325	325	10	0	-138	0	-1386	0
350-399	375		3	1	3	3	3	3
400-449	425		3	2	6	12	24	48
450-499	475		1	3	3	9	27	81
500-549	525		1	4	4	16	64	256
		\Sigma	70		+16		+118	
					-138		-1386	
						-122	-460	-208
							-460	+5200

Cu ajutorul sumelor $n_i \eta_i$ și utilizând relațiile (3.5)-(3.6) s-a calculat momentele nodi variabilei η , iar cu relațiile (3.9)-(3.12) momentele empirice ale eşantionului original ξ .

Momentele variabilei η rezultă :

$$\mu_{1,70}(\eta) = \frac{1}{70} (-122) = -1,7429$$

$$\mu_{2,70}^*(\eta) = \frac{1}{70^2} [70 \cdot 460 - (-122)^2] = 3,5339$$

$$\mu_{3,70}^*(\eta) = \frac{1}{70^3} [70^2(-122) - 3 \cdot 70 \cdot 460 \cdot (-122) + 2 \cdot 70 \cdot (-122)^3] = 5,6569$$

$$\mu_{4,70}^*(\eta) = \frac{1}{70^4} [70^3 \cdot 5200 - 4 \cdot 70^2 \cdot (-122) \cdot (-122) + 6 \cdot 70 \cdot 460 \cdot (-122)^2 - 3 \cdot (-122)^4] = 40,0894$$

Obs.: a = 50 ; b = 325.

Momentele variabilei ξ :

$$\mu_{1,70}(\xi) = 50(-1,7429) + 325 = 238 \text{ cm}$$

$$\mu_{2,70}^*(\xi) = 50^2(3,5339 - \frac{1}{12}) = 8624,42$$

$$\mu_{3,70}^*(\xi) = 50^3 \cdot 5,6569 = 7,0711 \cdot 10^5$$

$$\mu_{4,70}^*(\xi) = 50^4 [40,0894 - \frac{1}{2 \cdot 70} (70 \cdot 460 - (-122)^2 + \frac{70^2}{12})] = 2,3944 \cdot 10^6$$

Verificare: În cadrul unei terenările esantionului se realizează conform cerințelor următoare la 3.4.1.

În tabelul nr.4.1 s-a calculat suma :

$$R = \sum \eta_i \eta_{i+1} = 258 \text{ cm}$$

iar din tabelul nr.4.2 rezultă sumele :

$$S_1 = -122 ; S_2 = +460 ; S_3 = -1268 ; S_4 = +5200$$

Utilizând relațiile (3.13') și (3.16') se calculează :

$$R_K = 258 - \frac{70}{12} = 252,1667$$

$$S_{1K} = -122$$

$$S_{2,K} = 460 - \frac{70}{12} = 454,1667$$

$$S_{3,K} = -1268 + \frac{122}{4} = -1237,50$$

$$S_{4,K} = 5200 - \frac{460}{2} + \frac{7 \cdot 70}{240} = 4972,0416$$

Se calculează relațiile (3.14) și (3.15) :

$$M_{(R_K)} = \frac{(-122)^2 - 454,1667}{(70-1)} = 209,1280$$

$$D_{(R_K)}^2 = \frac{454,1667 - 5200}{(70-1)} +$$

$$+ \frac{(-122)^4 - 4 \cdot (-122)^2 \cdot 454,1667 + 4 \cdot (-122) \cdot (-1237,50) + 454,1667^2 - 2 \cdot 5200}{(70-1)(70-2)} -$$

$$- 209,1280^2 = 802,2510$$

$$\text{De unde : } D_{(R_K)} = \sqrt{802,2510} = 28,3240$$

Din relația (3.17) rezultă :

$$x_t = \frac{|252,1667 - 209,1280|}{28,3240} = 1,5195 \approx 1,52$$

în care din tabelele de calcul (anexa III din /26/) corespunde : $P(x_t) = 93,57\%$, iar variabila de decizie va fi :

$$p = 2(100 - 93,57) = 12,86\% > 5\%$$

Deci termenii eșantionului sunt independenti.

Pentru verificarea omogenității eșantionului și a suprapunemii curbei analitice de probabilitate peste graficul empiric de probabilitate, în tabelul nr.4.3 s-a ordonat eșantionul de 70 de termeni. De asemenea s-a segmentat eșantionul în două segmente egale scopind perioadele 1893-1927 și 1928-1962, segmentele fiind la rândul lor trecute ordonate în sens crescător în ecalșări tabel.

Graficele empirice de probabilitate ale segmentelor s-au reprezentat în fig.nr.4.1, iar al eșantionului unificat în fig.nr.4.2

Verificarea omogenității eșantionului se realizează în conformitate cu cele arătate la 3.4.2.

Abaterea maximă între graficele empirice de probabilitate a segmentelor (fig.nr.4.1) este :

$$d_{35,35} = 0,17$$

Din relația (3.20) se calculează :

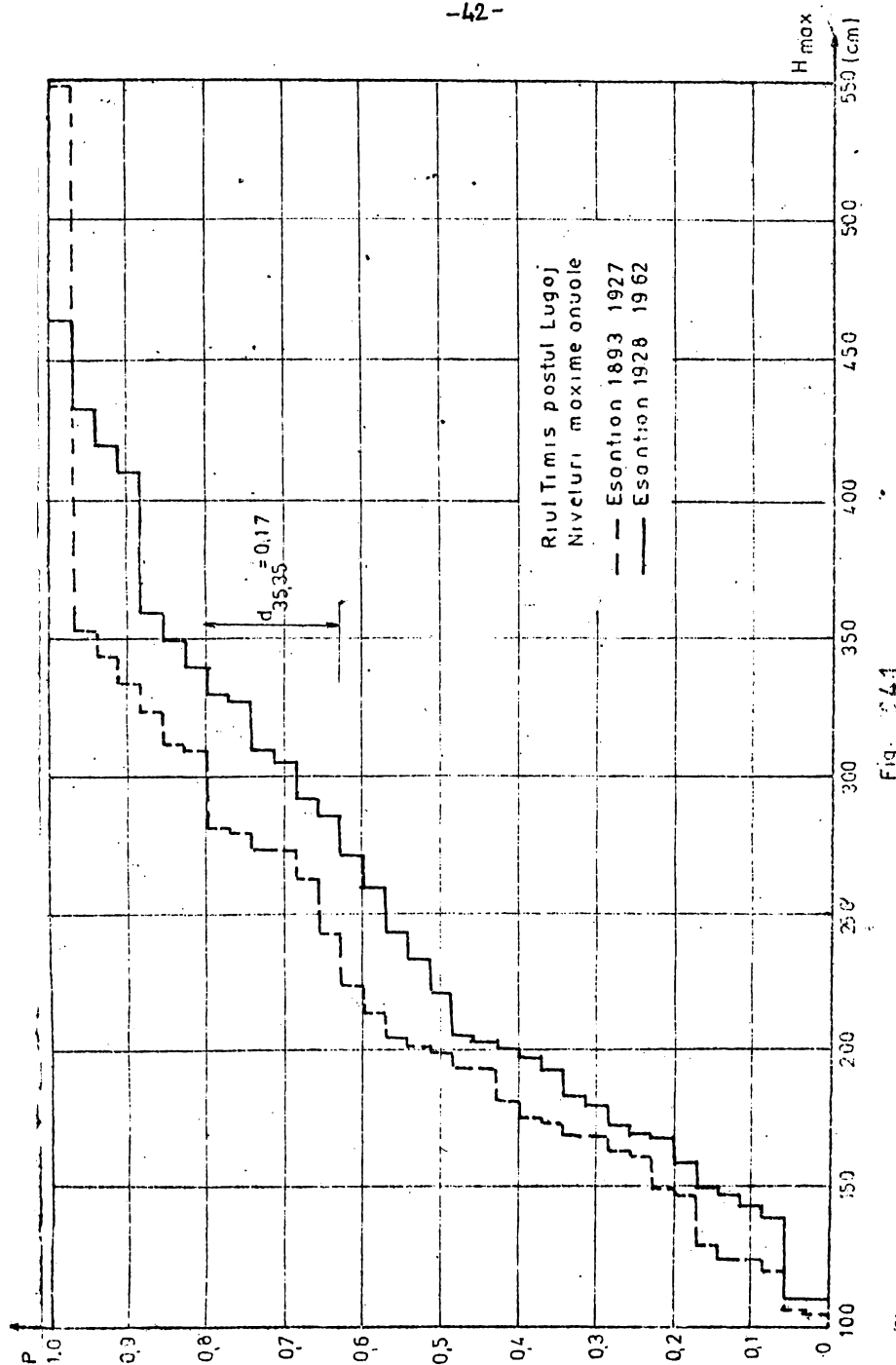
$$\sqrt{n} = \sqrt{\frac{35 \cdot 35}{35 + 35}} = 4,1833$$

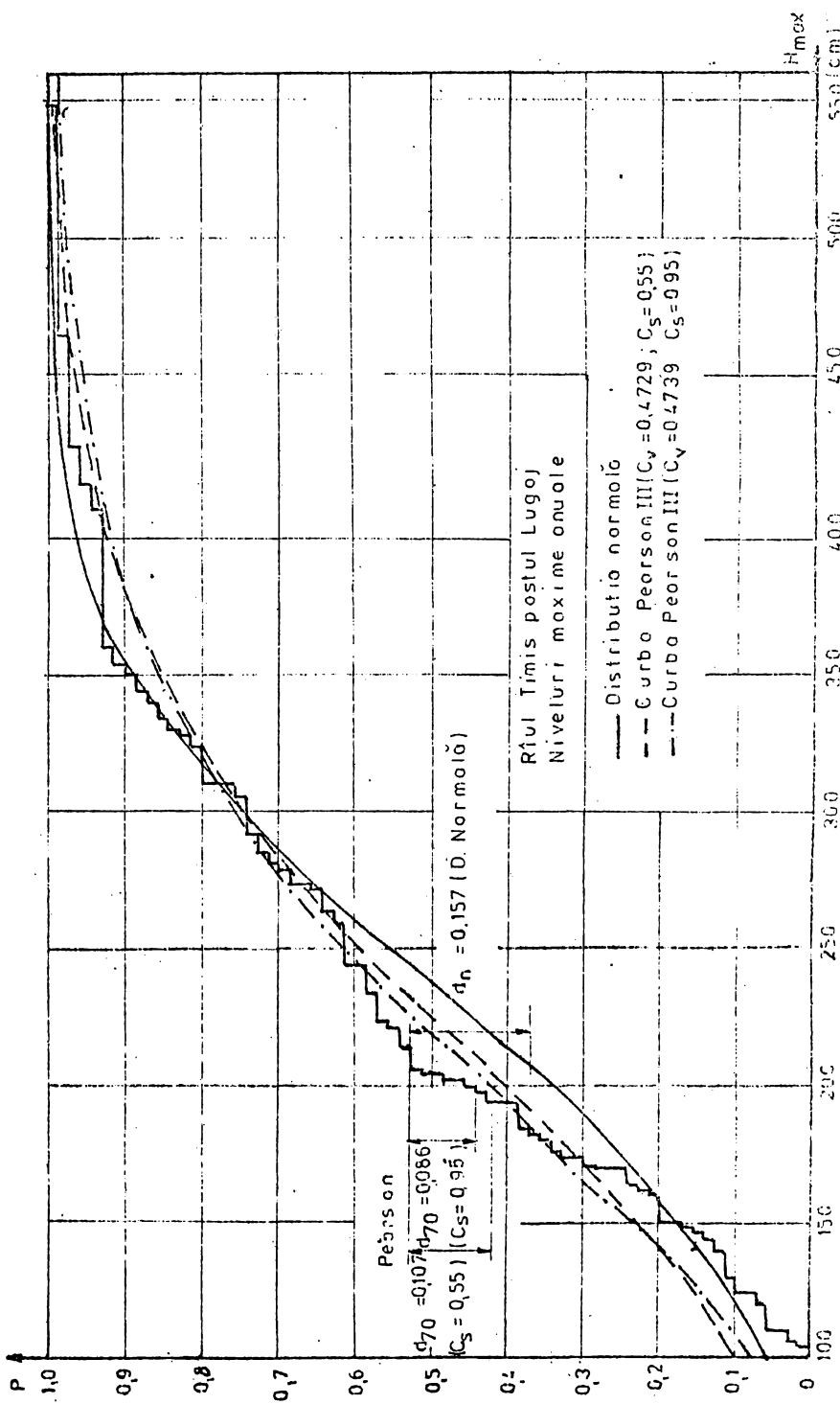
Prin relație (3.19) : $z = 0,17 \cdot 4,1833 = 0,7112$.

Interpolând în tabelul de calcul al distribuției Kolmogorov (anexa VI din /26/) rezultă :

$$L_z = 30,74\%$$

Iar probabilitatea de decizie : $p = 100 - 30,74 = 69,26\% > 5\%$,





deci se poate considera cu probabilitate mare că eșantionul este omogen.

Tabelul nr. 4.3

Eșantion 1893 - 1962				Segment 1893-1927		Segment 1923-1962	
Nr. crt	ξ^* ξ_t	Nr. crt	ξ^* ξ_t	Nr. crt	ξ^* ξ_t	Nr. crt	ξ^* ξ_t
1	104	36	205	1	104	1	110
2	106	37	206	2	106	2	110
3	110	38	214	3	120	3	129
4	110	39	222	4	124	4	144
5	120	40	224	5	124	5	148
6	124	41	234	6	129	6	150
7	124	42	244	7	147	7	160
8	129	43	244	8	150	8	169
9	139	44	260	9	162	9	170
10	144	45	264	10	164	10	174
11	147	46	272	11	169	11	180
12	148	47	274	12	169	12	184
13	150	48	274	13	174	13	194
14	150	49	280	14	176	14	198
15	160	50	282	15	182	15	202
16	162	51	286	16	194	16	204
17	164	52	292	17	184	17	206
18	169	53	306	18	200	18	222
19	169	54	310	19	202	19	234
20	169	55	310	20	205	20	244
21	170	56	311	21	214	21	260
22	174	57	324	22	224	22	272
23	174	58	328	23	244	23	286
24	176	59	330	24	264	24	292
25	180	60	334	25	274	25	306
26	182	61	340	26	274	26	310
27	184	62	344	27	280	27	328
28	194	63	350	28	282	28	330
29	194	64	354	29	310	29	340
30	194	65	360	30	311	30	350
31	198	66	410	31	324	31	360
32	200	67	420	32	334	32	410
33	202	68	433	33	344	33	420
34	202	69	464	34	354	34	433
35	204	70	548	35	548	35	464

Verificarea suprapunerii distribuției analitice presupuse peste curba empirică de probabilitate

a. Se face presupunerea că distribuția variabilei alcătoare studiate (niveluri maxime anuale la p.h.Lugoj) poate fi caracterizată prin funcția de distribuție normală (Gauss).

Parametrii distribuției vor fi :

$$m \equiv \mu_{1,70}(\xi) = 238 \text{ cm}$$

$$\bar{v} = \bar{\mu}_{70}(\xi) \cong \sqrt{\mu_{2,70}^*(\xi)} = \sqrt{8626,42} = 92,9 \text{ cm}$$

In tabelul nr.4.4 se impune un sir de probabilități $\varphi(x_t)$, din tabelele de calcul (anexa III din /26/) se extrag valurile co

respunzătoare x_t și apelind la (3.28) se calculează valorile x corespunzătoare probabilităților impuse.

Tabelul nr.4.4

Distribuția normală (Gauss)

$\phi(x_t)$	x_t	$x = m + \sqrt{v} \cdot x_t$	$\phi(x_t)$	x_t	$x = E + \sqrt{V} \cdot x_t$
0,01	-2,327	21,810	0,60	0,253	261,530
0,05	-1,645	85,180	0,70	0,525	226,770
0,10	-1,281	118,995	0,75	0,674	300,620
0,15	-1,047	140,750	0,80	0,842	316,220
0,20	-0,842	159,780	0,85	1,047	395,270
0,25	-0,674	175,390	0,90	1,281	537,010
0,30	-0,525	189,230	0,95	1,645	530,820
0,40	-0,253	214,490	0,98	2,052	428,630
0,50	0,000	238,000	0,99	2,327	454,180

Curba analitică astfel determinată se reprezintă peste graficul empiric de probabilitate (fig.nr.4.2), determinându-se abaterea maximă dintre cele două grafice :

$$d_{70} = 0,157$$

din relația (3.22) se calculează :

$$z = 0,157 \cdot \sqrt{70} = 1,315$$

la care prin interpolare în tabelul de calcul al distribuției Kolmogorov (anexa VI din /26/) corespunde :

$$L_z = 93,69 \%$$

Probabilitatea de decizie va avea valoarea :

$$p = 100 - 93,68 = 6,31 > 5 \%$$

deci distribuția normală poate fi acceptată pentru aproximarea distribuției nivelurilor maxime la p.h. Lugoj.

b. Calculând curba Pearson III pentru același set de date, rezultă :

$$\bar{H} = 235,41 \text{ cm} ; c_v = 0,4739 ; c_s = 0,5496 \approx 0,55$$

Deoarece $c_s < 2 c_v$ impune $c_s = 2 c_v = 0,9478 \approx 0,95$. Oricele curbe Pearson III pentru c_s calculat și pentru $c_s = 2 c_v$ se calculează în tabelul nr.4.5.

Reprezentând curbele în fig.nr.4.2, abaterile lor față de graficul empiric de probabilitate vor fi :

$$\text{la } c_s = 0,55 \quad d_{70} \approx 0,107$$

$$\text{la } c_s = 0,95 \quad d_{70} \approx 0,087$$

la care prin intermediul relațiilor (3.22) și (3.21) corespund următoarele valori ale probabilității de decizie :

$$\text{la } c_s = 0,55 \quad p = 39,94 \% > 5 \%$$

$$c_s = 0,95 \quad p = 67,86 \% > 5 \%$$

Tabelul nr.4.5

Distribuția Pearson III.

Nr. qrt	p %	$c_s = 0,55$		$c_s = 0,95$	
		ϕ	H_{max}	ϕ	H_{max}
1.	0,1	-2,32	23,41	-1,84	30,14
2.	1	-1,92	21,21	-1,62	24,68
3.	3	-1,64	52,45	-1,44	74,76
4.	5	-1,47	71,42	-1,34	85,92
5.	10	-1,21	100,42	-1,14	108,23
6.	20	-0,85	140,58	-0,85	140,58
7.	25	-0,72	155,09	-0,73	153,97
8.	30	-0,58	170,70	-0,62	166,29
9.	40	-0,34	197,48	-0,38	193,02
10.	50	-0,09	225,37	-0,16	217,56
11.	60	0,16	253,26	0,10	246,57
12.	70	0,45	285,61	0,39	278,92
13.	75	0,62	304,58	0,56	297,88
14.	80	0,80	324,66	0,76	320,20
15.	90	1,32	382,67	1,34	384,90
16.	95	1,78	433,99	1,87	444,03
17.	97	2,10	469,81	2,24	485,31
18.	99	2,72	538,86	2,99	568,98
19.	99,9	3,88	668,27	4,46	732,97

4.2. Prelucrarea debitelor

Debitele maxime anuale pe rîul Timis, p.h. Lugoj înregistrate în perioada 1893-1962 sunt înscrise în tabelul nr.4.6.

Schimbarea de variabile $\xi \rightarrow \eta$ (relația 3.3) și calculul sumelor $[\eta_i^k]$ (relațiile 3.4) se prezintă în tabelul nr.4.7.

Cu ajutorul sumelor $[\eta_i^k]$ și utilizând relațiile (3.5)-(3.8) s-au calculat momentele empirice ale variabilei η , iar cu ajutorul relațiilor (3.9) - (3.12) momentele empirice ale variabilei iniciale ξ .

$$\text{Obs. } a = 100 ; b = 450.$$

Momentele variabilei η rezultă:

$$\mu_{1,70}(\eta) = \frac{1}{70}(-139) = -1,9857 ; \quad \mu_{2,70}^*(\eta) = \frac{1}{70^2}[70 \cdot 477 - (-139)^2] = 2,8712$$

$$\mu_{3,70}^*(\eta) = \frac{1}{70^3}[70^2(-973) - 3 \cdot 70 \cdot 477(-139) + 2 \cdot (-139)^3] = 18,8638$$

$$\mu_{4,70}^*(\eta) = \frac{1}{70^4}[70^3 \cdot 5121 - 4 \cdot 70^2 \cdot (-973)(-139) + 6 \cdot 70 \cdot 477 \cdot (-139)^2 - 3 \cdot (-139)^4] = 77,3231$$

Tabelul nr.4.6

Râul : Timiș Postul : Lugoj Debit maxime anuale (e_{max})

Anul	ξ_i (m^3/s)	m_i	$m_i \cdot m_{i+1}$	Anul	ξ_i (m^3/s)	m_i	$m_i \cdot m_{i+1}$	Anul	ξ_i (m^3/s)	m_i	$m_i \cdot m_{i+1}$
1893	278	-2	4	1918	132	-3	9	1943	180	-3	6
94	135	-3	6		19	178	-3	44	179	-3	9
95	333	-1	3	1920	532	-1	3	45	170	-3	9
96	180	-3	2		21	110	-3	46	165	-3	9
97	231	-2	6		22	154	-3	47	142	-2	0
98	305	-1	2		23	160	-3	48	125	-2	0
99	92	-4	4		24	335	-1	49	425	-1	0
1900	183	-3	12		25	300	-1	50	132	-3	6
01	110	-3	9		26	480	0	51	250	-2	6
02	182	-2	9		27	137	-3	52	153	-3	6
03	275	-2	6		28	147	-3	53	125	-3	9
04	113	-3	6		29	115	-3	54	388	-1	5
05	230	-2	6	1930	180	-3	55	786	3	-3	6
06	152	-3	6		31	160	-3	56	611	2	2
07	143	-2	9		32	645	-2	57	357	-1	2
08	160	-3	9		33	182	-3	58	258	-1	2
09	113	-3	9		34	175	-3	59	574	1	1
1910	254	-2	6		35	183	-3	60	155	-3	3
11	148	-2	6		36	115	-3	61	138	-3	9
12	1680	6	-18		37	315	-1	62	298	-2	6
13	354	-1	-6		38	405	0				
14	208	-2	2		39	325	-1				
15	400	0	0	1940	285	-2					
16	80	-4	0		41	205	-2				
1917	105	-3	12	1942	205	-2	4				
$R = \sum m_i \cdot m_{i+1} = 309$											

Tabelul nr.4.7

Subintervale de variabilei ξ	Media		n_i	m_i	$n_i m_i$	$n_i m_i^2$	$n_i m_i^3$	$n_i m_i^4$
Pe sub- interval	Pe do- meniu							
0- 99	50		2	-4	-8	32	-128	512
100- 199	150		37	-3	-111	333	-909	2997
200- 299	250		12	-2	-24	48	-96	192
300- 399	350		10	-1	-10	10	-10	10
400- 499	450	450	4	0	-152	0	-152	0
500- 599	550		1	1	1	1	1	1
600- 699	650		2	2	4	8	16	32
700- 799	750		1	3	3	9	27	81
800- 899	850		0	4	0	0	0	0
900- 999	950		0	5	0	0	0	0
1000-1099	1050		1	6	6	36	216	1293
		Σ	70		+14		+260	
					-153		-1233	
					-139	+477	-975	+5121

Momentele variabilei ξ sint :

$$\mu_{1,70}(\xi) = 100(-19857) + 400 = 251,43 \cong 251,5 \text{ m}^3/\text{s}$$

$$\mu_{2,70}^*(\xi) = 100^2(2,8712 - \frac{1}{12}) = 27873$$

$$\mu_{3,70}^*(\xi) = 100^3 \cdot 18,8630 = 18,8630 \cdot 10^6$$

$$\mu_{4,70}^*(\xi) = 100^4 [77,3231 - \frac{1}{2,70^2} (70 \cdot 477 - (-139)^2 + \frac{70^2}{40})] = 78,875 \cdot 10^8$$

Verificarea independentei termenilor esantionului

In tabelul nr.4.6 s-a calculat suma :

$$R = \sum \eta_i \eta_{i+1} = 309$$

Iar din tabelul nr.4.7 rezulta sumele :

$$S_1 = -139 ; S_2 = 477 ; S_3 = -973 ; S_4 =$$

Din relatiile (3.13!) si (3.16!) se calculeaza :

$$R_K = 309 - \frac{70}{12} = 303,1667$$

$$S_{1K} = -139 ; S_{2K} = 477 - \frac{70}{12} = 471,1667$$

$$S_{3K} = -973 - \frac{-139}{4} = -938,25$$

$$S_{4K} = 5121 - \frac{477}{2} + \frac{7 \cdot 70}{240} = 4884,5416$$

Sa calculeaza relatiile (3.14) si (3.15) :

$$M(R_K) = \frac{(-139)^2 - 471,17}{70-1} = 273,186$$

$$D^2(R_K) = \frac{471,17^2 - 4884,54}{70-1} +$$

$$+ \frac{(-139)^4 - 4(-139)^2 \cdot 471,17 + 4(-139)(-938,25) + 471,17^2 \cdot 2 \cdot 4884,54}{(70-1)(70-2)} - 273,186 = 4$$

$$\text{de unde } D(R_K) = \sqrt{472,769} = 21,7433$$

Din relatie (3.17) rezulta :

$$x_t = \frac{1303,1667 - 273,1860}{21,7433} = 1,3789 \cong 1,38$$

la care din tabelele de calcul ale distributiei normali ILLI din /26/ corespunde : $F(x_t) = 91,62\%$ iar probabilitatea de decizie va avea valoarea :

$$p = 2(100 - 91,62) = 13,76\% > 5\%$$

deci termenii esantionului sunt independenți.

Pentru efectuarea verificărilor privind omogenitatea esantionului, precum și pentru verificarea suprapunerii curbe de probabilitate peste graficul empiric, în tabelul ordonat esantionul de 70 de termeni, de asemenea segmentind perioadele 1893-1927 și 1928-1962.

Graficale empirice de probabilitate ale segmentelor reprezentate în fig.nr.4.3, iar cele ale esantionului uni

Tabelul nr. 4.8

Inception 1893-1962			Segment 1893-1927			Segment 1928-1962		
Nr. crt	% §i	Nr. crt	% §i	Nr. crt	% §i	Nr. crt	% §i	
1	80	36	182	1	80	1	110	
2	92	37	183	2	92	2	115	
3	105	38	183	3	105	3	125	
4	110	39	183	4	110	4	125	
5	110	40	205	5	110	5	132	
6	113	41	208	6	113	6	138	
7	113	42	230	7	113	7	142	
8	115	43	231	8	132	8	147	
9	115	44	250	9	135	9	153	
10	125	45	254	10	137	10	155	
11	125	46	258	11	143	11	160	
12	132	47	265	12	148	12	165	
13	132	48	275	13	152	13	170	
14	135	49	278	14	154	14	175	
15	137	50	285	15	160	15	179	
16	138	51	298	16	160	16	180	
17	142	52	300	17	178	17	180	
18	143	53	306	18	180	18	182	
19	147	54	315	19	183	19	183	
20	148	55	325	20	183	20	205	
21	152	56	332	21	208	21	250	
22	153	57	333	22	230	22	253	
23	154	58	335	23	231	23	265	
24	155	59	354	24	254	24	265	
25	160	60	357	25	275	25	298	
26	160	61	388	26	288	26	315	
27	160	62	400	27	300	27	325	
28	165	63	405	28	306	28	357	
29	170	64	425	29	332	29	388	
30	175	65	480	30	333	30	405	
31	178	66	574	31	335	31	425	
32	179	67	611	32	354	32	574	
33	180	68	645	33	400	33	611	
34	180	69	786	34	480	34	645	
35	180	70	1080	35	1080	35	786	

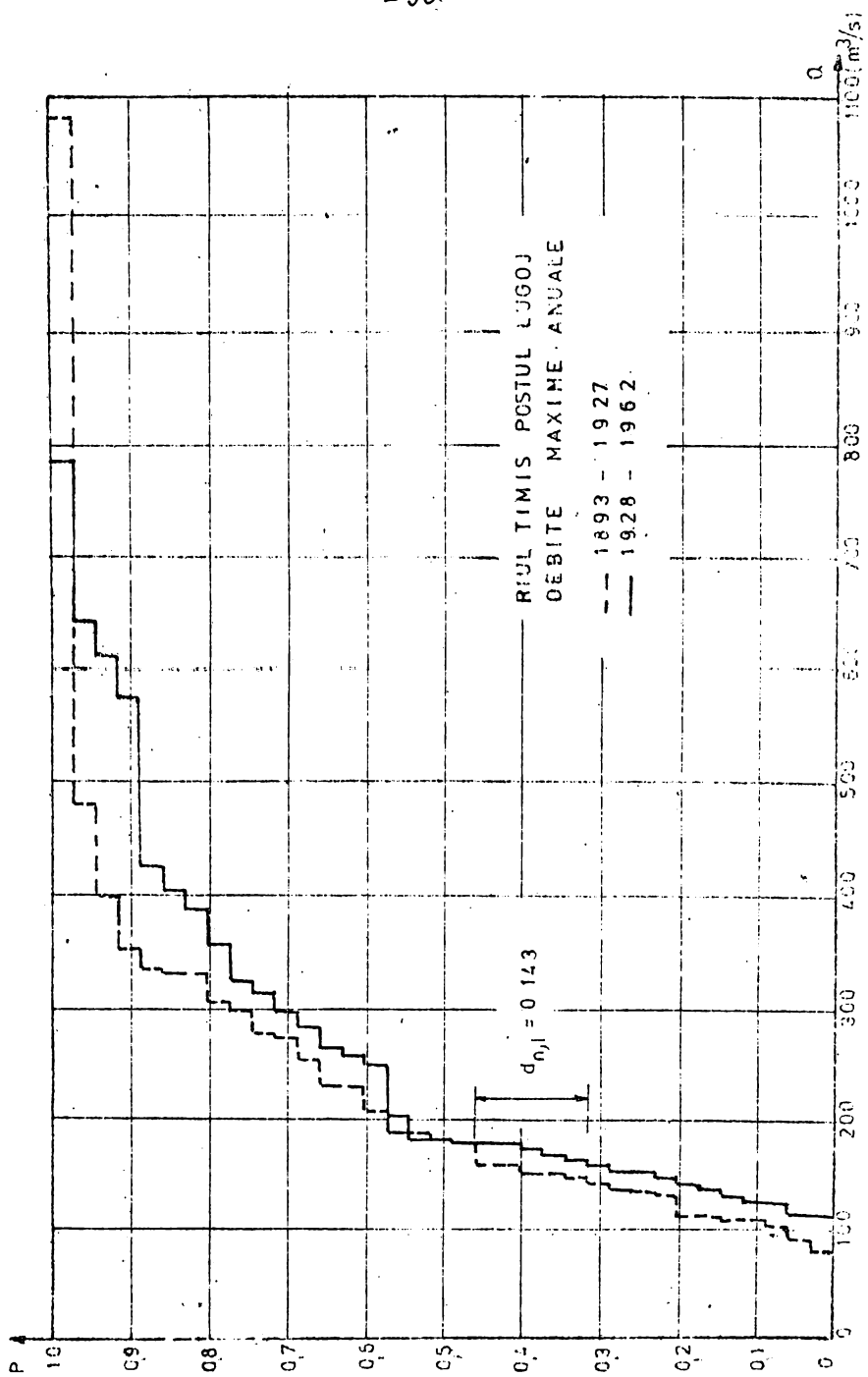
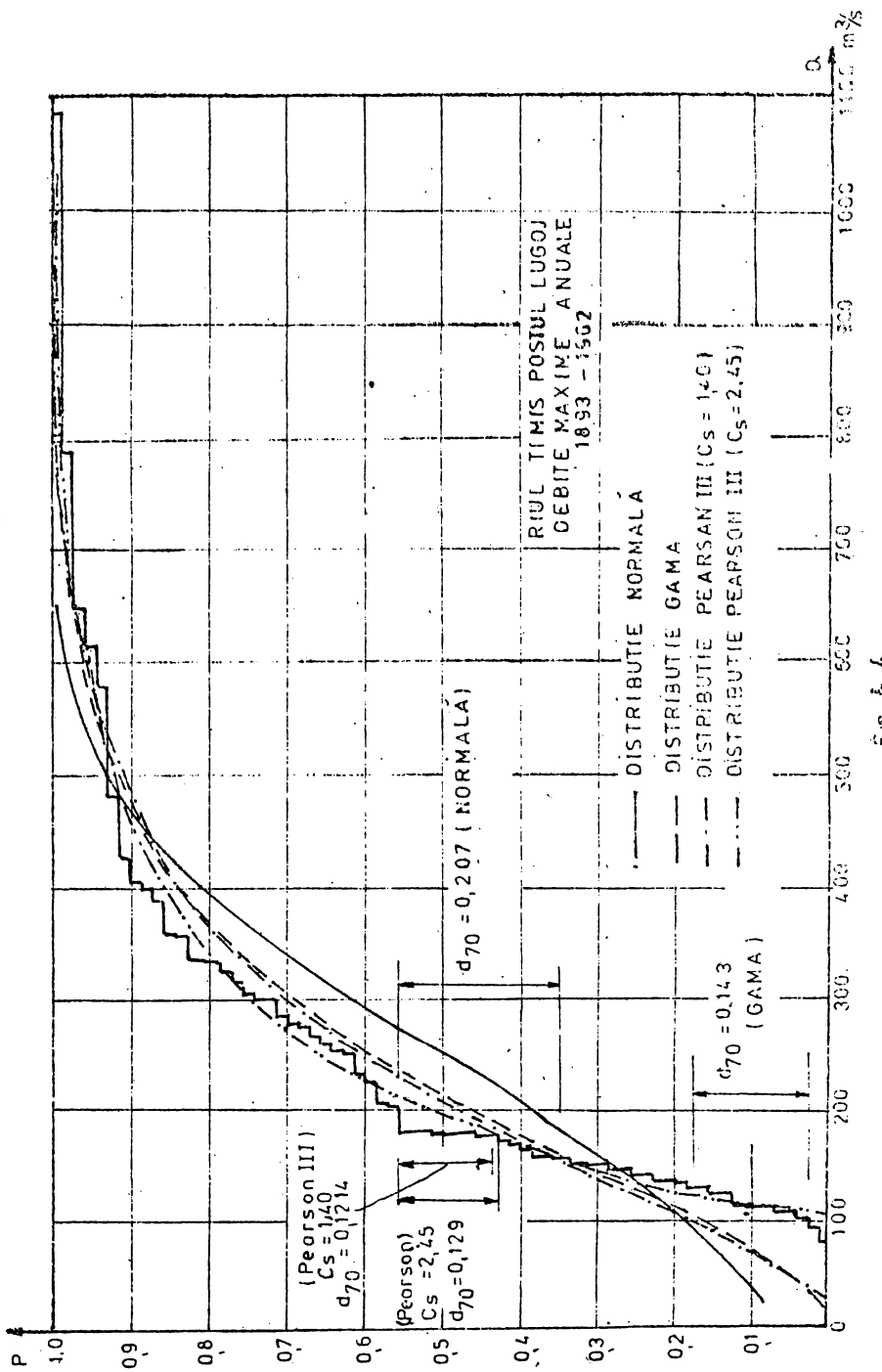


Fig. 4.3.



Verificarea corespunzării curenționului

Curenționul s-a segmentat pe perioada 1893-1926 și 1927-1950. fiecare segment conținând $k = l = 35$ termeni. Reprezentând grafic empirice de probabilitate ale segmentelor (fig.nr.4.3) s-a determinat abaterea maximă dintre ele :

$$d_{k,1} = 0,143$$

Din (3.20) se calculează :

$$\sqrt{n} = \sqrt{\frac{35 \cdot 35}{35+35}} = 4,1833$$

în din (3.19) : $z = 0,143 \cdot 4,1833 = 0,5933$, la care din tabelul de calcul ale distribuției Kolmogorov (anexa VI din /26/) corespunde :

$$L_z = 12,29 \%$$

Probabilitatea de decizie avind valoarea :

$$p = 100 - 12,29 = 87,71 \% > 5 \%$$

Curenționul este omogen.

Verificarea suprapunerii curbelor analitice de probabilitate peste graficul empiric

a. Se încearcă aproximarea distribuției debitelor maxime l.a.h. Lugoj cu distribuția normală. Parametrii distribuției vor fi $m \approx \mu_{2,70}(\xi) = 251,5 \text{ m}^3/\text{s}$

$$\sigma = \bar{\sigma}_{70}(\xi) \approx \sqrt{\mu_{2,70}(\xi)} = \sqrt{27879} = 166,97 \text{ m}^3/\text{s}$$

Cu ajutorul tabelelor de calcul (anexa III din /26/) și a relației (3.28), în tabelul nr.4.9 se calculează ordonatele curbei normale de probabilitate.

Reprezentând curba normală de probabilitate peste graficul empiric din fig.nr.4.4 se determină abaterea :

$$d_{70} = 0,207$$

Din relația (3.22) se calculează :

$$z = 0,207 \cdot \sqrt{70} = 1,7319$$

la care din tabelele de calcul de distribuție Kolmogorov (anexa VII din /26/) corespunde :

$$L_z = 99,503 \%$$

Variabila de decizie avind valoarea :

$$p = 100 - 99,503 = 0,497 \% < 1 \%$$

Rezultă că practic este excludată suprapunerea, deci distribuția debitelor maxime anuale pe rîul Timiș,p.h.Lugoj trebuie aproximată cu altă funcție de distribuție, nu cea normală (Gauss).

b. Se testează suprapunerea distribuției Gama calculindu-se parametrii din relațiile (3.32),(3.33),(3.34) :

Tabelul nr.4.9

Distribuția normală (Gauss)

$\varphi(x_t)$	x_t	$x = m + \sigma \cdot x_t$	$\varphi(x_t)$	x_t	$x = m + \sigma \cdot x_t$
0,01	-2,327	-137,04	0,60	0,253	293,74
0,02	-2,652	-91,12	0,70	0,525	339,16
0,05	-1,645	-23,17	0,75	0,674	364,04
0,10	-1,281	37,61	0,80	0,842	392,69
0,15	-1,047	76,68	0,85	1,047	426,32
0,20	-0,842	110,99	0,90	1,281	465,59
0,25	-0,674	158,96	0,95	1,645	526,17
0,30	-0,525	163,84	0,98	2,052	594,12
0,40	-0,255	209,26	0,99	2,527	640,04
0,50	0,000	251,50			

$$x_c = \mu_{1,70} - 2 \frac{(\mu_{2,70})^2}{\mu_{2,70}^*} = 251,5 - 2 \frac{27,879^2 \cdot 10^6}{18,8639 \cdot 10^6} = 169,095 > \xi_1^* = 80 \text{ m}^3/\text{s}$$

Dacă se impune $x_0 = x_{ot} = 0 \text{ m}^3/\text{s}$

$$\lambda = \frac{\mu_{1,70} - x_0}{\mu_{2,70}^*} = \frac{251,5 - 0}{27,879} = 0,0093$$

$$\kappa = \frac{(\mu_{1,70} - x_0)^2}{\mu_{2,70}^*} = \frac{(251,5 - 0)^2}{27,879} = 2,269 < 45$$

Ordonatele curbei de probabilitate se calculează în tabelul nr.4.10.

Tabelul nr.4.10

p %	x_t	$x = \frac{x_t}{Z_N} + x_0$	p %	x_t	$x = \frac{x_t}{Z_N} + x_0$
0,05	0,111	6,167	60	4,585	254,722
0,10	0,150	8,23	70	5,470	303,888
0,50	0,310	17,222	80	6,640	368,883
1,0	0,426	23,665	90	8,510	472,777
2,5	0,658	38,556	95	10,295	571,944
3,0	0,931	51,722	97,5	11,950	665,868
10	1,335	74,166	99	14,200	788,868
20	1,965	110,833	99,5	15,800	871,777
30	2,595	144,166	99,9	19,500	1083,533
40	3,205	178,095	99,95	21,050	1169,444
50	3,855	214,166			

Reprezentând curba gama prin suprapunere peste graficul enginierie de probabilitate în fig.4.4, rezultă schăterea :

$$d_{70} = 0,143$$

din relația (3.22) :

$$z = 0,143 \sqrt{70} = 1,197$$

care din tabelul de calcul al distribuției Kolmogorov (anexa VI din /26/) corespunde :

$$L_z = 88,61 \%$$

iar probabilitatea de decizie fiind :

$$\therefore p = 100 - 88,61 = 11,39 \% > 5 \%$$

rezultă că distribuția poate fi aproxiimată prin funcția gama.

c. Calculul curbei Pearson III pentru același eșantion corespunde la următoarele valori ale parametrilor :

$$Q = 249,67 \text{ m}^3/\text{s} ; c_v = 0,6885 ; c_s = 2,45$$

raportul $c_s/c_v = 3,53$ deci se îndeplinește condiția :

$$c_s = (2 - 4)c_v$$

Ordonatele curbei de probabilitate se calculează în tabelul nr.4.11...

Tabelul nr.4.11

Nr. crt	p %	ϕ	Q_{max} (m^3/s)	Nr. crt	p %	ϕ	Q_{max} (m^3/s)
1	0,1	-0,82	105,71	11	60	-0,14	225,60
2	1	-0,82	105,71	12	70	0,13	272,02
3	3	-0,81	110,43	13	75	0,31	302,96
4	5	-0,80	112,15	14	80	0,34	342,49
5	10	-0,78	115,59	15	90	1,25	484,54
6	20	-0,71	127,62	16	95	2,01	595,18
7	25	-0,66	135,22	17	97	2,58	633,17
8	30	-0,62	143,09	18	99	3,61	904,60
9	40	-0,50	163,72	19	99,9	6,54	1373,88
10	50	-0,36	187,79				

Reprezentând curba în fig.nr.4.4 prin suprapunere peste graficul empiric de probabilitate rezultă abaterea :

$$d_{70} = 0,129$$

și utilizând relațiile de calcul (3.22) și (3.21) și tabelele de calcul (anexa VI din /26/), se calculează valoarea probabilității de decizie :

$$p = 19,45 \% > 5 \%$$

decicurba Pearson III aproximează bine distribuția debitelor maxime anuale de la p.h.Lugoj.

4.3. Rezultate ale prelucrării datelor hidrometrice(niveluri și debite maxime anuale) înregistrate de la cele multe posturi hidrografice din spațiul hidrografic Banat

Utilizând metodologia expusă în cap.3 și exemplificată în cap.4 s-au prelucrat datele hidrometrice înregistrate în perioada 1953-1962 la un număr de 11 posturi hidrometrice situate pe râurile din spațiul hidrografic Banat, și anumite nivelurile maxime anuale la 11 posturi hidrometrice (Teregova,Lugoj,Carensebeș,Sig pe Timiș, Răscă pe rîul Rece,Valea Pai pe Pogăniș,Făget și Balint pe Bega, Cenei și Beregsău pe Bega Veche și Boaga pe Fizeava), de astemea

dăbitele maxime anuale la 4 posturi hidrometrice la care au existat dăbite înregistrate în aceeași perioadă și posibilități de completare a sirului de debit cu ajutorul cheilor limnimetrice (Terego Lungoj și Sag pe Timiș și Balinț pe Bega).

Rezultatele prelucrărilor de nivel sunt centralizate în tabelul nr.4.12 iar ale celor de debit în tabelul nr.4.13.

În tabele sunt trăcute rezultatele obținute în urmă verificările ipotezelor statistice și anume valorile probabilității de decizie pentru :

- verificarea independenței termenilor eșantionului ;
- verificarea omogenității eșantionului ;
- verificarea suprapunerii curbelor teoretice de probabilitate peste graficele empirice de probabilitate.

În cazul tuturor posturilor hidrometrice, atât pentru niveli, cât și debite maxime anuale, s-a verificat suprapunerea către distribuției normale, a distribuției gama și a distribuției Pearson XII în două variante : pentru valoarea coeficientului de asimetrie calculat pe baza eșantionului și pentru cazul $c_s = 2 c_v$.

4.3.1. Analiza rezultatelor

Analizînd datele înscrise în tabelele nr.4.12 și 4.13 se constată următoarele privitor la verificarea ipotezelor statistice :

A. În ceea ce privește independența termenilor eșantionului rezultatele obținute sunt relativ slabe. În cazul prelucrării nivelurilor maxime anuale, ipoteza este îndeplinită doar în 4 cazuri din cele 11 prelucrate, cu valorile probabilității de decizie $9,64\% < p < 24,36\%$, în 4 cazuri independența rezultă nesigură cu $1,202\% < p < 4,80\%$, într-un caz independența termenilor eșantionului este aproape exclusă ($p = 0,645\%$), iar în 2 cazuri valoarea probabilității de decizie fiind $p < 0,1\%$ independența este exclusă.

TABEL CENTRALIZATOR AL PRELUCRATORULUI DE INVELITURĂ

RIUL	POSTUL	NR. TERMENI	VERIFICAAREA SUPERFACETII TEORETICE		DISTRIBUȚIA P%	H max.	PENTRU: P=99% (cm)
			DISTRIBUȚIA NORMALA	DISTRIBUȚIA GAMA			
1 TIMIS	TERESA	1893-1962	70 46 24 167	871 9,64	85,88	22,83	70,66
2 TIMIS	CARAN-SEBES	1893-1962	70 59 11 1032	769 24,36	11,42	2,74	39,65
3 TIMIS	LUGOJ	1893-1962	70 60 10 2706	665 12,86	6,34	31,88	39,94
4 TIMIS	SAG	1893-1962	70 53 17 4493	468 1,202	48,45	68,28	58,15
5 RECRE	RUSCA	1893-1962	70 15 55 163	1157 10,15	75,98	31,88	83,45
6 POGANIS	VALEA PAI	1893-1962	70 39 31 408	3,51 97,60	31,88	68,14	48,45
7 BEGA	FAGET	1893-1962	70 59 11 474	464 9,00002	48,45	31,88	5,83
8 BEGA	BALINT	1893-1962	70 25 45 1064	329 9,645	68,13	91,44	0,000002
9 BEGA	BEREG-VECHE	1893-1962	70 42 20 1389	137 9,00001	6,26	4,845	93,36
10 BEGA	CENEI-VECHE	1893-1962	70 25 45 1540	133 4,81	31,88	31,88	93,26
11 BIRZAVA	BOCSA	1893-1962	70 54 16 352	5,20 2,78	48,59	53,22	31,38

NR. CRT.	RIUL	POSTUL	PERIODADA PRELUCRATORII	NR. TERMENI	ALTITUDINEA MED A B.H (m)	SUPERFATA B.H (km ²)	SUPERFATA TERMF NILOU FESTANTONU VERIFICAREA INDE PENDENTEI TERMF NILOU FESTANTONU LIU P%	LIVELUI P%	GENITALII ESANTI VERIFICAREA OMD DISTRIBU	DISTR. NORMALA	DISTR. GAMA	C _S	PEARSON II CALCULAT	C _S = 2 C _V	TABEL NR 4.13				
															P = 99% (m ³ /s)				
															PEARSON III.				
1	TIMIS	TEREGOMA	1893-1962	70	8	62	1072	871	26,84	75,57	0,01	—	C _S = 3,00	C _s = 2,00	4,972	—	50,02	45,55	
2	TIMIS	LUGOJ	1893-1962	70	57	13	2706	665	16,76	87,71	0,50	11,42	48,58	31,89	1,40	64,0	712	90,5	81,7
3	TIMIS	SAG	1893-1952	70	12	69	4493	468	9,01	68,13	0,26	90002	19,74	3,27	1,90	C _s = 1,35	1,35	1231	1061
4	BEGA	BALINT	1893-1962	70	14	66	1064	329	0,134	66,13	58,15	97,60	1,60	25,36	1,60	182	217	210	187

instituită, impusă de importanța viiturilor. Este posibil ca la viituri de mai mică amplitudine, efectuând citiri la sirul din 4 în 4 ore să nu se sesizeze chiar virful undei.

Ca o concluzie, se desprinde necesitatea dotării pe măsură a sibilităților - a posturilor hidrometrice cu limnigrafe.

b) Eșantioanele de date prelucrate au fost incomplete în perioada luată în considerare, existând întreruperi în înregistrările datelor. Sirurile au fost completeate prin corelare cu p.h. Lugoj (p.h. de bază pentru spațiul hidrografic Banat) lăsând în considerare sirurile de înregistrări din perioada 1893-1973, iar pentru completarea eșantioanelor de debite s-au folosit cheile hidrometrice ale p.h. studiate.

Compleierea eșantioanelor pe bază de corelații desigură influențat nefindeplinirca ipotezei independenței însă nu decisiv, ceea ce se confirmă prin faptul că s-au obținut rezultate mai bune la unele p.h. la care s-a obținut un număr mai mare de termeni prin completare (p.h. Rusca pe Rîul Rece, p.h. Falint pe Bega, p.h. Valea Pai pe Pogăniș, p.h. Conei pe Bega Veche - H_{max} : p.h. Săg pe Timiș - Q_{max}), decât la p.h. la care există mai multe date directe (p.h. Făget pe Bega, p.h. Săg pe Timiș - Q_{max} , p.h. Teregova pe Timiș - Q_{max}).

c) Poziția p.h. în cadrul bazinului hidrografic a influențat de asemenea rezultatele; s-au obținut rezultate bune la p.h. situate în bazinile superioare ale cursurilor de apă studiate cu altitudini medii ale b.h. aferent peste 600 mdM, adică în zone în care din cauza pantelor mari, concentrarea surgerii pe versanți (funcția genetică a viiturilor) s-a produs rapid.

In zona de cîmpie, unde se găsește în principal rularea viiturilor (funcția de transport) rezultatele sunt slabe.

d) Corelat cu altitudinea trebuie să se ia în considerare și faptul că în bazinile superioare ale cursurilor de apă din Banat lucrările de amenajare și regularizare sunt puțin dezvoltate, pe cînd în zona de cîmpie influența interveniei omului este masivă și se manifestă de multă vreme, ceea ce desigur a dus la modificări importante în timp ale regimului curgerii.

Influența lucrărilor de amenajare, efectuată masiv în special în ultimii 20 de ani, este puțină predominantă în evidență de faptul că la p.h. la care s-au obținut rezultate bune pentru perioade 1893-1962, ipoteza independenței nu s-a mai verificat încercind prelucrarea perioadei 1893-1973 (șir de 81 de ani pentru care se

dăspune de date).

Acest lucru demonstrează cele enunțate la principiile prelevării eșantionului /26/ și anume necesitatea raportării datelor din măsurători la aceeași stare a albiei, atunci cind aceasta suferă modificări prin indiguiiri, regularizări, depunerii, eroziuni etc. Neavând la dispoziție date cu privire la momentul și amplitudinea intervenyiei omului asupra regimului scurgerii, această operațiune nu s-a putut efectua.

B. In ceea ce privește ipoteza statistică a omogenității eșantionului, rezultatele obținute sunt foarte bune, ipoteza omogenității fiind verificată în toate cele 15 cazuri studiate.

C. Ipoteza statistică a suprapunerii curbelor teoretice de probabilitate peste graficul empiric

Această ipoteză statistică permite alegerea distribuției în care se încadrează variabila școalătoare studiată, urmând ca utilizând parametrii distribuției respective să se determine valorile de diverse probabilități ale variabilei.

Verificând această ipoteză pentru distribuția normală, distribuția gama cu 3 și 2 parametrii și distribuția Pearson III cu c_s calculat din relația de definiție și cu $c_s = 2 c_v$, se constată următoarele :

- rezultatele cele mai bune s-au obținut în cazul distribuției Pearson III cu c_s calculat (8 cazuri din 11 la prelucrarea nivelurilor maxime anuale, 2 cazuri din 4 la prelucrarea debitelor maxime anuale) chiar în cazurile în care pe baza eșantionului rezultă c_s calculat $< 2 c_v$. Chiar în situația în care altă distribuție se dovedește a fi cea mai bună, distribuția Pearson III cu c_s calculat se verifică cu probabilitatea de decizie imediat următoare valoare. Intr-un singur caz din 15 s-a obținut suprapunere nesigură ($Q_{max} = p.h.Palint$ pe rîul Bega);

- distribuția Pearson III cu $c_s = 2 c_v$ se suprapune în general destul de bine peste graficul empiric de probabilitate, însă doar în 9 cazuri din 15 se dovedește a fi cea mai bună, într-un caz rezultă suprapunere nesigură ($p = 3,27\%$) și într-un caz suprapunere împotriva exclusă ($p = 0,256\%$) ;

- distribuția Gama se suprapune în general bine în cazul nivelurilor maxime (2 cazuri din 11 în care obține cea mai mare valoare a probabilității de decizie și un singur caz de suprapunere exclusă), în cazul debitelor maxime anuale însă rezultatele sunt eterogene (1 caz din 4 cu suprapunerea cea mai bună, 1 caz de suprapunere exclusă și 1 caz în care nu se aplică) ;

- cele mai slabă rezultate s-au obținut în cazul distribuțiilor normale, cu valorile cele mai reduse ale probabilității de decizie, atunci această distribuție se aplică destul de bine în cazul nivelurilor maxime anuale (un singur caz de suprapunere neșigură), în cazul debitelor maxime anuale însă prezintă rezultate foarte slabe (2 cazuri de suprapunere aproape exclusă din 4 și 1 caz de suprapunere inclusă).

Comparind valorile nivelurilor respectiv debitelor maxime anuale calculate pentru probabilitatea de depășire $p = 1\%$ (probabilitatea de nedeplinire $p = 99\%$ în tabele) se constată :

- în cazul nivelurilor maxime anuale valorile acoperitează rezultă pentru distribuțiile gama și Pearson III cu $c_g = 2 c_v$ deoarece într-o astăzii apără cîte unul în care suprapuneră este excludă.

- în cazul debitelor maxime anuale distribuția gama și distribuția Pearson III cu c_g calculat furnizează valorile acoperităre.

4.3.2. Concluzii la capitolele 3 și 4

- Mărimele întâlnite și prelucrate în general în hidrologie au caracter aleator. În prelucrarea statistică-probabilitistică a acestor mărimi, în determinarea valorilor extreme de diverse probabilități de depășire necesare la proiectarea și/sau exploatarea construcțiilor hidrotehnice, se simte nevoie introducerii unor metode științifice riguroase, care să ofere o siguranță sporită a rezultatelor. Metodologia expusă, bazată pe aplicarea în hidrologie a cunoștințelor actuale ale teoriei probabilităților și statisticii matematice – ramuri ale matematicii care se ocupă prin excelență cu studiul variabilelor aleatoare – rezolvă acest deziderat.

- Metodologia prezentată cere un volum important de date, eșantionare care să acopere cel puțin 30 de ani. Considerăm că prin activitatea hidrometrică desfășurată în special din anii 1950-55 pînă în prezent, s-a acumulat un fond de date suficient de bogat - pentru a se putea aplica metoda științifică de prelucrare. În plus acest fond de date se poate întregi în bazinul hidrografic sau posturile hidrometrice deficitare din acest punct de vedere prin corelații multivariate posterioare hidrometrice de bază cu un fond bogat de date.

- Prin verificarea ipotezelor statistice, metodologia prezintă un grad sporit de siguranță și de încredere a rezultatelor prelucrării variabilelor aleatoare din hidrologie - pus în evidență de probabilitatea de decizie - implicit un grad sporit de siguranță în proiectarea și exploatarea lucrărilor hidrotehnice.

- Fîind vorba de o metodologie generală, valabilă pentru variabilele aleatoare în general, ea poate fi aplicată și în alte domenii, neapărat în cea a hidrologiei, gosp.apelor sau a constr.hidrotehnicii.

Capitolul 5

PROBLEME ALE PROGNOZARII VIETURILOR IN B.H. CONTROLATE DE LACURĂ DE ACUMULARE SI ALE UTILIZARII PROGNOZELOR LA DIMENSIONAREA SI EXPLOATAREA ACESTORA

Componentele volumului unui lac de acumulare sunt (fig.nr.5.1)

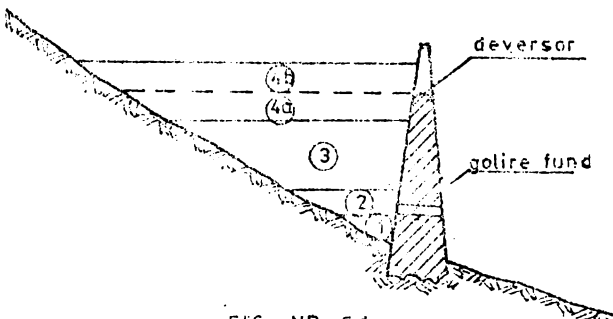


FIG. NR. 5.1

- 1 - volumul mort
- 2 - rezerva de fier
 $W_{r.f.}$;
- 3 - volumul util W_u
- 4 - volumul de protecție W_p în două trame;
- 4a - volumul de protecție sub creasta deversorului W_{p1} ;

$4b$ - volumul de atenuare deasupra crestei deversorului W_{p2} (pînă la nivelul maxim de retenție).

Funcție de componente pe care le cuprind acumulările, pot fi clasificate în :

a. acumulări permanente realizate pentru satisfacerea necesarului de apă al folosințelor avînd drept componentă principală volumul util. Dintre celelalte componente eventual poate să lipsească rezerva de fier ; și volumul de protecție sub creasta deversorului atunci cînd acumularea are doar un rol secundar în atenuarea viiturilor în cadrul bazinului hidrografic ;

b. acumulări nepermanente realizate pentru apărarea împotriva inundațiilor prin atenuarea undelor de viitură. Aceste acumulări nepermanente sunt caracterizate în principal prin faptul că nu dispun de volum util ($W_u = 0$), ele nedeservind folosințe. Componenta principală este volumul de protecție cu cele două trame, rezerva de fier fiind nulă ($W_{r.f.} = 0$), de asemenea volumul mort de regulă este nul ($W_m = 0$). Acumulările nepermanente pot fi realizate fie în albia rîului controlat, fie în afara albiei, rezultînd în acest fel două variante :

- acumulări nepermanente cu barare frontală ;
- acumulări laterale (poldere).

In prezenta lucrare dintrucumulările nepermanente se vor face referiri doar asupra acumulărilor nepermanente cu barare frontală.

In ceea ce privește comportarea la ape mari a acumulărilor (acumulări permanente avind și rol de atenuare și acumulări nepermanente), prognoza viiturilor își aduce contribuția atât la proiectarea lucrărilor de apărare împotriva inundațiilor cît și la verificarea lucrărilor existente și exploatarea acestora.

a) In proiectarea acumulărilor de atenuare a viiturilor (acumulări nepermanente și tranșă de protecție a acumulărilor permanente) se utilizează prognozele pe durata de existență, prin determinarea valorilor de proiectare,corespunzătcare probabilităților de calcul,respectiv de verificare,după cum s-a arătat în cap.2,3 și 4.

b) In ceea ce privește verificarea la ape mari a lucrărilor existente,se utilizează de asemenea prognozele pe durata de existență.Aceste verificări sunt necesare dacă valurile corespunzătoare probabilității de calcul,respectiv de verificare se modifică odată cu acumularea de noi date hidrometrice privind viiturile (viiturile din perioada 1970-76 au modificat valorile probabile în majoritatea bazinelor hidrografice).De asemenea,verificarea lucrărilor existente este necesară,in special în cazurile acumulărilor nepermanente,deoarece dacă în ipoteza de calcul ele sunt corect dimensionate,desocorî se constată că pentru ipoteza de verificare sunt subdimensionate.

In general acumulările nepermanente se dimensionează astfel încât în ipoteza de verificare să funcționeze doar colirea de fund,deci nivelul maxim atonuat să nu depășească cota creșterii deversorului (atenuare în volumul de protecție sub creasta deversorului),în deversorul să intre în funcțiune numai în ipoteza de verificare.Desocorî se constată însă că deversorul,care ar trebui să deschidă o cotă-partă importantă a viitului de verificare,este subdimensionat,are lungime mică față de necesități,cea ce poate duce la deversări peste coronamentul barajelor cu toate consecințele ce decurg de aici.

c) In exploatarea acumulărilor se utilizează atât prognozele pe durata de existență cît și prognozele pe termen scurt.Problema ce solicită aceste prognoze sunt transformarea acumulărilor nepermanente în acumulări permanente în vederea satisfacerii unor folosințe,și utilizarea intercalată a volumelor utile și a volumelor

de protecție, ambele în vîderea optimizării explicitării acumulării

Studierea acestor probleme se justifică pe baza următoare
considerante /77/ :

Un mare volum din acumulări este puțin utilizat, fiind rez-
vat numai atenuării undelor de viitoră cu frecvență foarte rară.
Prinț-o prognoză corespunzătoare a viiturilor, prin realizarea
prognoze cu timp de anticipație sporit, este posibil să se utilizeze
o parte din aceste volume pentru a majora volumele ușor scumulări
în anumite perioade, fără a poricița siguranța obiectivelor din
aval, și realizând pregătiri ale acumulărilor în vîderea probei
viiturilor proгnozate. La nivelul anului 1983 volumul rezervat p-
tre atenuarea viiturilor la nivelul întregii țări a însumat 2,1
milioane m³ reprezentând o treime din volumul total amenajat în acumulări de 10,6 m-
ilioane m³ adică aproximativ 20 % /76/, /77/.

Pe teritoriul Banatului există un număr mare de acumulări
permanente cu barare frontală, amenajate pe sfîrșituri secundari și
în vîderea atenuării undelor de viitoră. Într-o listă preliminară a
inventarierei a lucrărilor hidrotehnice aflate pe teritoriul de
administrație Direcției Apelor Mureș-Banat, Filiala Zonală Tîrgu
Mureș sunt menționate 31 de acumulări nepermanente cu barare frontală
în volum total de verificare de peste 121 milioane m³, din care
numărul de protecție sub creasta deviatorului reprezintă cca. 90
milioane m³.

Utilizarea unei părți a acestor volume nepermanente în scop
util intră în ultimii ani în preocupările DAMB-FZT, cu atât mai
cu cît unele din aceste acumulări nepermanente sunt exploatare
general pentru pescuitură, cu volum permanent, de către organizații
locale, fără acord de gospodărire a apelor. O asemenea exploatare
înseamnă în pericol atât barajul acumulării, îl și obiectivele
care, deoarece ocuparea în scop util a unei bote-părți din volu-
m acumulării duce la pierderea funcției de atenuare a acesteia.

Problema transformării acumulărilor nepermanente în acumulări
permanente a fost studiată de un colectiv de la Catedra CHIF și
dă rezultate /130/, și se înțelege că un model matematic corect
utilizabil și în studiul problemei utilizării intercalate a volu-
muri util și a volumului de protecție în cazul acumulărilor neper-
manente.

9.1. Transformarea acumulărilor nepermanente în
acumulări permanente

5.1.1. Principiile situații în exploatarea unei acumulări nepermanente transformată în acumulare permanentă

În lucrările /24/,/130/ s-a propus un model matematic aplicabil în transformarea unei acumulări nepermanente, din punctul de vedere al gospodăririi apelor, în acumulare permanentă, modelul putând fi utilizat fără nici o dificultate și la exploatarea optimizată a acumulărilor permanente cu tranziție de protecție.

Pentru ilustrarea fenomenului și ușurarea înțelegerei intuițive a logicii care stă la baza modelului matematic, se prezintă un procedeu grafic, care însă nu constituie un model operațional de calcul.

Pentru o acumulare nepermanentă dată se cunoaște de regulă curba integrală a debitelor afluente prognozate ($\int Q_a \cdot dt$) și volumul acumulării (W). Se poate de asemenea construi curba integrală a debitelor evacuate ($Q_e = Q_{folosinte} + Q_{golire fund} + Q_{deversat}$), pornind de la lacul plin, că fiind situația cea mai defavorabilă, și se determină pe această bază timpul de golire (T_g).

De asemenea se cunoaște, sau se poate determina, în funcție de condițiile reale ale bazinului hidrografic, timpul de anticipație maxim (T_a).

Pe baza acestor date se pot imagina două variante reprezentative ale curbelor integrale prognozate, respectiv un număr de subvariante în funcție de valorile relative ale timpului T_g și T_a , care vor fi descrise în continuare cu scopul de a prezenta o imagine ca-litativă a problemelor care pot apărea în transformarea unei acumulări nepermanente într-o acumulare permanentă.

Varianta V₁ corespunde viitorii de calcul a acumulării nepermanente (fig.nr.5.2).

Să reprezentăm grafic curba integrală și să trucceză curba coborâtă corespunzătoare unui volum de acumulare W . Se prezintă de asemenea curba integrală a debitelor evacuate (fig.nr.5.2,a). Translatând această curbă astfel încât în punctul (B) să devină tangentă inferioră la curba integrală a afluentei la începutul hidrografului de viitoră de calcul. Dacă acumularea a fost corect dimensionată, punctul (A) va fi situat pe curba coborâtă. Intervalul de timp corespunzător proiecției segmentului de curbă (AB) pe axa timpului este chiar timpul de golire (T_g) a lacului. În raport cu acest interval de timp, timpul de anticipație maxim realizabil (T_a) poate avea trei valori, determinând trei subvariante caracteristice ;

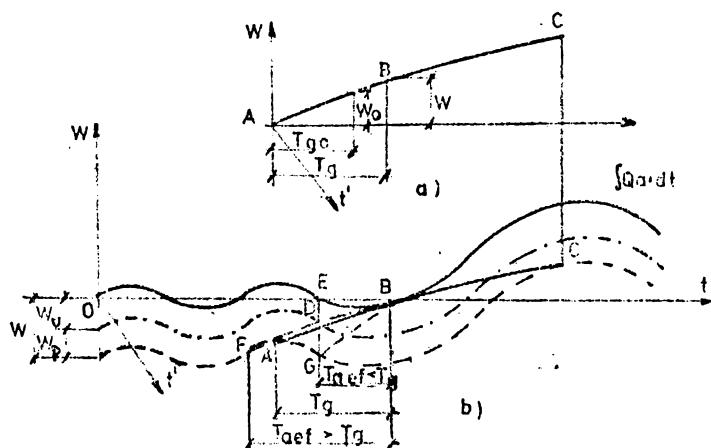


FIG. NR. 5.2

- V_{1.1} - corespunzător situației cînd $T_a = T_g$, caz în care întregul volum al acumulării (W) poate fi transformat în volum util ($W_u = W$). În această situație, în momentul prognozării viitorii se calculează, începe golirea lacului. În momentul cînd hidrograful de viitor ajunge la lacul de acumulare, acesta trebuie să fie complet golit (punctul B). În continuare se desfășoară o funcționare complexă a sistemului hidraulic (afuentă, golire lac, defluență, astfel încât lacul să rămînă plin după trecerea undei (curba RC, punctul C). Înstrârarea lacului plin este posibilă fără dificultăți dacă în momentul începerii scăderii nivelului în lac (atingerea N.N.R.) se includ golirile, evacuarea continuându-se numai prin descarcătorul de suprafață.

- V_{1.2} - corespunde situației cînd $T_a > T_g$, caz în care se poate considera $W_u = W$ și există posibilitatea golirii lacului după altă curbă (cu debite în general mai mici, curba FB - fig.nr.5.2).

- V_{1.3} - corespunde situației cînd $T_a < T_g$, caz în care volumul util maxim realizabil este mai mic decît volumul acumulării nepermanentne ($W_u < W$). În fig.nr.5.1, în această situație, timpului T_g îi corespunde punctul (D) pe curba de golire (AB). Aceasta înseanță că lacul poate fi menținut cel mult la un volum W_u (segmentul DG). În momentul avertizării se începe golirea lacului după segmentul (DB).

Toate aceste variante raportate la viiture de calcul sunt

caracteristice problemelor de stabilire a posibilităților și condițiilor de transformare a unei acumulări nopermanente într-o acumulare permanentă, rezultând una din cele două posibilități: $W_u = W$ sau $W_u < W$. De asemenea ele oferă și indicații privind exploatarea, atunci cînd se prognozează o viitură egală cu viitura de calcul.

Problemelor de exploatare le sunt însă caracteristice situațiile rezultate din prognozarea unor viituri mai mici decît cea de calcul și vor fi analizate în continuare în cadrul variantei V_2 .

Varianta V_2 corespunde viiturilor mai mici decît viitura de calcul iar subvariantele se vor diferenția după volumul util rezultat din analiza varianțelor $V_{1.1} - V_{1.3}$.

- Varianta $V_{2.1}$ ($W_u = W$). Se reprezintă curba integrală și că coborîtă corespunzătoare unui volum $W_u = W$ cu observația că viitura va fi mai mică decît în cazul V_1 , ceea ce determină o coborîre a ambelor curbe în zona viituri (fig.nr.5.3).

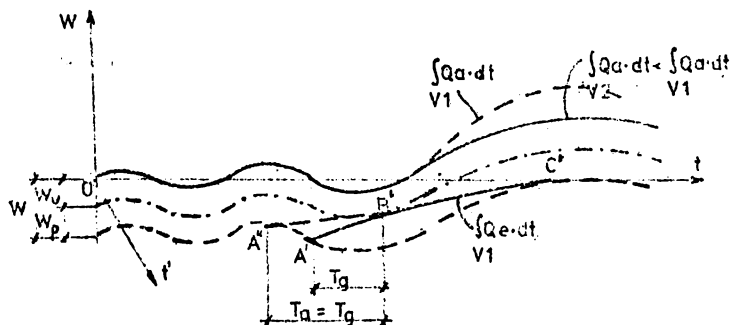


FIG. NR. 5.3

Presupunînd nemodificată curba de golire în zona (BC) (fig. nr. 5.1,a) și translatînd-o paralel cu ea însăși pînă ce punctul C devine tangentă superioară la curba coborîtă (punctul C', fig.nr. 5.3), punctele B și A vor ocupa pozițiile B' și A'. Evident că B' va fi situat sub curba integrală, ceea ce arată că lacul nu trebuie să fie complet pregolit, putîndu-se păstra o tranșă utilă W'_u . Va trebui să fie pregolit doar volumul W' , ceea ce se poate realiza în două variante: într-un interval de timp, mai scurt, $T'_g < T_g$ și debite maxime ale golirilor (curba A'B', fig.nr.5.2), respectiv într-un interval de timp $T_g = T_a$ și debite mai mici (curba A''B', fig.nr.5.3).

- Varianta $V_{2.2}$ este similară cu $V_{2.1}$ cu observația că reprezentarea se face pentru $W_u < W$ rezultat din analiza varianțelor V_1 .

5.1.2. Modelul matematic

Modelul matematic se referă la două categorii de probleme :

- problema verificării unei acumulări nepermanente date, stabilindu-se posibilitățile de transformare într-o acumulare permanentă în condițiile unei viituri de calcul și al unui timp de antcipație maxim posibil pentru bazinul respectiv (varianta V_1) ;

- probleme de exploatare ale acumulării permanente rezultată din varianța V_1 în condițiile prognozării unor viituri mai mici decât cel de calcul.

Modelul matematic conține o parte generală comună ambelor categorii de probleme.

Schema bloc a modelului este prezentată în fig.nr.5.4 iar schema logică a părții generale în anexa nr.5.1.

În utilizarea modelului matematic se folosesc o serie de caracteristice ale acumulării, și anume : curbele orografice $S(H)$, $W(H)$, curba debitelor evacuate $QE(H)$ (prin golirea de fund, prin deversor și spre folosințe), precum și curba timpilor de golire $TG(H)$.

Aceste curbe se introduc în model prin puncte, determinându-se pentru un sir de niveluri $H(I)$ (la un pas ΔH , acoperind domeniul de interesă) valorile corespunzătoare $S(I)$, $W(I)$, $QE(I)$ și $TG(I)$ (fig.nr.5.5).

De asemenea se introduce hidrograful de viitură $QA(T)$ tot prin puncte, luindu-se în considerare un număr M de valori ale debitului $QA(K)$ pentru un pas de timp ΔT acceptat. Hidrograful corespunde undei de viitură de calcul în ipoteza verificării acumulării respectiv cel prognosticat la un moment dat în condițiile problemei de exploatare.

În schema logică prezentată în anexa nr.5.1 apare un subprogram care se referă la interpolarea mărimilor S , W , QE și TG atunci cînd nivelul H , la momentul K este cuprins între două valori ale sirului $H(I)$ prin care s-au introdus curbele în program.

Fornind de la starea inițială a acumulării, caracterizată prin nivelul H_0 în momentul interceptării undei de viitură ($K = 1$), se determină valorile inițiale $S(1)$, $W(1)$, $QE(1)$ și $TG(1)$ ale mărimilor S , W , QE și TG .

În continuare se trece la calculul atenuării undei de viitură în acumulare, calculind pentru fiecare moment K , nivelul apei în loc

$$HH(K) = HH(K-1) + (QAM(K-1) - QEM(K-1)) \cdot DT / S(K-1) \quad (5.1)$$

pentru care prin subprogramul de interpolare se determină valorile corespunzătoare $S(K)$, $W(K)$, $QE(K)$ și $TG(K)$ ale mărimilor S , W , QE și TG .

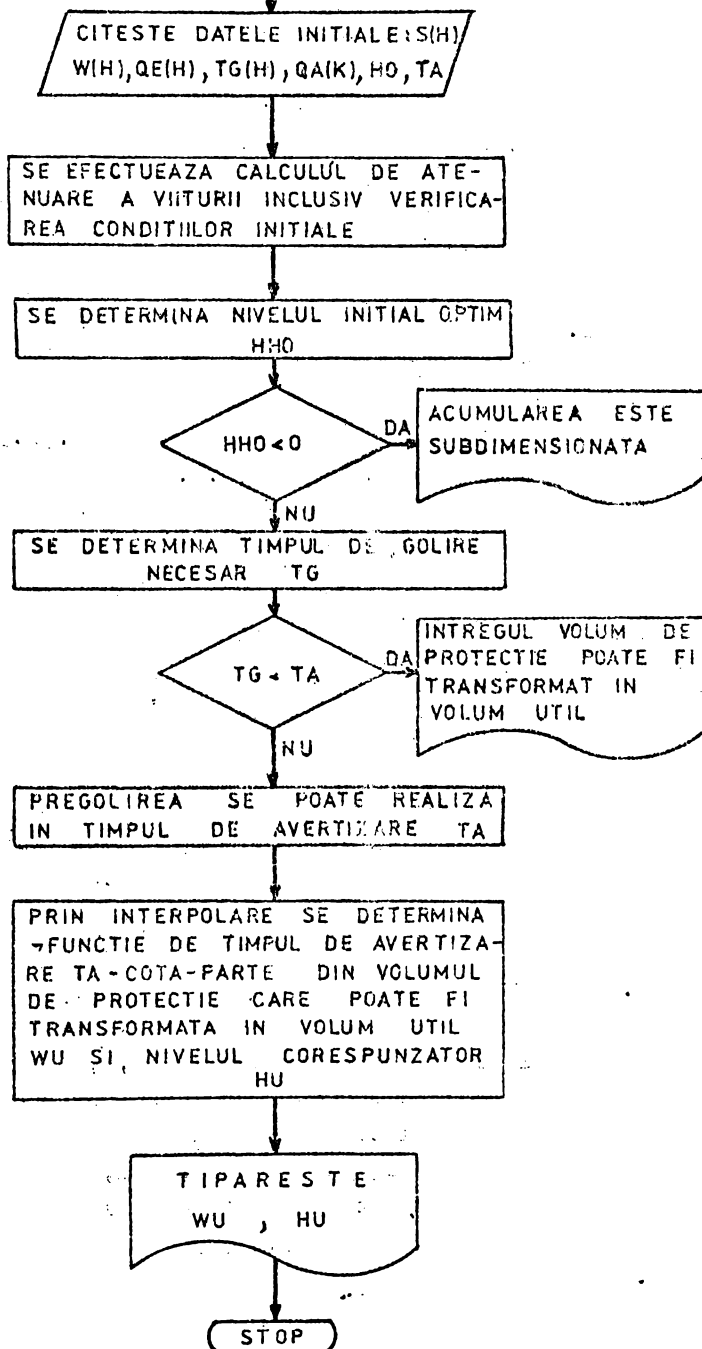


FIG. NR. 5.4

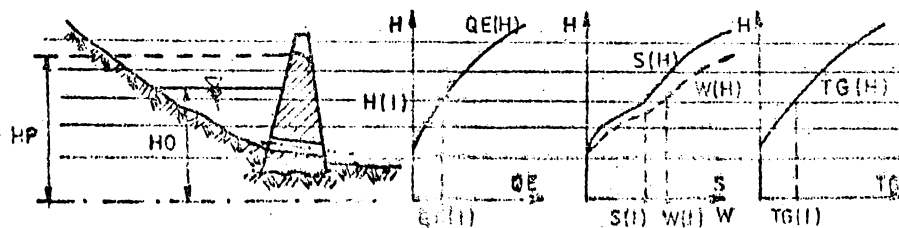


FIG. NR. 3.5

In relația (5.1) $QAM(K-1)$, respectiv $QEM(K-1)$ reprezintă debitul affluent, respectiv debitul mediu pe intervalul de la $K-1$ la K . Deoarece valoarea $QE(K)$ nu se cunoaște, și deci nu se poate determina nici $QEM(K-1)$, relația (5.1) se va rezolva iterativ, pornind de valoarea $QE(K-1)$, pînă cînd se îndeplinește condiția :

$$C = QAM(K-1) - QEM(K-1) - (HH(K-1) - HH(K)) * \frac{S(K-1) + S(K)}{2 * \Delta t} < EPS_1 \quad (5.2)$$

unde EPS_1 reprezintă eroarea admisă între pașii de iterare succesiivi. Condiția (5.2) reprezintă satisfacerea ecuației de continuitate cu o eroare dinainte precizată.

In fiecare moment K se verifică condiția nedepășirii debitului maxim evacuat admis :

$$QE(K) < QEAD \quad (5.3)$$

In cazul nerespectării acestei condiții apare necesitatea pregolirii lacului, nivelul HO nepermînd stenuarea corespunzătoare viiturii (de calcul sau prognozate).

De asemenea se impune verificarea următoarelor condiții :

- nedepășirea nivelului maxim de retенție.

Pentru aceasta în fiecare pas de calcul K se verifică îndeplinirea condiției :

$$\Delta A = (HH(K) - (HP + HD)) < 0 \quad (5.4)$$

Dacă condiția nu se verifică, apare necesitatea pregolirii lacului, ca și la condiția (5.3).

- menținerea nivelului lacului după trecerea viiturii la nivelul pragului deversorului HP .

Pentru aceasta se calculează timpul scurs de la momentul interceptării viiturii :

$$BB = K - DT/3600 \quad (5.5)$$

care se compară cu timpul de creștere a viitorii TC :

$$BB > TC \quad (5.6)$$

In cazul îndeplinirii acestei condiții înseamnă că viriul viitorii a fost depășit, iar în continuare se verifică raportul dintre debitul afluent și cel defluent :

$$QA(K) < QE(K) \quad (5.7)$$

In cazul îndeplinirii acestei condiții, se procedează diferență funcție de raportul dintre nivelul în lac în momentul respectiv și cota pragului deversor :

$$HH(K) < HP \quad (5.8)$$

Dacă condiția este îndeplinită, se verifică valoarea diferenței:

$$CC = HH(K) - HP \quad (5.9)$$

și se continuă calculul pînă în momentul în care valoarea acestei diferențe scade sub valoarea erorii admise EPS 2 :

$$ABS(CC) < EPS 2 \quad (5.10)$$

și se determină timpul de echilibru, respectiv nivelul inițial în lac la care se produce atenuarea cu respectarea tuturor condițiilor puse :

$$TECH = BB \quad (5.11)$$

$$HRO = HH(K) \quad (5.12)$$

Dacă condiția (5.8) nu este îndeplinită, înseamnă că atenuarea va realiza în mod corespunzător, chiar dacă nivelul inițial este superior valorii HO și se trece la determinarea acestei valori prin majorarea :

$$HO = HO + DH \quad (5.13)$$

și reluarea calculelor.

Modelul de calcul are trei ieșiri. În primul caz, cînd $HO < 0$, rezultă că acumularea nu corespunde viitorii de calcul luate în considerare și se reiau calculele pentru o viitoră mai mică sau se recomandă redimensionarea acumulării.

In celelalte cazuri acumularea se poate transforma într-o acumulare permanentă, fie cu un volum util egal cu cel al lacului ($W_u = W$) - varianta V_1 , fie cu un volum util mai mic ($W_u < W$) - varianta V_2 .

Cunoscindu-se condițiile de transformare, respectiv volumul util W_u și toate celelalte mărimi corespunzătoare acestui volum (H, S etc.) se poate trece la programul de exploatare pentru viitorile prognozate, mai mici decît cea de calcul.

In cazul acesta se prognosează pregolirile necesare, care, evident, vor fi volume mai mici decît cele corespunzătoare viitorii de calcul. Astfel există posibilitatea menținerii în lac a unui

anumit volum de apă, nefiind necesară pregolirea completă..

Modelul de calcul a fost aplicat în cadrul contractului /încă la condițiile acumulării nepermanente Cedar-Duboz de pe rîul Pojajniș, iar ulterior la condițiile a încă șase acumulări, nepermanente din spațiul hidrografic Banat.

5.1.3. Caracteristici ale acumulării nepermanente

Cadar - Duboz /117/

A. În etapa actuală schema generală a lucrărilor cuprinde :

a) Barajul din materiale locale Cedar-Duboz de tip omogen din pămînt cu $H = 10$ m și $L = 1590$ m ;

b) acumularea nepermanentă Cedar-Duboz cu un volum total de 41,4 milioane m^3 (corespunzător probabilității de verificare de 0,5 %) ;

c) instalații și construcții aferente :

- evacuatorul de ape mari ;
- golirea de fund ;
- cantonul de exploatare ;
- instalații electrice ;
- legătură telefonică interurbană și radiotelefon

Caracteristicile generale ale acumulării :

a) Niveluri caracteristice :

- la probabilitatea de 2 % (de calcul) 125,25 mdMB

- la probabilitatea de 0,5 % (de verificare) ... 115,90 mdMB

- la probabilitatea de 10 % 122,45 mdMB

b) Volume reținute (de protecție) :

- sub creasta deversorului - 2 % , 35,7 mil. m^3

- la probabilitatea de 0,5 % , 41,4 mil. m^3

Nivelul maxim de retenție (de calcul) creează o adâncime de apă de 7,5 m și o gardă de 2,25 m față de coronamentul barajului.

Amenajarea intră în funcție numai la ape mari ; în momentul în care începe acumularea, debitul golirii de fund la nivelul corespunzător probabilității de 2 % (de-calc) fiind limitat la $17 m^3/s$. Limitarea debitului evacuat s-a realizat prin obturarea fixă a golirii de fund. Debitul maxim evacuat corespunde capacitatei de transport a albiei în aval, în secțiunile cele mai strânse, de $71 m^3/s$.

c) Suprafețe inundate în cuveta acumulării :

- la probabilitatea de calcul 2 % 1030 ha

- la probabilitatea de verificare 0,5 % ... 1175 ha

- la probabilitatea de 20 % 650 ha

B.. În etapa finală, analizată în proiectul de execuție, pentru irigarea unei suprafețe de cca.10.000 ha, și la alimentarea cu apă potabilă a comunelor din aval de acumulare (debit necesar $Q_{al} = 0,28 \text{ m}^3/\text{s}$), fiind posibilă obținerea unor volume pentru satisfacerea folosințelor, prin supraînălțarea barajului din prima etapă, rezultă următoarele caracteristici :

- nivel volum mort 110,50 mdMB
- nivel minim de exploatare 120,55 mdMB
- nivel maxim util 124,90 mdMB
- nivel maxim cu probabilitate de 2 % (de calcul) 127,25 mdMB
- nivel maxim cu probabilitate de 0,5 % (de verificare) 127,87 mdMB
- volum mort 0,85 mil. m^3
- volum util 31 mil. m^3
- volum de protecție sub creasta deversorului - 2 % 27,6 mil. m^3
- volum de protecție la probabilitatea de verificare 0,5 % 35,30 mil. m^3

Pentru a se obține caracteristicile de mai sus ale acumulării în etapa finală, vor trebui realizate următoarele lucrări, necesitând investițiile corespunzătoare :

a) Supraînălțarea barajului cu 2,70 m de la cota coronamentului de 127,80 mdMB la cota 130,50 mdMB, ceea ce cu meninereea inclinărilor paramentelor (1:4 amonte și 1:3,5 aval) necesită un volum de umplutură de 506.336 m^3 (76,74 % din volumul actual al barajului de cca. 660.000 m^3) la nouul profil al barajului.

b) Supraînălțarea deversorului de ape mari de la cota 125,40 mdMB la cota 127,25 mdMB

c) Executarea ecranului de etansare a barajului pe paramentul amonte, cuprinzind :

- pintenul de reazem al ecranului la piciorul taluzului amonte ;
 - filtru invers în 2-3 straturi în grosime minimă de 10 cm fiecare, sub ecran ;
 - ecran din dale de beton în suprafață totală de cca. 85.225 m^2 ;
 - parapet spargeval din beton armat la marginea superioară ecranului ;
 - rostuirea cu mastic bituminos a ecranului dalat. -
- d) Îndepărțarea grinzelor de beton armat cu care s-a realizat obturarea parțială a golirii de fund în vederea limitării de-

bitului descărcat la $17 \text{ m}^3/\text{s}$.

e) Montarea în turnul de manevră a dispozitivelor de închidere prevăzute pentru etapa a II-a și anume :

- stăvilarul de serviciu cu dimensiunile $2,4 \times 2,4 \text{ m}$ care obturează primul compartiment ;

- stăvilarul de rezervă, cu dimensiuni identice, în fața intrării în conductă ;

- stăvilarul de acces și reglare a debitului pentru folosire, cu dimensiuni de $1,2 \times 2,0 \text{ m}$ situat sub nivelul minim de expunere în etapa a II-a ($120,55 \text{ mdmB}$) ;

- stațul din țeavă $\varnothing 140 \text{ mm}$ și robinetul Dn 125 mm pentru echilibrarea presiunilor în cazul izolării turnului prin închiderea cu betardou ;

- mecanismele și instalațiile de manevră a stăvilarelor precizate mai sus.

5.1.4. Verificarea dimensionării acumulării în etapa a II-a conform proiectului de execuție /130/

Pentru etapa finală proiectul de execuție prevede transiția mareea acumulării nepermanente Cădăr-Duboz în acumulare permanentă, servind pentru irigarea unei suprafețe de cca. $10,000 \text{ ha}$ și eliminarea cu apă potabilă a localităților rurale din bazinul rîului Pogăniș aval de acumulare. Pentru realizarea acestui scop proiectul de execuție prevede un volum util de 31 milioane m^3 .

Inainte de a trece la optimizarea exploatarii acumulării baza modelului matematic prezentat, s-a efectuat o verificare a prevederilor proiectului de execuție, prin redimensionarea volumului util, ținând seama de afluența naturală (debite medii lunare măsurate în perioada 1955 - 1982 la p.h. Valea Pai), precum și de cerința de apă a folosințelor. În ceea ce privește necesarul de apă al folosințelor, pentru alimentarea cu spă a localităților din bazin s-a luat în considerare valoarea $Q_{al} = 0,28 \text{ m}^3/\text{s}$, determinată la ICPGA - Filiala Timișoara, iar pentru irigații s-au calculat debitele necesare pe baza normelor nete de irigații determinate la P.H. Timișoara, cu ajutorul relației :

$$Q_{ir} = \frac{S \cdot N}{\Delta t \cdot k} \quad (5.14)$$

în care :

- S - suprafața irigată ($10,000 \text{ ha}$) ;

- N - normele lunare nete pentru irigații ;

- Δt - pasul de timp $= 2,63 \cdot 10^6 \text{ s}$;

$k = 0,9$ - coeficient de randament.

Calculele de dimensionare s-au efectuat în două ipoteze, conform metodelor cunoscute /17/, și anume :

- ipoteza I - satisfacerea tuturor folosințelor (alimentării cu apă potabilă + irigații) la probabilitatea de satisfacere mai mică (cea a irigațiilor) ;

- ipoteza II - satisfacerea alimentărilor cu apă la probabilitatea mai mare (cea a alimentărilor cu apă).

Efectuând în ipoteza a I-a gruparea folosințelor, calculele de bilanț și de determinare a volumelor necesare satisfacerii folosințelor, valorile volumelor (în milioane m^3) ce corespund la diferite probabilități, sunt înscrise în tabelul nr.5.1.

Tabelul nr.5.1

Volume de lac corespunzătoare diverselor probabilități

Probabilități %	75 %	80 %	85 %	90 %	95 %
Volume utile($10^6 m^3$)	19,699	23,446	29,985	30,941	33,664

Probabilitatea standardizată de satisfacere a cerințelor de apă pentru irigații fiind $P_{\%} = 80 \%$, rezultă că volumul util necesar pentru satisfacerea necesarului în ipoteza I-a este de 23,5 milioane m^3 .

În ipoteza a II-a de calcul se cere satisfacerea doar a folosinței de alimentare cu apă potabilă la probabilitatea corespunzătoare acesteia, precum și a unui debit de scurgere salubră $Q_s = 0,05 m^3/s$, debitul necesar luat în considerare fiind :

$$Q_u = Q_{al} + Q_s = 0,28 + 0,05 = 0,33 m^3/s$$

Probabilitatea de satisfacere a cerințelor de apă pentru alimentarea cu apă potabilă a centrului populate în mediu rural fiind $P = 80 - 90 \%$, această folosință poate fi satisfăcută în regim natural de către afluența râului Pojaniș, întrucât doar în 10 luni din cele 336 (28 ani) luate în considerare, debitul afluent scade sub valoarea necesarului, ea ce corespunde la o probabilitate de satisfacere de 97,02 %. Această valoare depășește cu mult probabilitatea standardizată, chiar dacă se acceptă limita superioară a acesteia de 90 %.

În aceste condiții, în ipoteza a II-a rezultă că nu este nicio de volum util în lac pentru satisfacerea doar a folosinței de alimentare cu apă potabilă, deci ipoteza de bază pentru dimensionarea volumului util în etapa finală a acumulației Cadar-Duboz va fi ipoteza I.

Analizînd aceste rezultate, se poate trage concluzia că, pentru satisfacerea necesarului de apă luat în considerare, este necesar să se prevadă în acumulare un volum util de 23,5 milioane la probabilitates de satisfacere a folosințelor de 80 %, volum mai mic decit cel prevăzut în proiectul de execuție al amenajării, de 31 milioane m^3 , care conform tabelului nr. 5.1 corespunde probabilității de 90 %, adică situației în care se ia în considerare satisfacerea ambelor folosințe la probabilitatea mai mare.

Păstrînd valorile din proiectul de execuție pentru volum mort, volumul de protecție sub creasta deversorului (probabilitate de calcul 2 %), volumul de protecție cu probabilitatea de verificare de 0,5 % și acceptînd pentru volumul util valoarea calculată anterior de 23,5 milioane m^3 , caracteristicile acumulării Cader-Duboz vor fi :

- volum mort 0,85 mil. m^3
- volum util 23,50 mil. m^3
- volum de protecție sub creasta deversorului probabilitate de calcul 2% 27,60 mil. m^3
- volum de protecție cu probabilitatea de verificare de 0,5 % 35,30 mil. m^3
- nivel volum mort 119,50 mdMB
- nivel minim de exploatare 120,55 mdMB
- nivel volum util 124,38 mdMB
- nivel maxim cu probabilitatea de calcul 2 % 126,85 mdMB
- nivel maxim cu probabilitatea de verificare de 0,5 % 127,35 mdMB

În această variantă de dezvoltare (probabilitatea de satisfacere a folosințelor $P = 80\%$), făcînd prevederile proiectului de execuție săt necesare următoarele lucrări :

a) Suprainălțarea barajului cu 2,20 m (față de 2,70 m) de la cota coronamentului de 127,81 mdMB la cota 130,00 mdMB, ceea ce necesită în aceleasi condiții un volum de neplutură de 426.34 m^3 (cu 79.993 m^3 mai puțin față de 506.335 m^3 a variantei din proiectul de execuție), adică 64,1 % din volumul actual de cca. 666.000 m^3 al barajului (cu 12,15 % mai puțin față de prevederile proiectului de execuție).

b) Suprainălțarea deversorului de ape mari de la cota 125,40 mdMB la cota 126,85 mdMB (cu 0,40 m mai puțin față de varianta din proiect).

c) Execuțarea ecranului de otanșare a barajului pe parametrul amonte, cu o suprafață a ecranului de 81.947 m^2 (cu 3278 m^2

mai puțin față de varianta din proiect - economie de 3,85 %), de aceea reducerea în aceeași proporție doar 3,85 % a lucrărilor de execuția filtrului invers.

Din cele de mai sus rezultă că respectând probabilitățile normate de satisfacere a cerințelor de apă la calculele de dimensionare a acumulării permanente Cedar-Duboz (etapa a II-a), se obțin importante reduceri ale volumelor de lucrări și ale investițiilor necesare realizării etapei II de dezvoltare a amenajării, fără ca acesta să influențeze negativ satisfacerea cerințelor de apă ale folosințelor la probabilitățile normate.

Reducerea cu peste 12 % a volumelor de umpluturi în corpul barajului, cu 3,85 % a volumelor de lucrări pentru etanșarea paramentului amonte, a volumelor de betoane la suprareinălțarea deversorului de ape mari etc., conduc la reducerea substanțială a investițiilor necesare dezvoltării acumulării. Deoarece cheltuielile anuale de exploatare și întreținere a lucrărilor nu se modifică substanțial, reducerea investițiilor va asigura recuperarea acestor investiții într-un termen mai scurt față de varianta din proiectul de execuție, ridicând eficiența economică a lucrărilor.

5.1.5. Optimizarea exploatarii acumulării Cedar-Duboz prin aplicarea modelului matematic propus /13c/

În vederea optimizării exploatarii acumulării Cedar-Duboz, s-a rulat la calculatorul TELIX C 256 un program de calcul conceput în limbaj FORTRAN pe bază modelului de calcul expus la 5.1.2., în 3 variante, fiecare cu cîte 3 subvariante.

Variantele luate în calcul sunt următoarele :

- Varianta I - Situația actuală de acumulare Cedar-Duboz, fără suprareinălțări, doar cu montarea dispozitivelor de control pe evacuatori, cu $HP = 125,25$ mdMB, $HD = 0,65$ m și pornind de la $HO = 116,75$ mdMB.

- Varianta II - acumularea transformată în acumulare permanentă în conformitate cu prevederile proiectului de execuție, cu suprareinălțarea coronamentului la cota 180,50 mdMB, cu $HP = 127,25$ mdMB, $HD = 0,63$ m și pornind de la nivelul minim de exploatare $HO = 120,55$ mdMB.

- Varianta III - acumularea transformată în acumulare permanentă în conformitate cu rezultatele de la 5.1.4., cu suprareinălțare a coronamentului la cota 130,00 mdMB, cu $HP = 126,85$ mdMB, $HD = 0,55$ m și pornind de la nivelul minim de exploatare $HO = 120,95$ mdMB.

Subvariantele studiate se referă la timpul de anticipare sibil cu care se poate prognoza viitura pentru exploatarea acu lării. S-au luat în considerare trei situații :

- situația actuală, cind prognoza se realizează cu un timp de anticipare TA = 15 ore de la P.H. Valea Pai ;

- două situații posibile de perspectivă, în care ar fi posibilă dublarea sau chiar triplarea timpului de anticipare (15 și = 30 ore, respectiv TA = 45 ore), prin realizarea unui post hidrometeorologic (sau hidrometeoroologic) la distanță mai mare în bazinul superior al râului Pogăniș (eventual P.H. Ilieșu existent), sau obținerea unei prognoze cu durată de anticipare mai mare prin aplicare în viitor a programului MASTER, conform lucrării /123/.

Pentru rularea programului de optimizare s-a luit în cadrul viitura de calcul cu probabilitatea de $\geq 75\%$ (anexa nr. 5).

În urma efectuării calculelor, programul indică pentru fiecare subvariantă următoarele rezultate :

- nivelul notat cu HU (mdMB) la care se poate menține acuarea pentru satisfacerea folosințelor, fără a-și pierde funcție de atenuare, realizându-se pregătirea corespunzătoare în timpul de anticipare TA ;

- volumul corespunzător nivelului HU, notat cu WU¹, care ar trebui să fie menținut în lac în aceleasi condiții. Scăzând din volumul WU¹ volumul mort W_m , va rezulta volumul util disponibil pentru satisfacerea folosințelor

$$WU = WU^1 - W_m \quad (5.1)$$

Rezultatele furnizate de programul de optimizare sunt sintetizate în tabelul nr. 5.2.

Tabelul nr. 5.2

Varian- ta	Subva- rintă	TA (ore)	Rezultate ale optimizării			Obu. da da da
			HU (mdMB)	WU ¹ (10^6 m^3)	WU (10^6 m^3)	
I	1	15	119,809	1,79	0,94	Nu da da
	2	30	120,589	3,82	2,97	
	3	45	121,168	7,10	5,23	
II	1	15	124,834	28,51	22,46	Nu da da
	2	30	125,124	52,14	33,29	
	3	45	125,422	35,83	27,98	
III	1	15	124,083	21,69	17,54	Nu da da
	2	30	124,371	23,11	18,26	
	3	45	124,655	25,98	21,13	

Analizând rezultatele din tabelul nr. 5.2, se pot trage următoarele concluzii :

toarele concluzii :

- a) în varianta I - fără supraînăltarea barajului - se pot asigura în toate subvariantele volume utile în lac pentru satisfacerea folosințelor, volume de 0,94 milioane m^3 pentru TA = 15 ore, 2,97 milioane m^3 pentru TA = 90 ore, ajungind la 6,25 milioane m^3 pentru TA = 45 ore;
- b) în varianta II - cu supraînăltarea barajului conform proiectului de execuție, se permite optimizarea volumului în subvariantele 2 și 3 cu tempi de anticipare TA = 30 ore respectiv TA = 45 ore, cind volumul util al lacului poate crește peste valoarea strict necesară, ocupând parțial volumul de protecție, nivelul corespunzător depășind nivelul maxim util indicat în proiectul de execuție de 124,90 mdMB. În subvarianta I, cu TA = 15 ore nivelul optimizat rezultă de 124,834 mdMB, apropiat de nivelul maxim util de 124,90 mdMB, ceea ce arată că timpul de anticipare actual de 15 ore nu este suficient pentru realizarea optimizării;
- c) în varianta III - cu supraînăltarea barajului conform rezultatelor de la 5.1.4., optimizarea exploatarii acumulării este posibilă doar în subvarianta 3, cu TA = 45 ore, cind nivelul în lac se poate menține la cota 124,665 mdMB, superioară nivelului maxim util rezultat de 124,38 mdMB. În subvariantele 1 și 2 optimizarea nu este posibilă din cauza timpului de anticipare prea mic.

Acste rezultate corespund dosigur situației în care se prognozează apariția unei de viitură ce corespunde probabilității de depășire de 2 % (de calcul).

Cum viiturile care apar în mod obișnuit nu ving amprengări viiturii de calcul, desigur că optimizarea este posibilă de răsunare dată pentru aceste viituri mai reduse ca amprengări.

Pentru aceasta programul optimizat trebuie rulat la calculator de fiecare dată cind se prognozează o viitură, cu datele corespunzătoare hidrografului progrmat.

Programul de calcul furnizează în cîteva minute nivelul la care se poate menține lacul de acumulare pentru a se putea atinge viitura. Comparind acest nivel cu cel existent de lac, poate rezulta necesitatea evacuării în timpul de anticipație TA a unui volum din lac, dar și posibilitatea de a se realiza stenărea cuier la niveli mai ridicate decit cel existent.

Metoda de optimizare prezentată a fost aplicată pentru casul a încă 6 acumulări nepermanente din spațiul hidrografic Banat. Rezultatele determinărilor sunt trecute în tabelul nr.5.3, pentru

aceeași timpi de anticipație TA de 15,30,45 ore /24/.

Tabelul nr.5.3

Denumirea acumulării	W_{loc} ($10^6 m^3$)	Volum util W_u ($10^6 m^3$)		
		TA = 15 h	TA = 30 h	TA = 45 h
Giajmarata	1,16	1,16	1,16	1,16
Satchinez	2,40	1,44	1,65	1,80
Mureni	3,97	1,88	2,11	2,35
Ianova	4,65	3,13	3,35	3,56
Mănăstur	6,60	2,56	2,77	3,02
Bujiu	7,42	1,14	2,20	3,84

5.2. Problema utilizării intercalate a volumului util și a volumului de protecție în acumulări permanente

Utilizând același model matematic și programul de optimizare prezentat se poate realiza și optimizarea explorației acușurilor permanente, în sensul de a se determina ce volume utile și plimboare pot fi acumulate prin ocuparea parțială sau totală a volumului de protecție sub creasta deversorului pentru satisfacerea folosințelor, de asemenea, se determină ce volume trebuie evocate din acumulare în timpul de anticipație (chiar pe scara volumelor utile), pentru a se atenda în mod corespunzător o viitoră prognozată.

Acest aspect, nefiind cuprins în obiectivile prezentate lucrări, nu se dezvoltă în detaliu.

5.3. Probleme conexe ale programei viitorilor în utilizări la dimensiunile și exploatarea acumulărilor

Prognoza viitorilor de regulă furnizează debitul maxim pronosticat cu timpul de anticipație TA și precizia corespunzătoare metodei de prognoză ce se aplică (cap.2). Pentru utilizarea programei în scopuri practice este însă nevoie de hidrograful de viitoră, adică variația în timp a debitelor viitorii pe întreperioadă de desfășurare a acesteia. Deoarece în prognoză nu se poate lucra cu viituri reale înregistrate, apare necesitatea de a genera hidrograful singular tip al viitorii care să respecte un complex de parametri caracteristici (fig.nr.5.6), și anume :

- debitul maxim pronosticat (prognoză pe durată de existență sau prognoză pe termen scurt) - Q_{max} (m^3/s) ;
- volumul undei W ($10^{46} m^3$) ;
- timpul total de desfășurare a undei T_p (ore) ;

- timpul de creștere T_{cr} (ore) ;

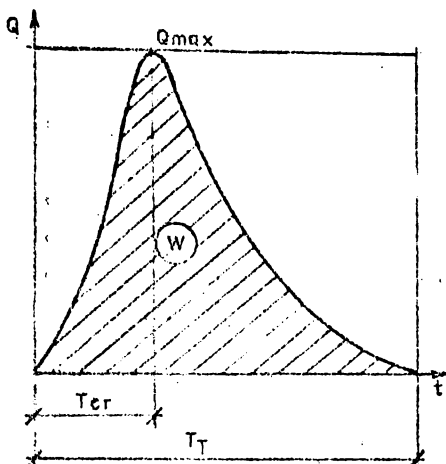


FIG. NR. 5.6

- coeficientul de formă determinat cu relație:

$$\hat{t} = \frac{W}{Q_{\max} \cdot T_T \cdot 3600}$$

(5.16)

Dacă debitul și volumul undei prognozate au o mare variabilitate funcție de cauzele și condițiile în care se produce viitură, ceilalți trei parametri (timpuri caracteristice, coeficientul de formă) sunt condiționați de parametri fizico-geografici ai bazinului, și sint indicați în literatură pentru un număr mare de posturi hidrometrice /125/, /126/, /127/. De asemenea există relații de generalizare hidrologică stabilite pe bazin hidrografice, cu ajutorul cărora acești parametrii pot fi determinați pentru secțiunile studiate.

Având la dispoziție parametri hidrografului prognosat, se poate trece la calculul hidrografului, metodele de generare a hidrografului de viitură pe baza parametrilor constituind obiectivul capitelelor următoare.

C a p i t o l u

M E T O D E D E G E N E R A R E A V I I T U R E I P R E B A Z A P A R A M E T R I C A

Pentru generarea hidrografelor de viitură, procedurile sunt să se aplice datele hidrometrice tehnice care să furnizeze urmării parametrii (fig. n. 1, cap. 5) :

- debătul maxim al viiturii Q_{max} (m^3/s) ;
- volumul undei W ($10^6 m^3$) ;
- timpul total de desfășurare a undei t_{total} (zile) ;
- timpul de creștere T_{cr} (zile) ;
- coeficientul de formă și determinat printr-o ide (p. 10).

Pentru a utiliza în calcul hidrografii de viitură, aci este buisit descris prin debătul Q_2 (construit în funcție de tipul de alese funcție de neconvențională), având să fie disponibili, metrii, trebuie generat hidrograful de viitură.

Cercetările care au fost făcute au dus la schimburile viiturilor necesare hidrografiei (lăsare hidrografice și gospodărirea apelor), prin compunerea formelor geometrice (soluții analitice), a formelor model tip (definită de viitură și înregistrate) și a formelor rezultante pe baza utilizării acestor hidrografului unitar /11/.

In ceea ce privește schematizarea geometricală a viiturilor cele mai simple forme sunt de tip triunghiular și trapezoidal, propuse de D.N.Kocerin, expresia de calcul al debitului fiind dată de o expresie de gradul întâi. Schematizările lui Kocerin introduceau în calcule erori ineliminabile, fapt ce a determinat intensificarea eforturilor specialistilor în direcția elaborării unor forme de viitură și mai perfecționate.

Experiența acumulată în domeniul de invățărilor directe și răstat că, în majoritatea cazurilor, ramurile hidrografelor viiturilor au o formă asemănătoare graficului rămonicii exponentiale, aceasta explică faptul că majoritatea autorilor au propus formă pentru viiturile singulare neconvenționale, lăsând expresia cărăție fundamentală o reprezentă ca de tip exponentiale.

Dintre modelele ce au ieșit în evidență și care să evidențiază modelul D.L.Sokolovi și care să fie de calcul și rapid și diferențială pentru ramura de creștere respectiv pentru ramura de descreștere, și modelul G.A.Alexeev, având expresia de calcul

debitului unică pentru întreg hidrograful viitorii.

Dintre modelele ce au la bază o combinare a funcțiilor exponentiale și sinusoidale se releșă modulul Reitz-Kreps, având expresia de calcul a debitului dată pentru ramura de creștere printr-o sinusoidală și pentru ramura de descreștere printr-o exponentială.

Sunt de asemenea revelatoare formele de viitură care au rezultat pe baza combinației funcției exponențiale cu funcția-potere. Se menționează printre acestea modelele Pearson și Kazeny, având expresiile de calcul al debitului unice pentru întreg hidrograful viitorii.

Modelul Srebrenovic se bazează pe o combinare a funcțiilor potere și sinusoidale pentru ramura de creștere și pe utilizarea unei funcții potere pentru ramura de descreștere.

6.1. Metoda Cadariu de generare a hidrografului de viitoră

În lucrarea /11/ ing. Radu Cadariu propune un model nou pentru forma undelor de viitură teoretice, expresia de calcul al debitului fiind dată de o funcție rațională, unică pentru întreg hidrograful viitorii.

Modelul propus are la bază o funcție analitică adimensionala de formă :

$$Q^* = \frac{t^*(T^* - t^*)}{At^{*2} + Bt^* + C} \quad (6.1)$$

în care :

Q^* - reprezintă debitul în unități adimensionale, respectiv raportul dintre o valoare curentă a debitului Q și valoarea debitului maxim Q_{\max} ;

t^* - timpul în unități adimensionale, respectiv raportul dintre o valoare curentă a timpului t și valoarea duratăi de creștere T_{cr} ;

T^* - durata totală în unități adimensionale, respectiv raportul dintre valoarea durării totale T și valoarea durării de creștere T_{cr} ;

A, B, C - parametrii adimensionali ce determină formă hidrografului.

În cadrul sistemului de axe adimensionale definit anterior, elementele caracteristice ale hidrografului de viitoră sunt după cum urmează :

- debitul maxim $Q_{\max}^* = Q_{\max}/Q_{\max} = 1$
- durata de creștere $T_{cr}^* = T_{cr}/T_{cr} = 1$
- durata totală $T^* = T/T_{cr} > 2$
- coeficientul de formă $\gamma = W^*/T^*$

Reprezentarea grafică a relației (6.1) este ilustrată în fig.nr.6.1.

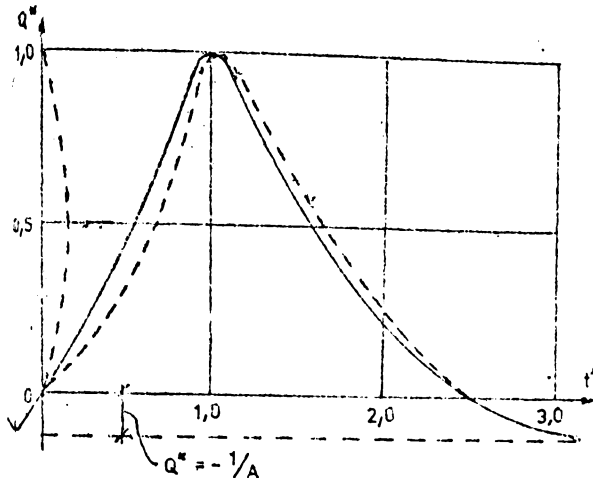


FIG. NR. 6.1

respectiv de descreștere ale hidrografului descris de relația (6.1) este unică și determinată de valorile date parametrilor A , B și C .

Forma definită de relația (6.1) poate fi modificată, dacă se adună (respectiv se scade), la hidrograful inițial pe direcția absciselor, valorile t^* date de ecuația parabolei (fig.nr.6.2) :

$$t^* = 4 t_1^* Q^* (1 - Q^*) \quad (6.2)$$

în care se păstrează notatiile evidențiate anterior, t_1^* fiind valoarea maximă a parabolei corespunzătoare debitului $Q^* = 1/2$.

De exemplu, operația de adunare date de relația (6.2) modifică forma hidrografului adimensional de creștere și se obține corespunzător volumul adimensional de descreștere cu aceeași valoare (fig.nr.6.1). Așadar, forma hidrografului dată de relația (6.1) poate fi modificată în aşa fel încât să se respecte și un anumit raport între volumele aferente duratelor de creștere, respectiv de descreștere. Acest lucru este posibil prin calculul valorii lui t_1^* din relația (6.2) în funcție de volumul de creștere al hidrografului inițial (dat de relația (6.1)) și de volumul de creștere cerut pentru forma finală a hidrografului, știindu-se că suprafața parabolei (respectiv volumul de corecție) mărginită de axa debitelor este egală cu $2/3 t_1^*$.

Modelul analitic se poate utiliza la cálculul analitic al perechilor de valori (temp,debit) pentru hidrografele de viitor teoretice, în ipoteza că sunt date următoarele elemente caracteristice ale viitorii : debitul maxim Q_{\max} , debitul de bază Q_0 ,

Analizarea graficului funcției arată că ramurile lui spre ($t^* = \pm \infty$) tind asimptotic către dreapta de ecuație $Q^* = -1/A$. Ca urmare, graficul funcției este deosebit de flexibil în zona valorilor pozitive ale lui, ceea ce de laapt și interesează pentru scopul modelării unui hidrograf de viitor.

Se menționează că forma ramurilor de creștere,

volumul maxim W , durata totală T , durata de creștere T_{cr} , raportul între volumele de creștere W_{cr} , respectiv de descreștere W_{def}) ($\frac{W_{cr}}{W_{def}}$).

Pentru determinarea parametrilor A, B și C se calculează inițial durata totală adimensională $T^* = T/T_{cr}$ și coeficientul de formă γ al viitorii proprietăți (exclusiv volumul aferent debitului de bază) cu relația :

$$\gamma = \frac{W - Q_0 T}{(Q_{max} - Q_0)T} \quad (6.3)$$

În funcție de aceste valori calculate se determină parametrii A, B și C aferenți relației (6.1), rezolvând sistemul de ecuații ce rezultă prin impunerea următoarelor condiții :

1. Graficul relației (6.1) să treacă prin punctul de coordinate $(t^* = T_{cr}^* = 1$ și $Q^* = Q_{max}^* = 1)$; această condiție determină o ecuație de forma :

$$B = T^* - 2(A + 1) \quad (6.4)$$

2. Abscisa punctului de maxim al relației (6.1) să fie egală cu $t^* = T_{cr}^* = 1$; această condiție determină următoarea ecuație :

$$C = \frac{B + A \cdot T^*}{T^* - 2} \quad (6.5)$$

Din ecuațiile (6.4) și (6.5) se elimină parametrul B, obținându-se relația :

$$C = A + 1 \quad (6.6)$$

3. Integrala definită : $\int Q^*(t^*) dt^*$ să fie egală cu volumul adimensional al undei $W^* = \gamma \cdot T^*$.

În ecuația rezultată din condiția a treia se introduc valoările calculate pentru parametrul B cu relația (6.4) și pentru parametrul C cu relația (6.6), obținindu-se în final o ecuație având necunoscută valoarea parametrului A :

$$W^* = \frac{\mathcal{Z} \cdot \theta}{A^2} \ln \varphi + \frac{\mathcal{Z} (2A \cdot \varphi - \theta^2)}{A^2 \sqrt{4A \cdot \varphi - \theta^2}} \left(\arctg \frac{2A \cdot \varphi + \theta}{\sqrt{4A \cdot \varphi - \theta^2}} - \arctg \frac{T^* - 2 \mathcal{Z}}{\sqrt{4A \cdot \varphi - \theta^2}} \right) - \frac{T^*}{A} \quad (6.7)$$

care s-a făcut notațiile :

$$\mathcal{Z} = A + 1; \varphi = T^* - 1; \theta = T^* - 2 \quad (6.8)$$

Rozolvarea ecuației (6.7) conduce la determinarea parametrului A și implicit, prin intermediul relațiilor (6.4) și (6.6), la determinarea parametrilor B și respectiv C.

În aplicațiile curente, pentru rezolvarea ecuației (6.7) se utilizează programe de calcul în limbaj FORTRAN și BASIC întocmite de autorul metodei.

Valorile determinate pentru parametrii A, B și C se păstrează aceleiasi și în sistemul de unități reale, relația de calcul și debitelor hidrografului viitorii teoretice (dată prin elementele caracteristice) având următoarea formă finală :

$$Q(t) = Q_0 + \frac{(Q_{\max} - Q_0)(T - t) \cdot t}{A \cdot t^2 + B \cdot T_{cr} \cdot t + C \cdot T_{cr}^2} \quad (6.9)$$

Efectuarea corecției formei hidrografului reprezentat de relația (6.9) în astă fel încit să respecte și condiția raportului $\frac{W_{cr}}{W_{dcr}}$, comportă etape de calcul similară cu cele prezentate anterior pentru modelul adimensional.

Funcția analitică propusă are posibilitatea modelării viitorilor teoretice, singulare având coeficienții de formă cuprinși între valorile 0,15 și 0,50 și valori ale raportului durată totală, durată de creștere de 2 și 6,5.

Se menționează că metoda Cadariu de generare a hidrografului de viitoră pe baza parametrilor, constituie parte componentă a programului de calcul UNDA 85 (menționat în cap.2).

În scopul verificării metodologiei ce se propune în continuare în acest capitol pentru îmbunătățirea metodei Sokolovski, apoi în capitolul 7, s-a creat programul de calcul R.S.I.C el pentru calculatorul a Mic, de concepție proprie, care permite generarea hidrografului de viitoră după metoda Cadariu, la erori admise atât în concordanță cu cele de la metoda Sokolovski îmbunătățită (program prezentat în anexa nr.6.1)

6.2. Metoda Sokolovski de generarea hidrografului undei de viitoră

D.L.Sokolovski a propus descrierea hidrografului de viitoră prin ecuații diferite pentru cele două ramuri, și anume :

-- pentru ramura crescătoare à undei :

$$Q_i = Q_{\max} \left(\frac{T_i}{T_{cr}} \right)^P \quad (6.9)$$

-- pentru ramura de descrescere :

$$Q_i = Q_{\max} \left(\frac{T_a - (T_i - T_{cr})}{T_a} \right)^R \quad (6.10)$$

în care (fig.nr.6.2) :

Q_i - reprezintă debitele hidrografului la diferite momente;

Q_{\max} - debitul maxim al hidrografului ;

T_i - momentele alese la pasul Δt la care se calculează debitele hidrografului ;

T_{cr} - timpul de creștere ;

T_d - timpul de descreștere;

P - puterea pe ramura crescătoare;

R - puterea pe ramura de descreștere.

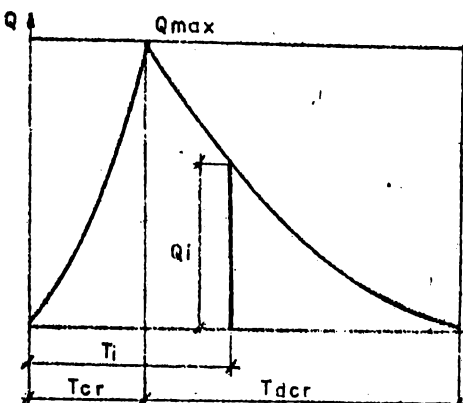


FIG.NR. 6.2

Conform indicațiilor literaturii $P = 2$ și $R = 3$, iar hidrograful obținut are virf ascuțit la Q_{max} (fig.nr.6.2).

Hidrograful astfel obținut respectă 3 din cei 5 parametri ai hidrografului precizați mai sus, și anume Q_{max} , T_p , T_{cr} și ar mai trebui să respalte și condiția de volum al undei W și coeficientul de formă γ .

Pentru verificarea acestei metode s-a întocmit un

program în limbaj BASIC pentru calculatorul a Mio (programul "BASIC 55" prezentat în anexa 6.1).

Programul permite calcularea hidrografului de viitor pornind de la valorile Q_{max} , T_p , T_{cr} utilizând pentru rezolvarea ecuațiilor (6.9) și (6.10) puterile $P = 2$ și $R = 3$. Prin integrarea numerică a hidrografului astfel calculat se obține volumul W_{calc} al hidrografului calculat precum și a coeficientului de formă γ_{calc} al hidrografului calculat, cu ajutorul relației (6.3).

Se compară volumul hidrografului calculat W_{calc} cu volumul W_{max} al hidrografului obținut din prelucrări statistice și se calculează diferența dintre cele două valori :

$$\Delta W = W_{calc} - W_{max} \quad (6.11)$$

și eroarea de determinare a volumului :

$$\varepsilon W = \frac{|\Delta W|}{W_{max}} \cdot 100 \quad (6.12)$$

De asemenea se calculează eroarea coeficientului de formă calculat γ_{calc} față de coeficientul de formă γ obținut din prelucrări statistice :

$$\varepsilon \gamma = \frac{|\gamma_{calc} - \gamma|}{\gamma} \cdot 100 \quad (6.13)$$

Verificările s-au efectuat prin programul BASIC 55 pentru un număr de 12 posturi hidrometrice, iar rezultatele sunt trecute în tabelul nr.6.1 și pentru un număr de 95 posturi hidrometrice care au valorile celor 5 parametri precizați în tabelele nr.31...

și nr.34 în /128/, verificări ale căror rezultate sunt trecute în anexa nr.6.2.

Analizând elementele inscrise în aceste tabele rezultă următoarele concluzii :

- coeficientii de formă indicate în literatură la viiturile cu probabilitate de depășire de 1 % pentru aceste posturi acoperă un domeniu destul de larg de la 0,22 la 0,32. Erorile cele mai ușoare ($\varepsilon_W, \varepsilon_f$) se obțin în cazurile în care coeficientul de formă se află în zona 0,26 - 0,27 (posturile Purcești pe Mureș și Garamszeg pe Timiș în tabelul nr.6.1) ;

- atunci când coeficientul de formă se abate de la această valoare medie a domeniului de variație obișnuit al lui f , erorile de determinare cresc foarte mult, ajungind la valori de 15 - 16 % pentru $f = 0,32$ și peste 21 % pentru $f = 0,22$.

Luarea în considerare a unor asemenea hidrografe calculată cu erori de 15 - 20 % are consecințe grave, fie în ceea ce privește siguranța în exploatare a construcțiilor fie din punct de vedere economic.

S-au prezentat în detaliu metoda Cadariu și metoda Sokolovski decarece în continuare se propune o îmbunătățire a metodei Sokolovski prin introducerea unor puteri variabile în cele două ecuații ce descriu ramurile hidrografului (P și R variabile), cu scopul de a permite calculul hidrografelor cu erori minime, pe de altă parte, în cap.7 metoda Cadariu va constitui metodă-etalon de comparație pentru verificarea îmbunătățirilor propuse.

6.5. Îmbunătățirea metodei Sokolovski de generare a hidrografului viitorului

Încercând o modificare arbitrară a puterilor P și R în ecuațiile (6.9) și (6.10) în cazul parametrilor aceluiși hidrograf de viitor se poate obține o micșorare sau mărire a erorilor $\varepsilon_f, \varepsilon_K, \Delta W$, de unde se desprinde concluzia că puterile P și R nu sunt constante ci au o gamă destul de largă de variație și, înainte de a calcula hidrograful cu ajutorul relațiilor (6.9) și (6.10) trebuie determinate puterile P și R de la caz la caz.

Încercând stabilirea unor curbe de variație ale puterilor P și R funcție de coeficientul de formă f , din rulări pe calculator s-a desprins concluzia că pentru același hidrograf de viitor și pentru o ancorecare valoare a coeficientului f se găsesc o infinitate de perechi de valori ale puterilor $P-R$, de unde a rezultat că de la 5 parametri ($Q_{max} p \%, W_p \%, T_p, T_{cr}, f$) nu definesc complet hidrograful de viitor. Pentru diferite perechi de puteri $P-R$ se pot

tabel nr. 6.1

NR. CRI.	RIUL . POSTUL	ELEMENTE DATE						ELEMENTE CALCULATE		ERORI	
		Qmax% (m ³ /s)	W1% (10 ⁶ m ³)	T _T (ore)	T _{cr} (ore)	f	W _{calc} (10 ⁶ m ³)	f _{calc}	ΔW (10 ⁶ m ³)	ε _W (%)	ε _f (%)
0	1	2	3	4	5	6	7	8	3	10	11
1	NIIMIS LUGOJ	1250	203	179	45	0,26	218,23200	0,27098	+9,22299	4,43688	4,22249
2	CĂRANGESEZ	520	81	166	36	0,26	83,31527	0,25811	+2,31528	2,85837	3,11868
3	NERA	520	74	164	28	0,24	81,19310	0,26427	+3,18311	9,63933	10,11260
4	CĂRAS VARADIA	320	73	210	48	0,302	65,09321	0,26907	-3,90678	10,89120	10,90420
5	GRADINA	105	10,5	87	19	0,32	8,82416	9,26333	-1,67584	15,96030	16,14810
6	SURDUCUL MIC	610	116	196	55	0,27	114,02100	0,25491	-1,97860	1,30568	1,88527
7	MUREŞ TIG. MUREŞ	1060	214	181	51	0,31	148,91000	0,273354	-25,06951	11,72400	11,27140
8	ARIES CÎMPENI	390	40	118	25	0,24	44,35490	0,26333	+4,35491	10,88720	11,55300
9	ARIES UAIAS DE ARIAS	510	276	176	36	0,24	86,30277	0,264008	+8,70278	11,21450	11,28280
10	TRINAVA MARF CODORHEI	300	30,2	127	25	0,22	36,74882	0,26647	+6,34887	23,02240	23,12220
11	GEORGIU GEORGIU	280	16	69	13	0,28	18,49440	0,26591	+2,49441	15,58000	15,61190
12	RIZ MARF PAUȘELE	460	42,5	107	20	0,24	45,07434	0,26567	+4,37435	10,76310	10,69320

calculă hidrografe de viitură care să respecte întreg complexul celor 5 parametrii de mai sus, având imagini diferențite însă (fig. nr. 6.3) cu repartizarea diferențială a volumelor corepunzătoare ramurii de creștere respectiv ramurii de descreștere a viiturii, în raport cu ordonata Q_{max} .

In consecință, se propune completarea complexului de parametrii ce definesc hidrograful de viitură cu următoarele (fig.nr.6.4) :

- un coeficient de formă γ_1 caracterizând ramura de creștere a hidrografului, definit prin relația :

$$\gamma_1 = \frac{W_1}{Q_{max} \cdot T_c \cdot 3600} \quad (6.14)$$

- un coeficient de formă γ_2 caracterizând ramura de descreștere a hidrografului, definit prin relația :

$$\gamma_2 = \frac{W_2}{Q_{max} \cdot T_d \cdot 3600} \quad (6.15)$$

- raportul $\alpha = \frac{\gamma_1}{\gamma_2}$ care caracterizează repartizarea volumelor undei de viitură față de ordonata debitului maxim.

Parametrii γ_1 și γ_2 se determină prin prelucrarea hidrografelor de viitură înregistrate în același mod cu determinarea coefficientu-

lui de formă γ . Acest lucru presupune determinarea în plus prin prelucrări doar a volumului W_1 caracterizând razura de creștere a hidrografului.

Pentru rezolvarea problemei propuse (determinarea hidrografului de viitură cu eroare minimă, sub 0,1 %), s-a trecut la reprezentarea unor curbe de variație ale coeficientului de formă γ funcție de puterile P și R , ca în fig.nr.6.5.

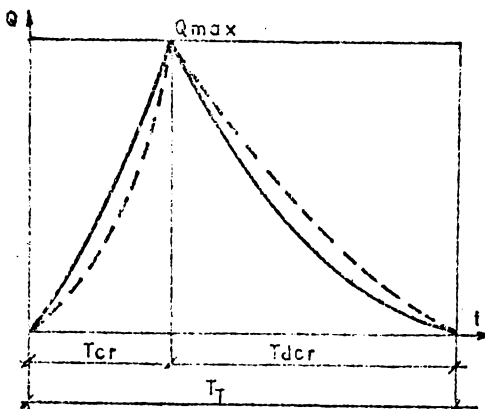


FIG. NR. 6.3

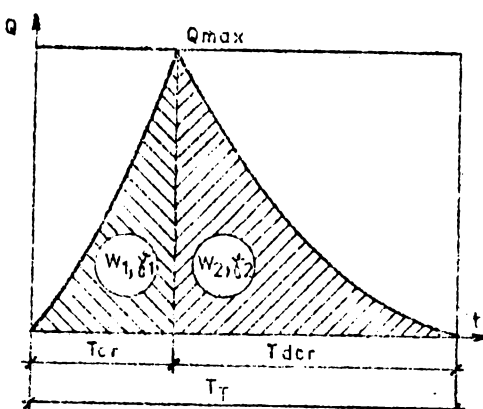
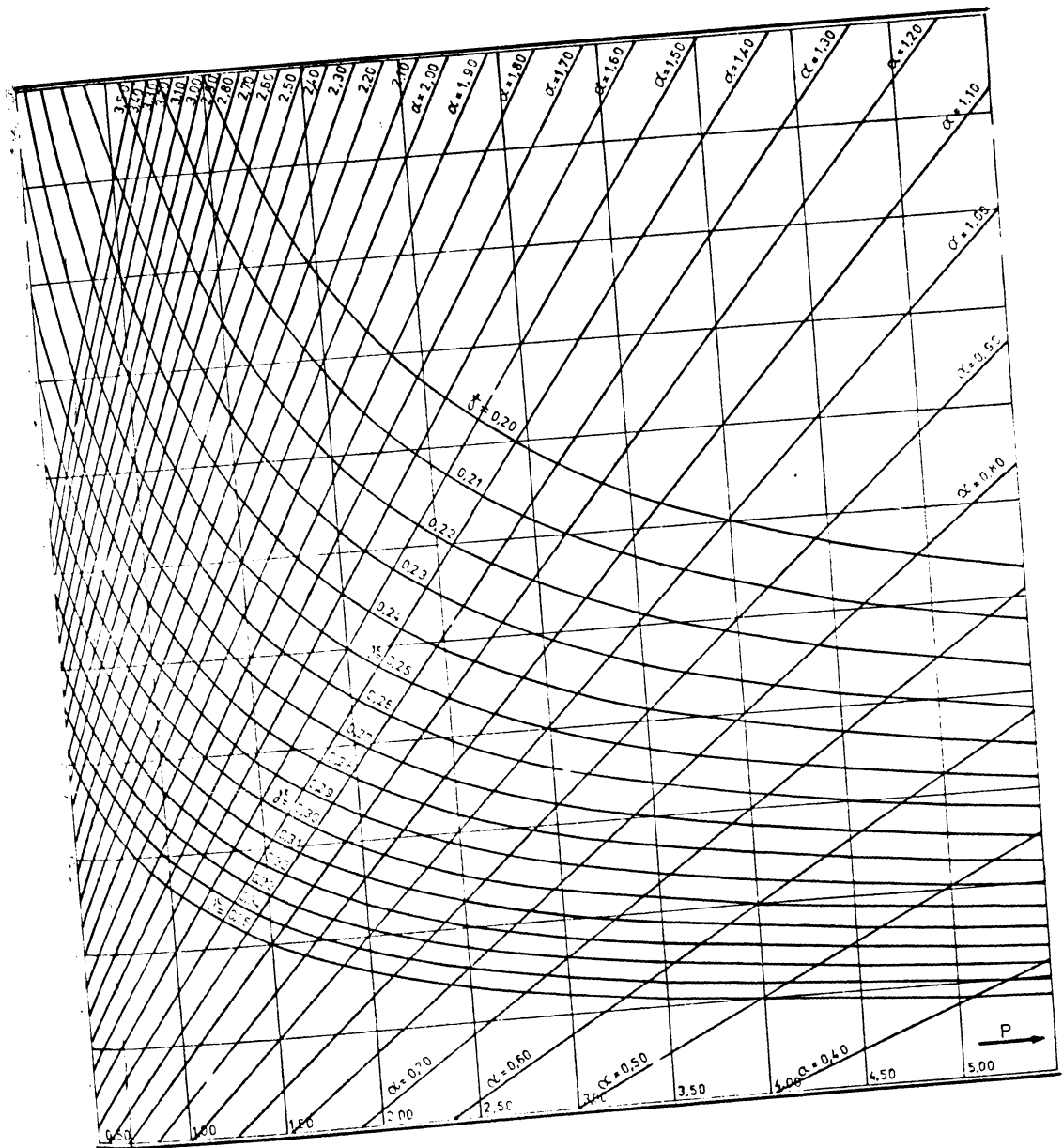


FIG. NR. 6.4



In acest scop s-a creat programul de calcul in limbaj BASIC pentru calculatorul a Mic cu codul BASIC 53.

In principiu, acest program permite calculul curbelor $\gamma = f(P, R)$ după următorul procedeu :

- se alege un hidrograf de viitoră carecare, prin parametrii caracteristici Q_{max}, W, T_p, T_{cr} - parametrii care constituie datele de intrare ale programului. S-a utilizat hidrograful de viitoră din secțiunea Secu pe Birzava, caracterizat prin $Q_{max} = 124 \text{ m}^3/\text{s}$, $W = 15 \cdot 10^6 \text{ m}^3$, $T_p = 112 \text{ ore}$, $T_{cr} = 23 \text{ ore}$;

- se prezumă domeniul de variație posibilă a puterilor P și R - s-a ajuns la limitarea domeniilor între $P = 0,5 - 6,0$, și $R = 1,00 - 6,5$, de asemenea domeniul de variație al coeficientului de formă γ - s-a ales domeniul $\gamma = 0,20 - 0,35$ (în /128/ tabelul 34 din 152 posturi hidrometrice studiate doar 2 valori ies din acest domeniu : rîul Iad, postul Bulz cu $\gamma = 0,18$ și rîul Glavacice, postul Vidale cu $\gamma = 0,37$) ;

- stabilindu-se un pas de calcul de 0,01 atât pentru puterea P cît și R se parcurge întregul domeniu al puterilor P și R , parcursind domeniul puterii P cu pasul 0,01 pentru fiecare valoare a lui R considerată la pas de 0,01. Pentru fiecare punct astfel definit, programul calculează hidrograful de viitoră, integrează volumele W, W_1, W_2 , calculează coeficienții de formă $\gamma, \gamma_1, \gamma_2$, coeficientul α și determină eroarea coeficientului de formă față de cel indicat ca dată ;

- alegind punctele pentru care rezultă $\delta\gamma < 0,1 \%$ și reprezentindu-se funcție de coordonatele lor P și R rezultă o curbă cădă variația coeficientului de formă la valoarea dată ;

- repetind operațiunile de mai sus pentru fiecare valoare a coeficientului de formă γ de la 0,20 la 0,35, a rezultat o familie de curbe pentru acest domeniu a lui γ . Aceste curbe sunt parabole de tipul :

$$R = \frac{a \cdot P + b}{P} \quad (6.17)$$

Stabilit pe baza programelor BASIC 54 și BASIC 54 A. Curbele de variație ale parametrilor a și b din relația (6.17) sunt redate în fig.nr.6.6 curbe valabile pentru hidrograful ales ca bază de calcul.

- Unind punctele de pe fiecare curbă corespunzînd valorilor alese pentru coeficientul γ , pentru care a rezultat aceeași valoare a coeficientului α graficul s-a completat cu o familie de drepte ce redau variația coeficientului α . Dreptele sunt concurente în punctul de coordonate $P = -1$, $R = -1$, și valoarea coefficientului α ce corespunde unei drepte este egală cu tangenta unghiului

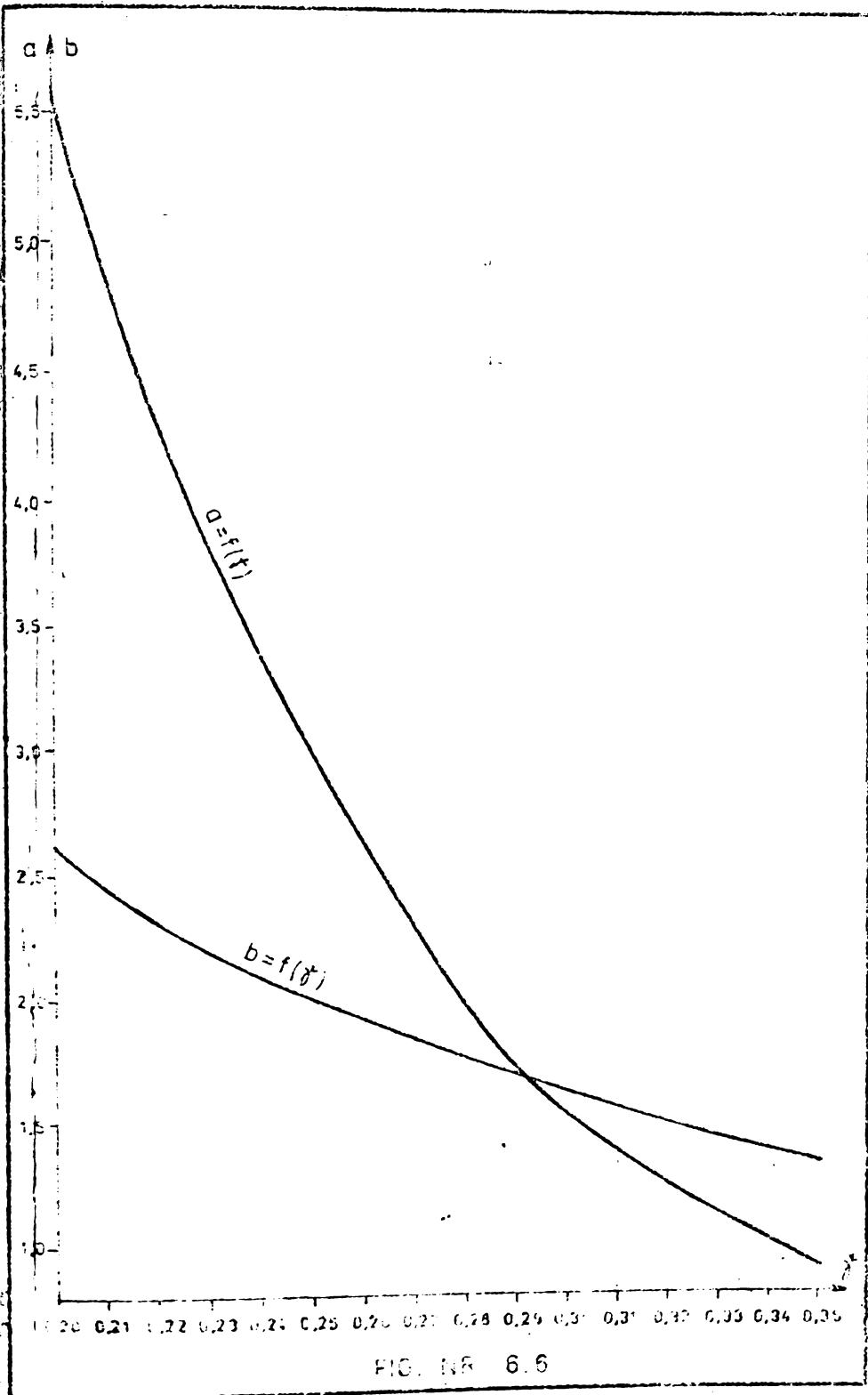


FIG. NR 6.6

închis de dreapta respectivă cu axa absciselor OP.

Practic, pentru calculul curbelor corespunzătoare variației coefficientului de formă nu s-a trecut la parcurgerea întregului domeniu menționat mai sus, deoarece acasă ar fi însemnat un imens conșum de ore-calculator.

La pasul de calcul acceptat de o,cl astăt pentru P că și pentru R, domeniul $P = 0,5 \div 6,0$; $R = 1,0 \div 6,5$ cuprinde $551 \times 551 = 303.601$ puncte care ar fi trebuit parcursă, ceea ce pentru a calcula o singură curbă, și. Deoarece s-au calculat 16 curbe, aceasta ar fi însemnat să se rulăze programul BASIC 55 de $303.601 \times 16 = 4857616$ ori. Rularea unui singur punct din acest caroaj cere calculatorului a Mio o durată de 54 secunde, ceea ce reprezintă pentru calculatorul întregului grafic o durată totală de 78834,238 ore.

Din această cauză s-a procedat în felul următor: pentru primele curbe calculate ($\gamma = 0,25$ și $\gamma = 0,30$) s-a restrâns domeniul graficului la $P = 1 \div 4,0$, $R = 2,0 \div 4,0$ și acest domeniu s-a parcursă cu un pas al caroiajului de o,1 acceptând o eroare admisă $E\gamma = 1\%$. După trăsarea aproximativă a acestor două curbe, ele au fost precizate parcurgind succesiv patrate mici la pas de o,01 și eroare admisă $E\gamma = 0,1\%$, patrate considerate succesiv de-a lungul slujii aproximative obținute anterior.

Curbale pentru $\gamma = 0,25 \div 0,29$ s-a calculat aplicând metoda calculării pe patrate mici.

Extinderea curbelor $\gamma = 0,25 \div 0,30$ pentru întregul grafic ($P = 0,5 \div 6$; $R = 1,0 \div 6,5$), precum și calculul celorlalte curbe corespunzătoare valorilor $\gamma = 0,20 \div 0,24$ și $\gamma = 0,31 \div 0,35$, s-a realizat prin determinarea punctelor de intersecție dintre aceste curbe cu liniile unei rețele de drepte orizontale corespunzătoare ordonatelor R, considerate din o,1 în o,1 în domeniul lui R.

În acest fel pentru cele cca.1200 puncte reprezentate s-au efectuat cca.6000 rulări ale programului BASIC 52.

6.4. Utilizarea graficului propus pentru calculul hidrografului de viitură

Pentru utilizarea corespunzătoare a graficului la calculul hidrografului de viitură se cere să se cunoască pe lîngă coi 5 parametrii menționați și hidrograful de viitură încă un parametru, și anume fie volumul corespunzător ramurii de creștere W_1 , fie cel corespunzător ramurii de decreștere W_2 . Deoarece volumul W_1 se poate determina cu mai multă precizie din integrarea debitelor măsurate în timpul viiturii, se recomandă determinarea acestuia.

Cunoscind aceste elemente, se determină :

$$\frac{W_1 + W - W_2}{2} \quad (6.18)$$

$$\beta = \frac{W}{Q_{\max} T_r \cdot 3600} ; \quad \beta_1 = \frac{W_1}{Q_{\max} T_r \cdot 3600} ; \quad \beta_2 = \frac{W_2}{Q_{\max} T_r \cdot 3600} \quad (6.19)$$

$$\text{și } \alpha = \frac{\beta_1}{\beta_2} \quad (6.20)$$

| Interpolind între curbele β între care se înscrise valoarea coeficientului de formă al hidrografului și dreptele α între care se înscrise α calculat, se determină punctul acestora de intersecție din grafic, rezultă coordonatele P și R ale acestuia.

In continuare hidrograful poate fi calculat cu ajutorul acestui program BASIC 56 cu care s-a efectuat verificarea constanțelor hidrografului pentru $P = 2$ și $R = 3$, cu înlocuirea valorilor P și R determinate din grafic în instrucțiunile DATA de la linia 800.

| Efectuind această verificare pentru același hidrograf ca în tabelul nr.6.1 s-au obținut rezultările din tabelul nr.6.2.

Analizând aceste rezultate, se observă o micșorare considerabilă a erorilor δF și $\delta \beta$ față de cele din tabelul nr.6.1, la valori cuprinse între 0,005 - 3,75 % față de 1,70 - 20,13 %.

| Înțelegând eroarea admisă de 0,1 % ca care să se calculeze curbele graficului, aceste erori sunt totuși foarte mari.

Prin micșorarea erorilor s-a creat programul BASIC 56 cu scopul de a se determina cu precizie mare punctul de intersecție dintre curba β și dreapta, și caracteristic hidrograful studiat (anexa nr.6.1).

Totuși în ideea măririi preciziei determinărilor, s-a luat seama de faptul că valorile coeficienților de formă indicate pentru viitoruri sunt valori rotunjite la 2 zecimale, deci în program se utilizează valoarea acestui coefficient calculată ca relație (6.3) pe baza celorlalți parametrii ai hidrografilui (W, Q_{\max}, T_r).

Programul BASIC 56 se bazează pe determinarea (cu eroare admisă $\delta \beta = 0,1\%$, $\delta \alpha = 0,1\%$) a intersecției curbei β cu dreapta α prin metoda pătratelor.

Prin urmare programul se introduce următoarele date, capete de instrucțiuni READ prevăzute la facea final programului :

- numărul de termeni al hidrografilui

(pe linia 3500 DATA)

$3,1 (s^3/s)$

- debitul maxim al viitorului (Q_{\max})

$1,1 (\text{cfs})$

- timpul total de desfășurare a viitorului (T_r)

$1,2 (\text{ore})$

- timpul de creștere (T_{cr})

$1,2 (\text{ore})$

(pe linia 3510 DATA)

Tabelle II. 2.

-97-

- 70 -

Pe baza acestor elemente se calculează timpul de descreștere
 $t_3 = T_1 - T_2$ și se afișează datele menționate mai sus

- pasul de timp acceptat pentru calcul (ΔT) T_4 (ore)
- pasul de calcul (de deplasare după direc-
ția axelor P și R) T_5
- eroarea admisă pentru aproximarea lui β E_1 (%)
- eroarea admisă pentru aproximarea lui α E_2 (%)
(pe linia 352o DATA)
- volumul total al undei (W_p) $W (10^6 m^3)$
- volumul corespunzător ranurii de creștere $W_1 (10^6 m^3)$
(pe linia 353o DATA)

Afînd elementele de mai sus, se calculează și se afișează va-
lorile pentru :

- volumul ranurii de descreștere $W_2 (10^6 m^3)$
- coeficientii de formă din (6.19) G, G_1, G_2
- coeficientul α din (6.20) A

In acest moment calculatorul se oprește și cere introducerea
la consolă a elementelor precizate în instrucțiunile 3lo-360.

Se menționează că eroile β și α de determinare a inter-
secției sunt calculate față de valorile G , respectiv A determinate
calculator, pe baza parametrilor hidrografului de viitură, intro-
duce cu date ale programului.

Cu ajutorul valorilor G și A (β și α) calculate și afișate
calculator, se determină din grafic, prin interpolație, intersecția
mutată și î se determină coordonatele P_i și R_i . Vom numi în conti-
nuare acest punct drept punct ipotetic de intersecție.

Pentru precizarea punctului de intersecție, ca eroile admise
 E_1 și E_2 , se delimită în jurul acestui punct ipotetic de in-
tersecție un patrat, ale cărui colțuri sunt definite prin coordona-
tele R_{MIN} , R_{MAX} , P_{MIN} , P_{MAX} (determinate față de axele de coor-
donate ale graficului). Patratul trebuie să indeplinească următoare-
le condiții :

$$\begin{aligned} P_{MIN} < P_i &< P_{MAX} \\ R_{MIN} < R_i &< R_{MAX} \end{aligned} \tag{6.21}$$

Să introducă în continuare coordonatele RMIN, RMAX, PMIN și PMAX de la consolă, ele constituind datele cerute de calculator, prin linile 310 - 330 și

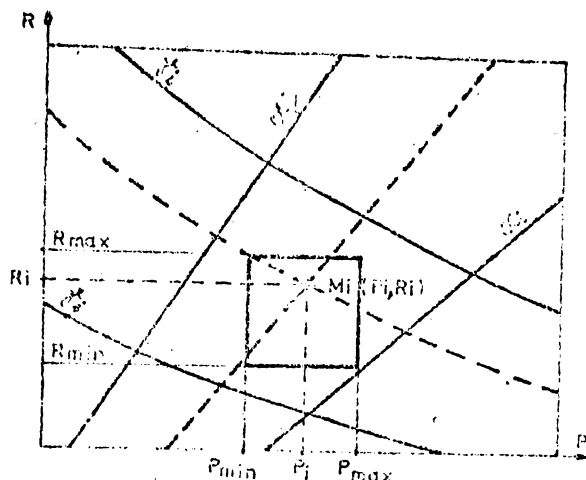


FIG. NR. §.7

Din acest moment calculatorul reia lucrul, parcurgind punctele de caroajă al patratului considerat, pornind din punctul de coordonate (PMIN, RMIN), parcurgind pe orizontală linia de coordonată RMIN cu pasul T 5, după care majorează ordonata cu pasul T 5 și felul acesta parcurge toate punctele caroajajului pînă la punctul de coordonate (PMAX, RMAX).

Pentru fiecare punct al caroajajului din patrat, programul în considerare coordonatele (P_j, R_j) și calculează :

- ordonatele Q_1 ale hidrografului

- prin integrarea debitelor ; volumul undei W_3 , volumele restiale W_4 și W_5 ;

- din relațiile (6.19) coeficientii de formă G_3, G_4, G_5

- din relația (6.20) valoarea coeficientului A_1

Comparind coeficientul de formă al hidrografului generat cu coeficientul de formă calculat inițial G , se determină eroarea acestuia :

$$ERR.GAMA = ABS(G-G_3) * 100/G \quad (6.2)$$

la fel se determină eroarea coeficientului α :

$$ERR.ALPHA = ABS(A-A_1) * 100/A \quad (6.2)$$

În momentul în care ambele erori scad sub valorile admise

$$ERR.GAMA < E_1 \quad \text{și} \quad (6.2)$$

$$ERR.ALPHA < E_2$$

calculatorul renunță la parcurgerea restului de puncte din care

considerind că valorile (P_j, R_j) care sunt coordonatele punctului care îndeplinește condițiile (6.25), permit calculul hidrografului cu o precizie suficient de bună, și trece la afișarea rezultatelor, după cum urmează :

- înainte de a începe afișarea rezultatelor, calculatorul cere introducerea de la consolă a unui pas de afișare N . Este necesar să se introducă acest element din următoarele considerențe : dacă se adoptă pentru calcul un pas de timp $T_4 = 1$ ore, numărul termenilor hidrografului va fi egal cu timpul total al viitorii T_p exprimat în ore :

$$N = T_p/T_4 \quad (6.26)$$

Dar T_p în mod obișnuit este cuprins între 60 - 300 ore, ceea ce înseamnă depășirea capacitatei de afișare a display-lui de 32 linii a 30 caractere. La $N > 32$, coordonatele afișate ale hidrografului vor defila pe display, reținându-se pentru copiere doar ultimele 30 de valori. Din această cauză s-a trecut la afișarea secvențială a coordonatelor hidrografului, cîte N l valori, afișarea intrerupîndu-se prin instrucțiunea INPUT și de la linia 720.

Pentru a nu obține mesaj de eroare, pasul de afișare N l trebuie să îndeplinească următoarele condiții : N l să fie întreg și divizor al lui N , de asemenea N l ≤ 30 . În caz că N este număr prim, desigur că trebuie ales N l = 1 și afișarea coordonatelor hidrografului se va realiza valoare cu valoare.

În continuare se afișează următoarele rezultate și calculul lui :

- volumul calculat al undei generate
- coeficienții de formă γ , γ_1 , γ_2
- coeficientul α
- puterile P și R pentru care s-a calculat hidrograful (punctul real de intersecție)
- erorile δ_f și δ_{α}

Nu s-a cerut calculul și afișarea erorii volumului, deoarece la $\delta_f \leq 0,1\%$, δ_W este sensibil egal cu δ_f .

De asemenea se realizează o afișare grafică calitativă a hidrografului de viitoră calculat, într-un dreptunghi desenat pe ecran încare la T_p corespund 100 unități grafice (U.G.) și la Q_{max} tot 100 U.G.

Deoarece pentru calculul hidrografului după metoda propusă mai sus, este necesar să se cunoască și volumul W_1 corespunzînd ramurii de creștere a hidrografului, pentru verificarea metodei s-a utilizat cele 12 hidrografe din tabel nr. 6.1 ale căror hidro-

grafe reprezentare s-au găsit în bibliografie./125/,/126/,/127/.
Prin utilizarea hidrografelor reprezentante,s-a determinat, dintr-o
față procentuală a volumelor, pentru razăra crescătoare și născătoare,
descrescătoare, și utilizând datele întăritate ale parametrilor hidrografelor,
s-a determinat volumele W_1 și W_2 .

Se menționează că, deoarece lucrările menționate ad fapt nu
sunt încă înaintate de viitorul din 1970, parametrii hidrografelor au
suferit modificări în urma actualizării lor, și ele diferă cu pa-
rametrii utilizati în prezent, și că sunt cuprinse în lucrarea /128/ utilizată de asemenea pentru elaborarea și verificarea met-
odei.

În urma verificărilor înreprinse prin rularea programului
RASIC 56 s-a constatat, că metoda nu dă în totdeauna rezultate. În
această jumătate din hidrografele luate în considerare la verificare
s-a constatat o desplasare în stînga jos, de-a lungul dreptei α a
punctului real de intersecție față de punctul ipotetic.

Cercetind cauzele care să fie la această situație, s-a consta-
tat că poziția carbelor ce corespund valorilor considerate ale coefi-
cientului de rază β , depinde și de alți parametrii în afara celor
lui luati în calcul, și anume, în primul rînd de zvelbețea hidrogra-
fului exprimată prin raportul :

$$\beta = \frac{Q_{\max}}{T_p} \quad (\frac{m^3/s}{ore}) \quad (6.27)$$

și de raportul timpilor caracteristici ai hidrografului :

$$\eta = \frac{T_p}{T_{cr}} \quad (6.28)$$

Carbelile β din grafic au fost calculate luindu-se în considera-
re hidrograful real de viitor din secțiunea secu de pe Râulava

$$\beta = -\frac{124}{112} \cong 1$$

Pentru punerea în evidență a influenței raportului β s-a calcu-
lat o nouă familie de curbe β pe baza unui hidrograf ipotetic cu
 $Q_{\max} = 1000 m^3/s$, $T_p = 100$ ore, $T_{cr} = 20$ ore, cu raportul $\beta = 10.4$.
Influență este pusă clar în evidență de reprezentarea acesteia
în fig.nr.6.5.a.Totodată se observă că familia de drepte co-
rrespondătoare variației coeficientului α nu este influențată de
raportul β . (anexa nr.63)

Considerind că într-o fază încă una sau două familii de curbe β
sunt și în vedere luările în considerare a efectului coeficientului
 η ar complica foarte mult graficul, s-a renunțat la aceasta și s-a
rezolvat problema determinării hidrografului prin intermediul pro-
gramului de calcul RASIC 56.

În acest program s-a introdus o modificare prin secerătă
prin care sunt prezentate două variante RASIC 56 A care realiză
unirea între limitele RASIC 56 ale noii variante RASIC 56 A care realiză

sează căutarea punctului real de intersecție, atunci cind se constată o deplasare a acestuia în stînga jos față de punctul ipotetic, prin deplasarea succesiivă a patratului circumscris punctului ipotetic.

Deplasarea pătratului se realizează ținind seama de următoarele (fig.nr.6.8).

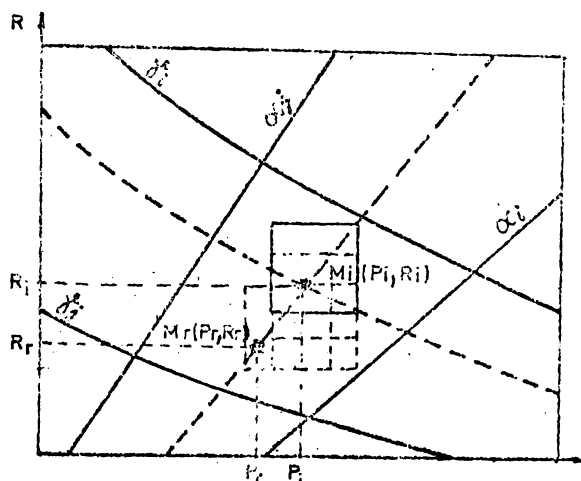


FIG. NR. 6.8

După stabilirea poziției punctului ipotetic de intersecție, și delimitarea pătratului, se trece la efectuarea calculelor menționate pentru primele două puncte ale caroiajului pătratului (de coordonate (R_{MIN}, P_{MIN}) și $(R_{MIN}, P_{MIN}+T5)$). Se compară erorile ε_f și ε_c calculate pentru aceste două puncte și:

- dacă se constată că ε_f crește, înseamnă că punctul real de intersecție se află în exteriorul pătratului sub limita R_{MIN} , în consecință se mută pătratul mai jos prin operațiunile:

$$R_{MIN} = R_{MIN} - 2 * T5$$

$$P_{MAX} = P_{MAX} - 2 * T5$$

- dacă ε_c crește, înseamnă că punctul real de intersecție se află la stînga în exteriorul pătratului, deci acesta se mută la stînga:

$$P_{MIN} = P_{MIN} + 2 * T5$$

$$P_{MAX} = P_{MAX} - 2 * T5$$

- Aceste operațiuni de mutare a pătratului se repetă pînă cind punctul real de intersecție pătrunde în interiorul pătratului, după care prin efectuarea calculelor pentru 1-2 puncte se obțin rezultatele dorite (tabel nr.6.3)

tabel nr. 6.3.

NR. CRT	RIUL POSTUL	ELEMENTE DATE			ELEMENTE CALCULATE			PUTERI			$\delta - \alpha$ CALC		ERORI					
		Q _{max} (m ³ /s)	W _{max} (10 ⁶ m ³)	T _{cr} (ore)	δ	W _{calc} (10 ⁶ m ³)	δ_1	δ_2	α	P	α_{calc}	δ	$\epsilon\alpha$ (%)					
0	1	2	3	4	5	6	7	8	9	10	11	12	13	14	15	16	17	18
1.	TISS CARJANESCU	520	81	36	0,26	21	0,9216	0,2604	0,6117	0,2465	0,2634	2,21	0,065	0,2603	1,2659	0,0267	0,0151	
2.	TISS LUGOZ	1250	269	173	45	0,26	45	2,6620	0,2593	0,2447	0,2563	0,2591	3,14	2,33	0,2585	0,9119	0,0342	0,034
3.	NEA MOLESKIS	520	74	164	28	0,24	15	0,4638	0,2410	0,1657	0,2278	0,3394	2,28	3,33	0,2410	1,3398	0,0187	0,0408
4.	CARAS VARADA	320	43	210	48	0,302	24	7,2362	0,3016	0,4358	0,2625	0,3026	1,505	2,81	0,3018	1,6551	0,0383	0,0368
5.	GLADNA SURDOUUL MIC	105	105	67	19	0,32	4	10,580	0,3186	0,5551	0,2532	0,3045	0,465	3,35	0,3193	2,2024	0,0940	0,092
6.	MUREŞ PORCESTRI	610	116	156	35	0,27	32,5	16,284	0,2695	0,4228	0,2361	0,3025	1,365	3,25	0,2685	1,2604	0,0156	0,0253
7.	MUREŞ TG. MUREŞ	1060	214	481	57	0,31	63	294,0140	0,3089	0,3237	0,3044	0,3033	2,09	2,285	0,3058	1,0535	0,0262	0,0202
8.	AICVS CIMDENI	350	40	98	25	0,24	2,5	4,51238	0,2415	0,2552	0,2613	0,2655	0,17	0,244	0,9666	0,0694	0,0154	
9.	ACIUS BALIA JE ARIES	510	246	126	36	0,24	19,4	33,645	0,2403	0,2268	0,2265	0,2352	3,465	0,2404	0,2363	0,4543	0,02310	
10.	FIRVARA MARE	500	50,2	127	25	0,22	12,5	17,754	0,2426	0,4626	0,4626	0,4611	1,760	0,7242	0,8514	0,2494	0,0235	
11.	OCRAHEI GIGIU	280	16	69	13	0,25	5,12	5,647	0,2407	0,3574	0,3574	0,3569	1,580	0,2300	0,2477	0,6117	0,0288	
12.	SICU MARE PRAESENCI	460	425	107	20	0,24	10,9	14,952	0,2407	0,3553	0,3553	0,3545	1,769	0,2305	0,2495	0,6145	0,0285	

C a p i t o l u l 7

COMPARAREA METODELOR DE GENERARE A HIDROGRAFELOR DE VIITURA IN PROIECTAREA UNEI ACUMULARI NEPERMANENTE

In acest capitol se propune verificarea metodei Sokolovski imbunătățită, cu puteri variabile, prin compararea ei cu metoda clasică a lui Sokolovski (cu $P = 2$ și $R = 3$), precum și cu metoda Cădariu.

O primă verificare în acest sens s-a efectuat în cap.6 prin determinarea erorilor de generare a hidrografelor (erori de volum, respectiv de coeficient de formă), rezultatele fiind trecute în tabelele nr.6.1,6.1.a,6.2 și 6.3.

In prezentul capitol compararea se face utilizând hidrografele de viitură generate prin cele trei metode la dimensionarea unei acumulări nepermanente, în diverse variante, cu mai multe obiective, și anume :

- ~ compararea metodelor de generare a hidrografelor de viitură;
- ~ determinarea implicațiilor utilizării unei valori greșite a coeficientului de formă, fie în ceea ce privește eficiența economică a lucrărilor proiectate, fie în siguranță în exploatare a unei acumulări nepermanente ;
- ~ stabilirea unor principii de dimensionare a acumularilor nepermanente.

Pentru realizarea obiectivelor propuse s-a întocmit un program de calcul pentru calculatorul n. Mic în limbaj BASIC (programul BASIC 62), care permite dimensionarea unei acumulări nepermanente în mai multe variante. Programul de calcul s-a aplicat datelor și condițiilor de funcționare ale acumulării nepermanente Cădăr-Duboz, acumulare existentă pe rîul Pogăniș, efectuându-se redimensionarea acesteia în variante, rezultatele calculelor permitând stabilirea unor concluzii în legătură cu obiectivele menționate.

7.1. Funcționarea acumulării Cădăr-Duboz /117/

Acumularea Cădăr-Duboz este realizată pe rîul Pogăniș prin bararea albiei cu un baraj de pămînt de tip omogen cu înălțimea $H = 10$ m și lungimea $L = 1590$ m.

Amenajarea este prevăzută cu lucrări de descurcarea a dubitelor în aval, și anume :

- a. Golirea de fund, realizată din tuburi circulare de beton

armat, cu diametrul interior $D = 2,4$ m (Anexa nr.7.1).

La intrarea în golirea de fund s-a realizat un turn de manevră (călugăr) cu două compartimente. În turn s-au executat toate nișele dispozitivelor de închidere pentru :

- stăvilarul de serviciu cu dimensiunile de $2,4 \times 2,4$ m (în compartimentul I) pentru închiderea accesului apelor la golirea de fund ;

- stăvilarul de rezervă, cu dimensiuni identice, dispus în compartimentul II, în fața intrării în conductă ;

- stăvilarul de acces și reglare a debitului pentru folosin (pentru etapa a II-a de dezvoltare) în compartimentul I, de dimensiuni de $1,2 \times 2$ m, situat sub nivelul minim de exploatare în etapa II-a (120,55 mdMB) ;

- două deversoare laterale și unul frontal în peretii compartimentului II, de $1,90$ m lungime fiecare, situate la cota 124,90 m, pentru a permite în etapa a II-a descărcarea viiturii cu probabilitatea de calcul de 2 %, și evacuarea ei prin golirea de fund. În etapa actuală, acest deversor din turn nu are influență asupra atenuării viiturii ;

- grătar grosier la intrarea în turn, de asemenea pe ferestrele deversor din peretii compartimentului II al turnului.

În etapa actuală, din dispozitivele de manevră și control menționate, nu sunt montate decât grătarele grosiere și palanul manuș cu care se ridică grătarul de la intrarea în turn.

Pentru a evita blocarea accidentală a golirii de fund în urmări manevre greșite, prin regulamentul de exploatare se interzice montarea în etapa actuală a stăvilelor ce controlează golirea de fund, precum și a sistemelor lor de manevră.

Pentru a limita debitul descărcat de golirea de fund la $Q_{av} = 17 \text{ m}^3/\text{s}$, s-a obțurat parțial golirea de fund, prin montarea unor grinzi de beton armat în nișa stăvilei de serviciu, la intrarea în tubulatură, astfel încât înălțimea liberă a golirii de fund este de $1,35$ m (cota 116,35 mdMB).

Accesul la turn se face de pe coronamentul barajului prin intermediul unei pasarele de acces în lungime de 23 m și o lățime utilă de $0,9$ m.

b. Descărcătorul de ape mari are în principal următoarele părți componente :

- canalul de acces ;

- deversorul propriu zis ;

- canalul aval deversor ;

- canal rapid ;
- dissipatorul de energie ;
- canalul de evacuare ;
- podul peste descărcător.
- Canalul de acces de secțiune trapezoidală este executat în cumbă cu o lățime la bază variabilă de la 30 m în dreptul deversorului pînă la 88 m la extremitatea amonte. Inclinația taluzurilor este de 1 : 1,5, iar viteză apei variază între 0,71 m/s la 1,9 m/s. Zona de acces este protejată cu perel din beton slab armat de 15 cm grosime, prevăzut cu rosturi de dilatare din lo în lo m și rosturi de tasare din 5 în 5 m.

- Deversorul este de tip trapezoidal (Kauluer) avînd lungimea crestei de 30 m, realizat din beton simplu marca B 200 cu rost de dilatare longitudinal la mijloc. Cota crestei deversorului în etapa actuală este de 125,40 mdMB, cu 15 cm deasupra nivelului maxim prevăzut pentru probabilitatea de calcul (2 %), iar în etapa a II-a de dezvoltare a amenajării se prevede supravnălătarea la cota 127,25 mdMB. În toate ipotezele deversorul funcționează nefuncționat.

- Canalul aval deversor este executat în debleu pe o lungime de 216,7 m cu o secțiune dubla trapezoidală. Canalul este dalat, ceea ce permite o viteză a curentului de apă de 2,2 m/s. Panta longitudinală a canalului este de 0,7 %, panta taluzurilor de 1:1,5, iar lățimea la fund de 15 m.

- Canalul rapid are secțiunea trapezoidală cu panta fundului de 10 %, lungimea 65 m, lățimea la bază 10 m și adîncimea 2,3 m, viteză maximă admisibilă $v = 6$ m/s. Este prevăzut cu redane dreptunghiulare dispuse transversal din 2 în 2 m.

- Dissipatorul de energie este prevăzut cu redane și prag dințat avînd o lungime de 32 m, grosimea radierului de 45 cm și taluzurile căptușite cu beton.

- Canalul de evacuare are o lungime de 344 m și realizează răcordarea dissipatorului de energie cu albia minoră a Pogânișului. Are lățimea la bază de 15 m, panta 0,5 %, panta taluzurilor 1:3 și adîncimea de 2,3 m.

- Podul peste descărcător este prevăzut cu trei deschideri, fiind calculat pentru clasa a II-a de încărcare.

In ceea ce privește funcționarea descărcătorilor, aceasta este diferită funcție de etapa de dezvoltare a amenajării, de aceea nea de ipoteza de lucru (calcul 2 %, verificare 0,5 %).

a. În etapa actuală s-a prevăzut funcționarea după cum urmează :

-108-

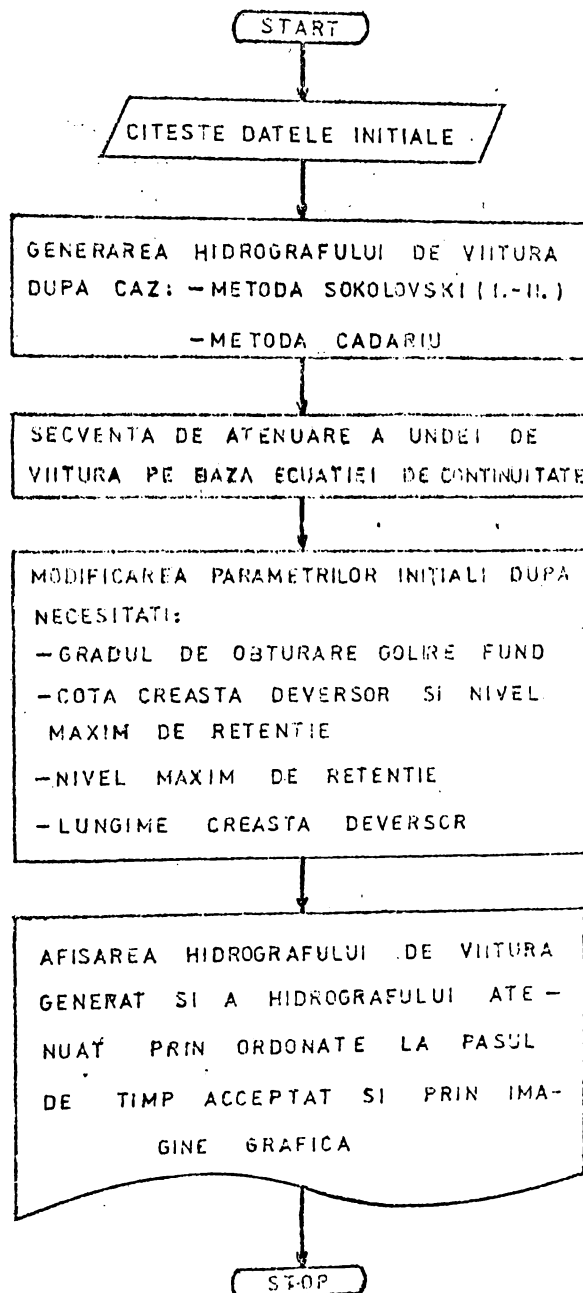


FIG. NR. 7.1

cordanță cu variantele de calcul acceptate. Secvențele de calcul sunt următoarele (conform schemei - bloc din fig.nr.7.1).

a. Secvența de introducere a datelor

Ca date de calcul se introduc următoarele :

N = numărul punctelor prin care se definesc curbele graficului, ce grad de umplere pentru golirea de fund funcționând cu față liberă

M = numărul de puncte prin care se definește curba orografică
 $S = f(H)$ a acumulării

Niveluri stabilite la predimensionare :

H_1 = cota prag golire de fund (mm)

H_2 = cota ax golire de fund (mm)

H_3 = cota crestei deversorului (mm)

H_4 = nivel maxim în lac (mm)

H_0 = nivel existent în lac în momentul apariției viiturii (mm)

T_4 = pasul de timp (ore) pentru calculul atenuării (Δt)

M_4 = coeficientul de debit al golirii de fund, rezultat dintr-un calcul al pierderilor de sarcină

$H(I)$ = nivelurile pentru care se indică suprafețele $F(I)$ ale oglin-
zii lacului la definirea curbei orografice a suprafețelor
 \dots ($I = 1, \dots, M$) (mm)

$F(I)$ = suprafețele corespunzătoare ale oglinzii lacului (conform
anexei nr.5.2) (m²)

N_3 = pas de afișare hidrografică, adică numărul de terenii ai hidro-
grafelor pe care se dorește să le afișeze monitorul între
două întreruperi ale afișării ($N_3 < 30$ și divizor al numără-
lui de termeni prin care se indică hidrograful)

Q_1 = debitul maxim al hidrografului de viitură (m³/s)

T_1 = timpul total de desfășurare a undei (ore)

T_2 = timpul de creștere (ore)

Caracteristici ai golirii de fund :

D_1 = diametrul golirii (m)

N_1 = coeficientul de rugozitate al golirii de fund

l_1 = panta longitudinală a golirii

D_2 = înălțimea liberă a golirii de fund ($D_2 = D_1$ dacă golirea nu este închisă parțial printr-o obturare fixă sau mobilă (sta-
vilă) (m)

$P(I)$ = gama gradelor de umplere (raportul dintre înălțimea apăi
diametrul golirii) pentru care se definesc curbele în grafi-
cul gradului de umplere

$E(I)$ = abscisele curbei modulului relativ de debit din graficul menționat.

$V(I)$ = abscisele curbei modulului relativ de viteză din graficul menționat

Q_2 = debitul maxim admis aval (m^3/s)

Elemente necesare generării hidrografului prin metoda Cadariu:

Q_0 = debitul de bază al hidrografului (m^3/s)

W_1 = volumul undei de viitură (m^3)

R_0 = eroarea admisă la generarea hidrografului

| Elemente ale devorsorului de ape mari :

M_3 = coeficient de debit deversor

B_2 = lungimea creștoi deversorului (m)

$G_2 = 9,80665 \text{ m/s}^2$ - accelerația gravitațională

| Pentru generarea hidrografului de viitură prin metoda Sokolovski :

P = puterea din ecuația de generare a ramurii crescătoare a hidrografului

R = puterea din ecuația de generare a ramurii descreșcătoare a hidrografului

Pentru a avea la dispoziție datele necesare calculului debitelor în faza de funcționare cu față liberă a golizii de fund, tot în cadrul acestei secvențe se calculează și următoarele elemente : secțiunea la plin A_1 , coeficientul Chezy C_1 , raza hidraulică R_1 , modulul de debit la plin K_1 și modulul de viteză la plin V_1 , de asemenea, prin apelarea unui subprogram se determină coeficientul global de debit al deversorului. Toate acestea calculate, se afișează pe monitor.

b. Secvența de generare a hidrografului de viitură

Pentru întocmirea acestei secvențe de calcul, s-au preluat secvențele corespunzătoare din programele prezentate în capitolul 6, și anume :

- pentru metoda Sokolovski din BASIC 55

- pentru metoda Cadariu din BASIC 61

c. Secvența de atenuare a undei de viitură

Secvența de atenuare a undei de viitură ia în considerare succesiv etapele atenuării undei, odată cu creșterea, apoi cu descreșterea nivelului de apă în lac.

- Într-o primă etapă s-a prevăzut o testare cu scopul de a elimina o posibilă introducere eronată a nivelului inițial în lac H_0 . Astfel, dacă se constată că acest nivel se află sub cota pragului

deversorului, se semnalează cercarea și execuția se oprește.

Calculul propriu zis al atenuării se realizează prin rezolvarea ecuației de continuitate scrisă în volumic (fig.nr.7.2) :

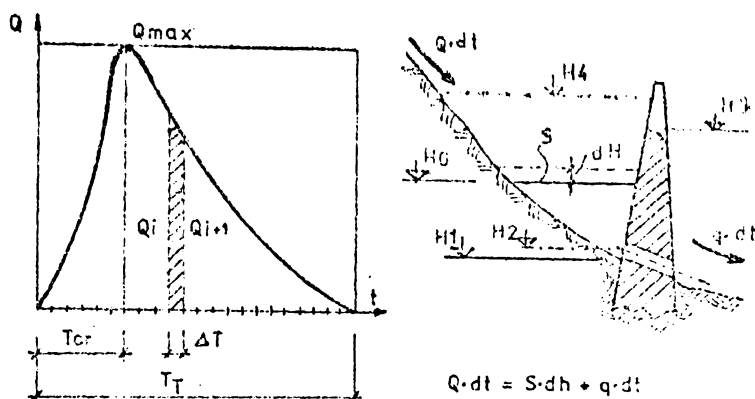


FIG. NR. 7.2

$$Q \cdot dt = S \cdot dz + q \cdot dt \quad (7.1)$$

în care :

Q – reprezintă debitul afuente, în acumulare, conform hidrografului de viitură (m^3/s) ;

S – suprafața la oglindă a acumulării conform curbei orografice (m^2) ;

q – debitele evacuate în aval prin golirea de fund sau prin golirea de fund și deversor (m^3/s) ;

dz – variația nivelului apei în acumulare în intervalul de timp dt .

Rezolvarea ecuației de continuitate se realizează diferențial funcție do etapa atenuării după cum urmează :

– În prima etapă descărcarea debitelor în aval se realizează doar prin golirea de fund funcționând cu față liberă.

În această etapă debitul descărcat în aval se calculează după metoda consacrată în hidraulică, utilizând curbele gradului de umplere /50/, /51/, (fig.nr.7.3).

În primul pas, pornind de la nivelul $z_1 = H_0$, se calculează gradul de umplere, notat în program sub forma :

$$R(I) = (Z(I) - H_1)/D_1 \quad (7.2)$$

cu care se intră în subprogramul de interpolare în curbele gradul de umplere și se determină modulul de debit corespunzător, notat în subprogram cu A_2 , iar în programul principal cu $U(I)$.

Avind determinat anterior (în cadrul secvenței de citire a atelor) modulul de debit la plin K_1 , debitul descărcat prin golirea de fund va fi :

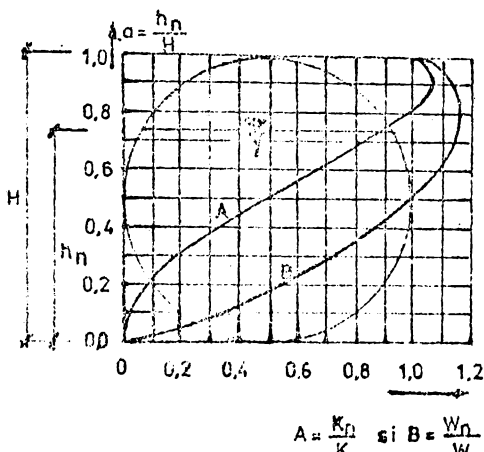


FIG. NR. 7.3

au cu notările din program :

$$Z(I+1) = Z(I) + B(I) - C(I) \quad (7.7)$$

clăcie cu care se obține nivelul apei în acumulare (mdM) după primul pas de timp și calculul se reia după același procedeu de la reația (7.2), pentru momentul $I+1$.

- In momentul în care nivelul $Z(I)$ depășește valoarea $(H_{I+1})_2$ - cota muchiei inferioare a organului de obturare (stavilă sau grinziile fixe în osazul acumulării Cadar-Duboz), el clarea de fund intră sub presiune, iar ecuația de continuitate se va rezolva în felul următor :

Debitul descărcat de golirea de fund se va calcula cu reația :

$$q_g = m_g \cdot A \sqrt{2g \cdot h_g^{1/2}} = M_g \cdot h_g^{1/2} \quad (7.8)$$

se :
 m_g - coeficient de debit al golirii de fund ținând seama de pierderile de sarcină;

A - secțiunea transversală udată;

h_g - sarcina golirii de fund de la nivelul apel la axa golirii.
Pentru a simplifica scrierea ecuației s-a notat :

$$M_g = m_g \cdot A \cdot \sqrt{2g} \quad (7.9)$$

care reprezintă coeficientul global de debit al golirii, iar cu no-
tarile programului relația este :

$$M_2 = M_4 * A_5 * \text{SQR}(2 * G_2) \quad (7.1c)$$

$$D(I) = U(I) * K_1 * \text{SQR}(X_1) \quad (7.5)$$

Transcriind în diferențe finite ecuația de continuitate (7.1) și exprimând variația de nivel :

$$z_{i+1} - z_i = \frac{1}{S} Q \Delta t - \frac{1}{S} q \Delta t \quad (7.4)$$

în care :

$$Q \Delta t = W_{i+1} = \frac{1}{2} (Q_i + Q_{i+1}) \quad (7.5)$$

reprezintă volumul afuent în acumulare în pasul de
temp Δt . Rezultă :

$$z_{i+1} = z_i + \frac{1}{S} W_{i+1} - \frac{1}{S} q \Delta t \quad (7.6)$$

Pentru a determina secțiunea de intrare în conductă de golirii, cu luarea în considerare a obârșirii, s-a procedat după cum urmează:

S-a calculat gradul de umplere corespunzător înălțimii libere D_2 :

$$R_2 = D_2/D_1 \quad (7.11)$$

prin interpolare în curbele graficului de grad de umplere (în subprogram) s-au determinat modulul de debit A_2 și modulul de viteză V_2 , iar secțiunea rezultă ca raportul dintre debit și viteză corespunzător acestei situații :

$$A_5 = (A_2 * K_1) / (A_3 * V_1) \quad (7.12)$$

ceea ce permite determinarea secțiunii de intrare, respectiv al coeficientului global de debit pentru orice grad de umplere și golirii de fund.

Ecuatia de continuitate devine :

$$Z_{i+1} - Z_i = \frac{1}{S} W_{i+1} - \frac{1}{S} M_g \cdot h_g^{1/2} \Delta t \quad (7.13)$$

sau cu notatiile din program :

$$Z(I+1) = Z(I) + B(I) - C(I) \quad (7.14)$$

în care s-a notat :

$$C(I) = M_2 * Y(I)^{(1/2)} * T_4 * 3600 / S(I) \quad (7.14)$$

cu $Y(I) = Z(I) - H_2$ notindu-se sarcina golirii de fund.

Calculul se conduce analog pentru următoarei pagi de timp Δt .

În a treia etapă a atenuării, cind se depășește cota crestei deversorului și intră în funcțiune și deversorul, ecuația de continuitate devine :

$$Q \cdot dt = S \cdot dh + q_d \cdot dt + q_d \cdot dt \quad (7.15)$$

în care intervine debitul descărcat de deversor, care se calculează cu formula deversorului :

$$q_d = m_d \cdot B \sqrt{2g} \cdot h_d^{3/2} = M_d \cdot h_d^{3/2} \quad (7.16)$$

în care :

m_d = coeficientul de debit al deversorului ;

B = lungimea crestei deversorului ;

h_d = sarcina deversorului ;

iar pentru simplificare s-a notat coeficientul global de debit al deversorului :

$$M_d = m_d \cdot B \cdot \sqrt{2g} \quad (7.17)$$

sau cu notatiile din program :

$$M_1 = M_3 * E_2 * SQR(2 * G2) \quad (7.18)$$

Se calculează (notatiile din program) :

debitul descărcat în aval :

$$D(I) = X(I)^{(3/2)} * M_1 + Y(I)^{(1/2)} * M_2 \quad (7.19)$$

în care $X(I) = Z(I) - H_3$ este sarcina deversorului ;

• termenul ce ține seama de volumul afuent :

$$B(I) = (Q(I) + Q(I+1)) * T4 * 3600 / (2 * S(I)) \quad (7.20)$$

• termenul ce ține seama de volumul defluent :

$$C(I) = (M1 * X(I)^{3/2} + M2 * Y(I)^{1/2}) * T4 * 3600 / S(I) \quad (7.21)$$

iar ecuația de continuitate va lua aceeași formă :

$$Z(I+1) = Z(I) + B(I) - C(I) \quad (7.22)$$

d. Secvența de modificare a parametrilor inițiali în vederea definitivării dimensiunii

Această secvență permite definitivarea unor elemente caracteristice ale descărcașilor (golire de fund, deversorul de ape mari) ca și gradul de obturare a golirii de fund, cota crestei deversorului, nivelul maxim în lac, cu respectarea condițiilor impuse pentru debitul maxim admis aval.

Secvența s-a întocmit în mai multe variante și anume :

I. Pentru ipoteza de calcul :

I.1.- modificarea gradului de obturare a golirii de fund - ținând seama de faptul că diametrul golirii de fund se alege în așa fel ca în orice caz să poată descărcata debitul maxim admis aval determinat pentru ipoteza de calcul, în primă instanță se alegă înălțimea liberă a golirii egală cu diametrul ei ($D_2 = D_1$), calculindu-se debitul maxim descărcat. Dacă acest debit depășește Q_{admis} (Q_2), se micorează valoarea D_2 cu un pas prestabiliat ΔD , și se reiau calculele de atenuare pînă în momentul în care se respectă condiția debitului maxim admis aval.

I.2.- modificarea cotei crestei deversorului H_3 și a nivelului maxim de retenție dacă se depășesc aceste cote în timpul atenuării, concomitent cu modificarea gradului de obturare a golirii de fund dacă se depășește debitul maxim admis aval.

Se menționează că de regulă acumulările nepermanente se dimensionează în așa fel, încît în ipoteza de calcul nivelul maxim de retenție să nu depășească cota crestei deversorului, deci deschiderea debitelor în aval nu produce doar prin golirea de fund. În cazul acumulării Cader-Duboz cota crestei deversorului este 125,40 mdM, iar nivelul maxim de retenție 125,25 mdM. Deversorul de ape mari intră în funcție doar în ipoteza de verificare.

În ambele variante se menționează că pornind de la un nivel inițial H_0 carecarea ($H_1 < H_0 < H_4$), înainte de a începe modificările de mai sus, se scade treptat, cu un pas ΔH acest nivel inițial, pînă la golirea completă a lacului. Dacă se obține atenuarea înainte de golirea completă a lacului, înseamnă că s-a pornit de la ele-

mentelor unei amenajări supradimensionate.

II. Ipoteza de verificare : în acestă ipoteză se menține gradul de obturare determinat în ipoteza de calcul, operind doar asupra cotelor.

III.1. În cazul în care se dorește menținerea elementelor determinate ale deversorului inclusiv sarcina la care trebuie să lucreze acesta, se majorează treptat cota crestei deversorului H3 și nivelul maxim de retenție H4 pînă la respectarea debitului maxim admis aval.

III.2. În cazul în care se dorește menținerea cotei crestei deversorului determinată în ipoteza de calcul, se majorează treptat nivelul maxim de retenție, și dacă se depășește debitul maxim admis aval, se reduce treptat lungimea crestei deversorului.

III.3. În cazul în care se dorește (sau se impune din condițiile de teren) menținerea cotei crestei deversorului și a nivelului maxim de retenție, se operează asupra lungimii crestei deversorului. Varianta nu s-a dezvoltat, deoarece în cazul acumulării Cedar-Duboz datorită debitului maxim foarte mare în ipoteza de verificare ($542 \text{ m}^3/\text{s}$ față de debitul de calcul de $200 \text{ m}^3/\text{s}$), s-ar ajunge la lungimi ale crestei deversorului de ordinul a 6 - 700 m.

e. Secvența de afișare a rezultatelor : se afișeză următoarele elemente :

- cotele finale determinate în urma rulării ;
- hidrograful de viitoră atenuat, prin ordonantele D(I) calculate la pasul de timp $\Delta t(T4)$;
- imaginea grafică calitativă a atenuării, în care pentru un interval de 250 ore se reproiectă pe monitor hidrograful efluvent, debitul maxim admis aval de acumulare și hidrograful atenuat.

f. Blocul de date, în care prin instrucțiunile DATA se prezintă valorile tuturor elementelor de calcul menționate la punctul 7.2. Programul de calcul scris în limbaj BASIC se prezintă în anexa 7.2.

7.3. Ipoteze de calcul și rezultate ale calculelor

Ipotezele de calcul adoptate se referă la verificări în situația actuală de acumulare nepermanentă Cedar-Duboz. Ipotezele de calcul în care s-a rulat programul BASIC 62 se referă la cele expuse la cap. 7.2 punctul d., introducindu-se o variantă în plus :

I. Ipoteza de calcul (2 %) :

- verificarea atenuării viitorii în acumularea Cedar-Duboz în situația actuală, fără modificări ale parametrilor amenajării (ver. I.O.)

- redimensionarea acumulării la gradul actual de obturare a golirii de fund, cu ridicarea din lo în lo cm a cotei creșterii deversorului (H3) și a nivelului maxim de retenție (H4)(var.I.1);
- redimensionarea acumulării cu modificarea gradului de obturare a golirii de fund și ridicarea din lo în lo cm a cotei creșterii deversorului H3 și a nivelului maxim de retenție H4 (var.I.2);

II. Ipoteza de verificare (0,5 %) :

- redimensionarea acumulării la gradul actual de obturare a golirii de fund (cota 116,35 mdMB) și ridicarea cotelor H3 și H4 (din lo în lo cm)(var.II.1) ;

- redimensionarea acumulării la datele ipotezei de calcul (grad de obturare modificat și cota creșterii deversor H3 determinată pentru 2 %) și modificarea nivelului maxim de retenție H4 și a lungimii creșterii deversorului (var.II.2).

Toate variantele menționate au fost rulate încercind hidrograful de viitoră în 3 variante :

- Sokolovski clasic ($P = 2$, $R=3$) ,

- Sokolovski îmbunătățit (P și R variabil)

- metoda Cadariu

Pentru a pune în evidență importanța generării corecte a viitorii la un coeficient de formă γ dat, precum și pentru a evidenția implicațiile economice, respectiv asupra siguranței lucrării proiectate rulările s-au realizat pentru o gamă largă de coeficienți de formă între $\gamma = 0,20$ și $\gamma = 0,32$.

Date de intrare în program :

$N = 21$ - curba graficului de umplere se definește prin 21 puncte (gradul de umplere considerat la pas de 0,05) ;

$M = 25$ - curbele orografice definite prin 25 puncte conform anexei nr.5.2.

Cote caracteristice :

$H1 = 115,00$ mdMB

$H2 = 116,20$ mdMB

$H3 = 125,40$ mdMB

$H4 = 125,25$ mdMB - ipoteza de calcul (2 %)

$125,90$ mdMB - ipoteza de verificare (0,5 %)

$H0 = 115,20$ mdMB

$T4 = 2$ ore

$M4 = 0,3$ - valoare adoptată de proiectant

$N3 = 25$ - afișarea hidrografelor cu cîte 25 termeni simultan,

dacăorece calculele se fac pentru 250 termeni

- 117 -

$Q_1 = 200 \text{ m}^3/\text{s}$ - ipoteza de calcul (2%)

$542 \text{ m}^3/\text{s}$ - ipoteza de verificare (0,5%)

$T_{11} = 231 \text{ ore}$

$T_{12} = 38 \text{ ore}$

$G = 0,26 (\gamma)$

$D_1 = 2,4 \text{ m}$

$N_1 = 0,014$ - conductă de beton

$I_1 = 0,002273$ - panta determinată din raportul diferenței de cota
la capetele conductei și lungimea acesteia

$D_2 = 1,35 \text{ m}$ - conductă obturată la cota 116,35 mdMB

$Q_2 = 17 \text{ m}^3/\text{s}$ - ipoteza de calcul (2%)

$71 \text{ m}^3/\text{s}$ - ipoteza de verificare (0,5%)

$Q_0 = 0$ - hidrograful separat de surgereala de bază

$H_3 = 0,4$ } valori adoptate de proiectant

$E_2 = 30 \text{ m}$ }

Analizând rezultatele rulărilor se desprind o serie de concluzii pe variantele studiate:

I. Ipoteza de calcul, Varianta I.0 - situația actuală. Rezultatele rulărilor sint trecute în tabelul nr.7.1 de unde se pot constata următoarele:

La coeficientul de formă de $\gamma = 0,26$ luat în considerare în proiectarea acumulării, prin toate cele trei variante de generare a hidrografului se ajunge la depășirea nivelului maxim de beton, indicat de proiect, fără a se ajunge la valoarea debitului maxim admis aval de $17 \text{ m}^3/\text{s}$, la gradul actual de obturare a golirii de fund (la cota 116,35 mdMB). De aici rezultă o subdimensionare a acumulării pentru parametrii viitorii de calcul pe doar o parte, pe altă parte o prudentă excesivă în ceea ce privește limitarea debitului descărcat aval, care ajunge la valori de cca. $11 \text{ m}^3/\text{s}$, mult sub Q_{\max} admis aval.

Comparind rezultatele obținute pentru coeficienți de formă $\gamma = 0,20$ și $0,22$ se constată o apropiere mare a acestora în cazul metodei Sokolovski, îmbunătățită și a metodei Cadariu.

Varianta I.1. - admitând o majorare a cotelor H_3 (creșteaza
deversorul și H_4 (nivelul maxim în lac) și păstrând obturarea la cota 116,35 mdMB se constată (tabelul nr.7.2, tabelul nr.7.3) că prin generarea hidrografului prin metoda Sokolovski (ambele variante), cota creștei deversorului ar trebui să se afle cu 40 cm deasupra cotei actuale (125,80 mdMB) iar la utilizarea metodei Cadariu cu 30 cm deasupra, la cota 125,70 mdMB.

Debitele descărcate în avul nu depășesc $11 \text{ m}^3/\text{s}$ din cauza obturării prea pronunțate a golirii de fund.

Varianta I.2. - Modificind gradul de obturare a golirii de fund și cotele crestei deversorului H3 respectiv nivelul maxim de retenție H4, rezultatele se apropie mai mult de datele proiectului de execuție, și apropiate în ceea ce privește cele 3 variante de generare a hidrografului de viitură: cota crestei deversorului la $H_3 = 125,65 \text{ mdMB}$ la metoda Sokolovski, ambele variante, și $H_3 = 125,60 \text{ mdMB}$ în cazul metodei Cadariu (tabelul nr.7.4, tabelul nr.7.5).

Inălțimea liberă a golirii de fund este însă mult mai mare $D_2 = 2,10 \text{ m}$ la metoda Sokolovski și $D_2 = 2,06 \text{ m}$ la metoda Cadariu, debitile maxime descărcate sensibil egale cu debitul maxim admis aval de $17 \text{ m}^3/\text{s}$ în ipoteza de calcul.

II. Ipoteza de verificare - ca o observație generală se observă o foarte pronunțată subdimensionare a acumulării și a deschiderilor pentru acestă ipoteză. Rulind programul de calcul BASIC 67 pentru datele acestei ipoteze, rezultă că pentru a respecta debitul maxim admis aval, la dimensiunile actuale ale evacuatorilor și la gradul actual de obturare a golirii de fund, cotele, respectiv înălțimea barajului ar trebui să fie cu 3-5 m deasupra cotelor actuale.

Varianta II.1. Față de cota crestei deversorului de $125,40 \text{ mdMB}$ și de nivelul maxim admis în lac de $125,90 \text{ mdMB}$, se obțin la coeficientul de formă $\gamma = 0,26$ valori de $129,90 \text{ mdMB}$ respectiv $130,40 \text{ mdMB}$ prin metoda de generare Sokolovski, și de $128,80 \text{ mdMB}$ respectiv $129,70 \text{ mdMB}$ prin metoda Cadariu.

Față de ipoteza de calcul unde s-a constatat o concordanță întărită a rezultatelor acestor metode, la ipoteza de verificare se constată diferențe semnificative, datorate volumelor mari ale viiturilor, precum și diferențelor de formă ale hidrografelor generate. Metoda Sokolovski oferă cote mai ridicate, acoperitoare, fără îndrăzneală a dimensionare cu siguranță sporită, dar și investiții suplimentare la realizarea amonajurilor (tabelul nr.7.6 și tabelul nr.7.7).

In varianta II.2 s-a menținut cota crestei deversorului la valoarea calculată în ipoteza de calcul, precum și gradul de obturare din ipoteza de calcul, trecând doar la majorarea nivelului maxim de retenție.

Pentru a nu depăși în acest fel debitul maxim admis aval, prin creșterea pronunțată a scorinii deversorului, se procedează la ridicarea treptată a lungimii frontului deversor. Rezultatele sunt cele din tabelul nr.7.8 și 7.9.

Comparind rezultatele din cele două variante analizate în ipoteza de verificare, aceste rezultate dă indicații în vederea definitivării elementelor descăr cătorilor, alegind o soluție intermediară, convenabilă atât în ceea ce privește cota creșterii deversorului, cât și lungimea acestuia și sarcina la care va lucra la nivel maxim de retenție.

7.4. Observații asupra necesității alegorii corecte a coeficientului de formă și la generarea hidrografului de viitură

S-a arătat în cap.6 că generând hidrograful de viitură după metoda clasică Sokolovski, cu ecuație de gradul 2 pe ramura creștere și ecuație de gradul 3 pe ramura descrescătură, se obțin hidrografe cu coeficient de formă în jurul valorii $\gamma = 0,26$, chiar dacă în realitate hidrograful este caracterizat prin alte valori ale lui γ .

Prin acceptarea acestor hidrografe, la valori reale mici ale coeficientului de formă ($\gamma = 0,20$) practic se supradimensionează acumulațiile, iar la valori mari ale acestora dimpotrivă, ele se sunt diminuează.

În primul caz prin supradimensionare se ciștigă în privința siguranței în funcționare, în schimb se fac investiții nejustificate, în cazul al doilea dimensiunile insuficiente ale lucrărilor pot pune în pericol toată investiția prin producerea de avarii și distrugeri de baraje—în general din materiale locale — acumulațiilor nepermanente, prin deversări peste coronament.

Pentru a pune în evidență aceste aspecte, programul BASIC 62 a fost rulat cu datele acumulației Cedar-Duboz, dar luând în considerare coeficienții de formă cuprinși între 0,20 și 0,32, rezultările fiind trecute în tabelele nr.7.1 – 7.9.

Analizând rezultatele din tabelele nr.7.2 și 7.3, se pot prezenta în evidență ambele aspecte.

Dacă în realitate hidrograful din secțiunea acumulației Cedar-Duboz ar fi caracterizat prin $\gamma = 0,20$, generând hidrograful metoda clasică Sokolovski, în ipoteza de calcul cota creșterii deversorului ar trebui să se ridice la 125,80 mMB, iar nivelul max. 125,65 mMB, adică o supradimensionare a barajului cu 40 cm. La profilul transversal al barajului (fig.nr.7.4) și la lungimea acestuia de 1590 m, supradimensionarea reprezintă un volum suplimentar de plutură de 52.660.000 m³ din volumul actual al barajului de 660.000 m³, cu investiția corespunzătoare.

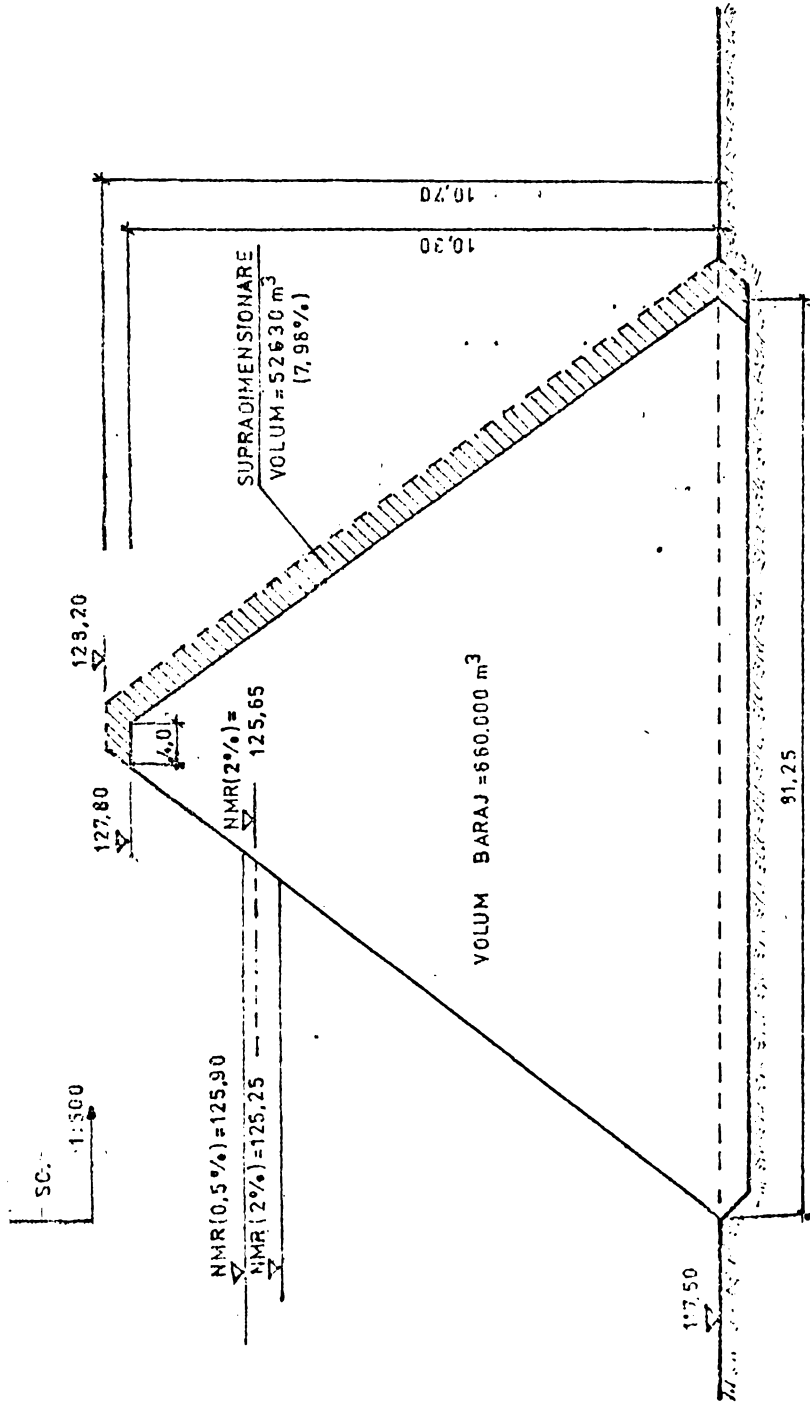


FIG. NR. 7.4

Dacă din punct de vedere hidrografic ar fi caracterizat în realitate prin coeficient de formă $\gamma = 0,32$, barajul ar fi dimensionat cu cota creștei deversorului la 125,80 mdMB, adică cu 1,00 m sub cota rezultată în tabelul nr.7.2 la $\gamma = 0,32$ de 126,80 mdMB.

Tinând seama că în etapa actuală coronamentul barajului nu este la 127,80 mdMB, creșterea nivelului în lac poate duce la avansarea barejului și la descărcarea în aval a unui volum de cca. 52 milioane m^3 de apă, sub forma unei unde de rupare, a cărei debit maxim să atingă 7-800 m^3/s sau să depășească chiar 1000 m^3/s , funcție de modul și proporția ruperii barajului.

Cu atât mai evidentă este subdimensionarea barajului și acumulării în ipoteza de verificare (tabelul nr.7.6 - 7.9), cind pentru coeficientul de formă de $\gamma = 0,26$ se obțin niveluri în lac între 129,30 mdMB și 130,35 mdMB în funcție de ipoteze, cote care toate depășesc cota actuală a coronamentului barajului, putind duce la aceleși efecte prin distrugerea barajului.

În concluzie, în urma verificărilor efectuate în acest capitol, se desprind următoarele :

- la proiectarea și exploatarea lucrărilor de apărare împotriva inundațiilor trebuie acordată o atenție maximă alegerii celei mai potrivite metode de generare a hidrografelor de viitoră ;

- nu se recomandă utilizarea metodei Sokolovski în varianta clasică, cu ecuație de gradul 2 pe ramură creșcătoare și ecuație de gradul 3 pe ramura descreșcătoare, din cauza implicațiilor fie economice, fie compromitînd siguranța în exploatare a lucrării, menționate mai sus ;

- pentru practica proiectării lucrărilor de apărare împotriva inundațiilor, se recomandă generarea hidrografului de viitoră fie prin metoda Sokolovski îmbunătățită, cu ecuații cu puteri variabile pe cele două ramuri, fie metoda Cadariu, ambele metode prezente în prezentă lucrare. Prin rezultatele obținute prin cele două metode, ele sunt comparabile, fiedare avînd avantaje și dezavantaje.

Principalul avantaj al metodei Cadariu este faptul că permite generarea hidrografului cu eroare oricît de mică, în schimb, ca un dezavantaj, rezolvarea practică a sistemului de ecuații pe care se bazează nu se poate realiza decît disponind de calculator și programul de rezolvare.

Față de acestea metoda Sokolovski îmbunătățită, utilizând ecuații de puteri variabile pe ramurile hidrografului, permite o rezolvare operativă a generării hidrografului, după stabilirea puterilor variabile cu ajutorul graficului prezentat în cap.6. Dezavantajele

tajul este eroarea de pînă la 5 % de care este afectat volumul hidrografului în acest caz. Apelind însă la un calculator simplu de tip personal și această eroare poate fi redusă la valori oricăr de mici.

- utilizînd o metodă adecvată de generare a hidrografului se asigură dimensiunarea lucrărilor de apărare, împotriva inundațiilor în condiții economice, fără să se afecteze în același timp siguranța în funcționare a acestora.

Tabelul nr. 7.1

VERIFICAREA SITUAȚIEI ACTUALE (VARIANTA 1.0)

Nr. crt.	γ	P	R	HO	H _{DEV}	H _{MAX}	Z _{MAX}	Q _{MAX} m ³ /s	T _{MAX} ore	CES.
S.Cb.	2	3	115,10	125,40	125,25	-	-	-	-	$Z_{MAX} > H_{DEV}$
SOKOLOVSKA - TATI	0,20	1,45	5,27	115,20	125,40	125,25	124,849	10,4703	122	-
CADARIU IMBUNTA	0,22	1,29	4,63	115,20	125,40	125,25	125,1505	10,6510	131	-
	0,24	1,155	4,10	115,10	125,40	125,25	-	-	-	$Z_{MAX} > H_{DEV}$
	0,26	33,312	115,20	125,40	125,25	124,7258	10,3353	138	-	-
	0,22	36,619	115,20	125,40	125,25	125,0521	10,5803	147	-	-
	0,24	39,981	115,20	125,40	125,25	125,3391	10,7626	155	-	-
	0,26	42,473	115,10	125,40	125,25	-	-	-	-	$Z_{MAX} > H_{DEV}$

VOLUM
 10^6 m^3

Tabelul nr.7.2
IPOTEZA DE CALCUL (2 %) (VARIANTA I.1)
LETOADA SOKOLOVSKI

nr. crt	γ	P	R	Σ_0	H _{dev}	H _{max}	Z _{max}	Q_{max}	T _{max}
1	-	2	3	115,10	125,80	125,65	125,7348	10.9817	160
2	0,20	5,42	5,27	115,20	125,40	125,25	124,8493	10,4703	122
3	0,22	1,29	4,63	115,20	125,40	125,25	125,1565	10,6510	131
4	0,24	1,155	4,10	115,00	125,50	125,35	125,4371	10,8202	138
5	0,26	1,03	3,63	115,10	125,80	125,65	125,7327	10,992	146
6	0,28	0,935	3,275	115,10	126,00	125,85	125,9213	11,1401	153
7	0,30	0,845	2,93	115,10	125,40	126,25	126,3517	11,5453	160
8.	0,32	0,773	2,75	115,10	126,80	126,65	126,7663	11,5616	164

PROIEȚIA DE CALCUL (2 %) VARIANȚA I.4
METODA CADARIU

Nr. crt	y	Volum underă	H_0	H_{dev}	H_{max}	Z_{tex}	Q_{max}	T_{max}
		$E6, m^3$	m^3	m^3	m^3	m^2/s	m^3	$^{\circ}C$
1	0,20	33,3119	115,20	125,40	125,25	124,7258	10.3953	138
2	0,22	36,6195	115,20	125,40	125,25	125,0321	10.5803	147
3	0,24	39,9805	115,20	125,40	125,25	125,3391	10.7626	155
4	0,26	43,4751	115,10	125,70	125,55	125,6399	10.9383	163
5	0,28	46,6045	115,10	125,90	125,75	125,8976	11.0857	169
6	0,30	50,1811	115,10	126,20	126,05	126,1837	11.2490	176
7	0,32	53,2232	115,10	126,50	126,35	126,4189	11.3802	181

IEOTEA DE CALCUL (2 %) - METODA SOKOLOVSKI
Tabelul nr. 7.4
VARIANTA 1.2

Nr. crt	γ	P	R	H_0	EPRAG LEV	E MAX LAC	OBTU- RARE	T _{MAX}	Z _{MAX}	Q _{MAX} AV	m^2/s
1	0,20	1,45	5,27	115,20	125,40	125,25	2,32	112	124,6044	16,9876	
2	0,22	1,29	4,63	115,20	125,40	125,25	2,24	120	124,9021	16,9561	
3	0,24	1,155	4,10	115,20	125,40	125,25	2,20	128	125,1894	16,9842	
4	0,26	1,03	3,63	115,10	125,65	125,50	2,1	136	125,4863	16,9817	
5	0,28	0,935	3,275	115,10	126,00	125,85	2,04	142	125,7527	16,9401	
6	0,30	0,845	2,93	115,10	126,30	126,15	2,00	150	126,1198	16,9568	
7	0,32	0,773	2,75	115,10	126,80	126,65	1,94	154	126,5527	16,8542	
8	-	2	3	115,10	125,55	125,50	2,1	148	125,4805	16,9764	

IPOTEZA DE CALCUL (2 %) - VARIANTA 1.2
Tabelul nr. 7.5
METODA CADARIU

Nr. crt	VOLUM TOTAL W1	E0	EIRAG LEV	HMAX LAC	OBTU- RARE	T MAX	ZMAX	QMAX AV	OBS.
	E 6 m ³	m ³ /M	m ³ /M	m ³ /M	m ³	m ³	m ³	m ³ /s	
1	0,20	33.3119	115,20	125,40	125,25	2,34	116	124,4525	16,9367
2	0,22	36.6195	115,20	125,40	125,25	2,28	125	124,7589	16,9416
3	0,24	39.9805	115,20	125,40	125,25	2,08	134	125,0576	16,9937
4	0,26	43.4731	115,10	125,60	125,45	2,06	142	125,3686	16,9374
5	0,28	46.6045	115,10	125,80	125,65	2,04	150	125,6356	16,8363
6	0,30	50.1811	115,10	126,10	125,95	2,02	158	125,925	16,9417
7	0,32	53.2232	115,10	126,40	126,25	2,00	165	126,1629	16,9935

IPOTEZA DE VERIFICARE (0,5 %) - VARIANTA II.1
METODA SCHOLOWSKI

Tabelul nr.7.6

Nr. crt.	P	R	H ₀	H _{frag} dev.	H _{max} 1ec	T _{max}	Z _{max}	Q _{max av}
o	z	z	z	z	z	ore	ore	z/s
1	0,20	1,45	5,27	115,10	127,50	128,60	102	69,9834
2	0,22	1,29	4,63	115,10	128,00	129,10	110	67,1127
3	0,24	1,155	4,10	115,10	128,50	129,60	116	67,3821
4	0,26	1,03	3,63	115,10	129,30	130,40	124	70,1522
5	0,28	0,935	3,275	115,10	130,50	131,60	130	68,4050
6	0,30	0,845	2,93	115,10	132,20	133,00	138	67,6886
7	0,32	0,775	2,675	115,10	134,20	135,90	142	67,5817
8	-	2	3	115,10	128,80	129,90	136	68,8399

TABLUA DE VERIFICARE (o,5 %) - VARIANTA II.1
METODA CADARIU

crt	$\frac{V}{W_1}$	VOLUM URDA m^3	E_o m^3	H_{prez} dev	H_{max} lac	T max ore	Z max ore	Q_{max} $\frac{m^3}{s}$
1	0,20	90,275	115,10	127,20	128,30	100	128,2596	70,2251
2	0,22	99,235	115,10	127,70	128,80	108	128,7347	68,5423
3	0,24	108,347	115,10	128,10	129,20	114	129,1545	70,3679
4	0,26	117,812	115,10	128,60	129,70	124	129,6255	68,2504
5	0,28	126,293	115,10	129,00	130,10	130	130,0344	69,1612
6	0,30	135,95	115,10	129,50	130,60	138	130,5462	70,3592
7	0,32	144,254	115,10	130,00	131,10	144	131,0402	70,0999

Tabelul nr.7.8
IPOTEZA DE VERIFICARE ($0,5\%$) VARIANTA II.2
METODA SOKOLOVSKI

Nr. crt.	δ	P	R	H ₀	H ₁	H _{MAX}	TIND. DEV.	Z _{MAX}	Q _{MAX}	-T _{MAX}	Q _{EF}
1	0,20	1,45	5,27	115,10	125,40	128,40	5,5	128,3225	69,0749	102	2,32
2	0,22	1,29	4,63	115,10	125,40	128,80	4,5	128,7259	69,3265	110	2,24
3	0,24	1,155	4,10	115,10	125,40	129,30	3,5	129,2153	65,0592	116	2,20
4	0,26	1,03	3,65	115,10	125,65	130,10	2,5	130,0300	70,3279	124	2,10
5	0,28	0,935	3,275	115,10	126,00	131,30	2,0	131,2533	63,9246	132	2,04
6	0,30	0,845	2,93	115,10	126,30	132,90	1,5	132,2811	66,8511	138	2,00
7	0,32	0,773	2,75	115,10	126,80	135,00	1,0	134,9473	63,8770	144	1,94
8	-	E	3	115,10	125,65	129,60	3,5	129,5167	68,4194	134	2,10

IPOTEZA DE VERIFICARE (0,5 %) VARIANTA II.2
METODA CADARIU

Nr crt	J.	W1	H0	H DEV	H MAX	LUNG DEV	Z MAX	Q EXP AV	T MAX	OBT	OBS
1	0,20	90,2750	115,10	125,40	126,10	6,5	128,0453	69,6333	100	2,34	
2	0,22	98,2390	115,10	125,40	128,50	5,0	128,4962	68,4174	108	2,28	
3	0,24	108,3470	115,10	125,40	129,00	4,0	128,9225	67,2128	116	2,08	
4	0,26	117,812	115,10	125,60	129,40	4,0	129,5165	70,5625	122	2,06	
5	0,28	126,298	115,10	125,80	129,80	3,5	129,7444	68,7438	132	2,04	
6	0,30	135,990	115,10	126,10	130,30	3,0	130,2908	65,9863	142	2,02	
7	0,32	144,234	115,10	126,40	130,80	3,0	130,7411	68,5986	146	2,00	

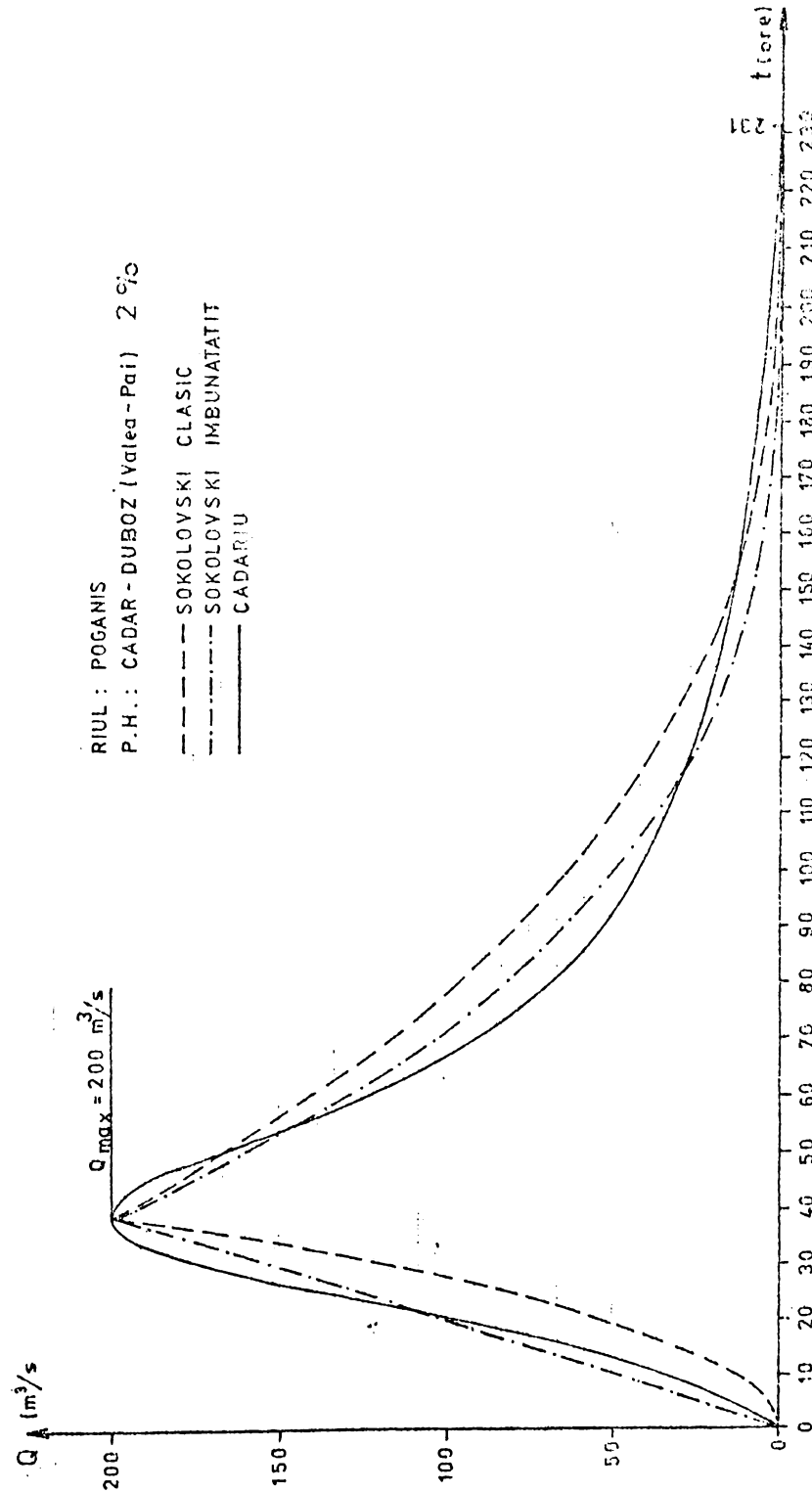


FIG. NR. 7.5.

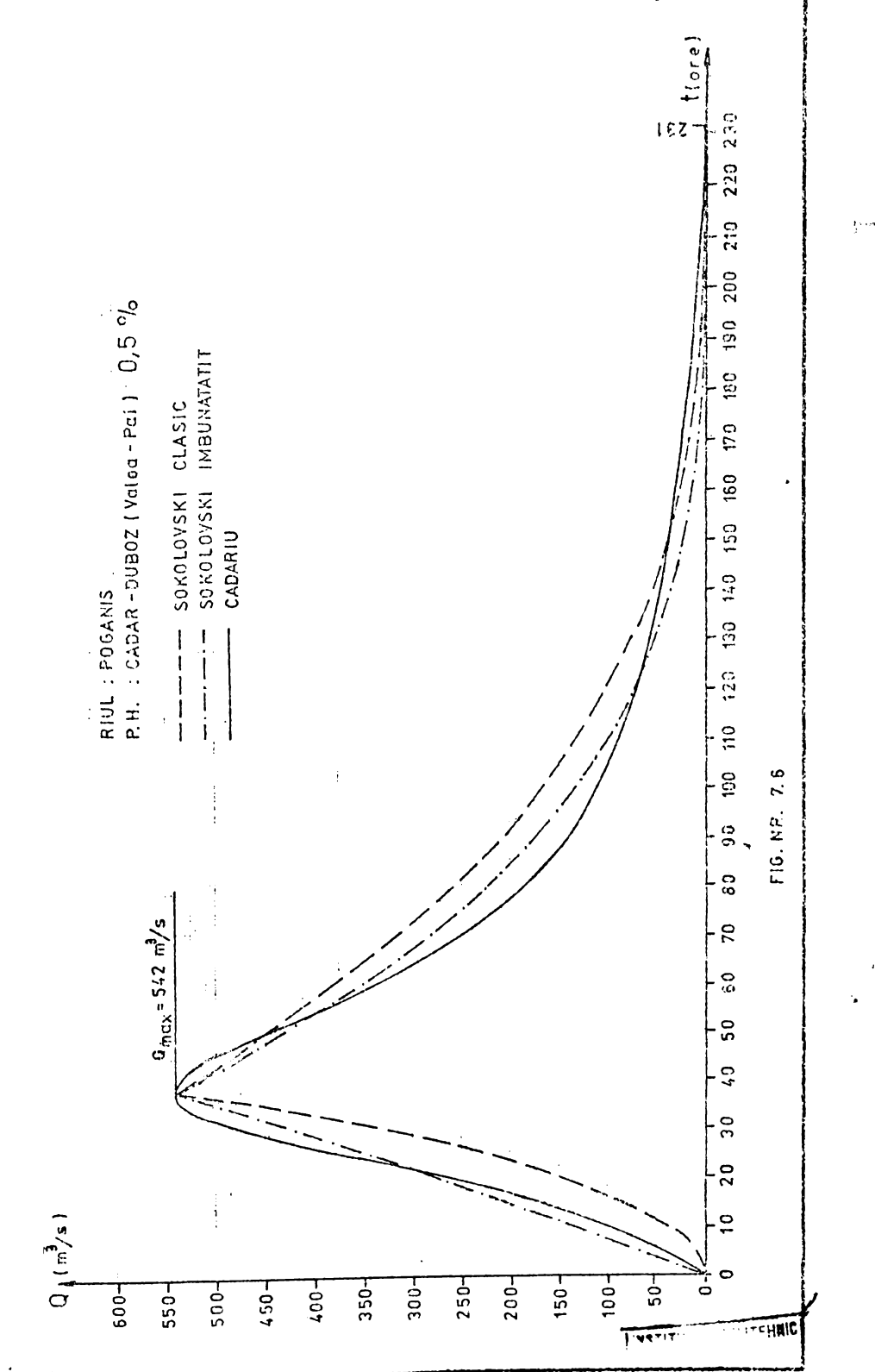


FIG. NR. 7.6

C a p i t o l u l 8

CONSIDERATII FINALE. CONTRIBUȚII

8.1. Utilitatea și aplicabilitatea rezultatelor tezei

Teza oferă soluții simple pentru rezolvarea unor probleme de prognoză a hidrografelor de viitură, de proiectare a noi lucrări de apărare împotriva inundațiilor (acumulații nepermanente), precum și pentru exploatarea acestora.

a. În domeniul proiectării lucrărilor :

- metodologie științifică, sigură de determinare a valorilor de diverse probabilități pentru ipoteza de calcul și de verificare, funcție de încredere la lucrării proiectate într-o clasă de importanță conform standardelor. Metoda se bazează pe descoperirile moderne ale teoriei probabilităților și statisticii matematice, și permite determinarea inclusiv a gradului de siguranță a rezultatelor. Apărând la prima vedere, metoda pare complicată, însă în realitate cere mai puține calcule și mai simple decât metodele standardizate în literatură. Operația care cere cel mai mare consum de timp este ordonarea eșalonului și a segmentelor de date;

- o nouă variantă îmbunătățită a metodei Sokolovski de genereare (prognozare) a hidrografului de viitură pe baza parametrilor acestuia, acceptând ecuații diferite pe cele două ramuri, însă cu parametri variabile, indicând un grafic cu ajutorul căruia se pot determina operativ aceste puteri.

Tinând seama că metoda clasică Sokolovski, cu ecuație de gradul 2 pe ramura crescătoare și ecuație de gradul 3 pe ramura descrescătoare, duce la erori ale volumului hidrografului generat de pînă la 30 %, utilizarea metodei propuse împreună cu graficul menționat, erorile se reduc la max. 5 %.

Dacă se utilizează și programul de calcul BASIC 56 furnizat de autor pentru determinarea coordonatelor punctului real de interscție din grafic, erorile de volum se pot reduce sub 0,1 %.

Combinind aceste două aspecte, se poate determina cu mare exactitate hidrograful de viitură de calcul, respectiv de verificare, necesare pentru proiectarea oricărei lucrări de apărare împotriva inundațiilor. În acest fel se pot proiecta lucrări noi în condiții economice și cu o siguranță sporită în exploatare, ceea ce să vorifice

pe exemplul acumulării existente Cedar-Duboz.

b. În exploatarea lucrărilor existente (și proiectate), utilitatea rezultatelor poate fi discutată sub două aspecte :

- transformarea acumulărilor nepermanente în acumulări permanente, în vederea satisfacerii cerințelor de apă ale folosințelor, ținând seama de hidrograful de calcul determinat pentru proiectare, precum și de timpul de anticipare a programei.

Acest aspect a fost ilustrat pe exemplul acumulării nepermanente Cedar-Duboz, punindu-se în evidență importanțele economice de investiții ce se pot realiza prin aplicarea modelului de optimizare indicat, precum și pe exemplul celorlalte acumulări studiate, cu determinarea volumelor ce pot fi transformate în tranșe permanente.

Tinând seama de marea număr de acumulări nepermanente amenajate în spațiul hidrografic Banat, și de volumele acumulabile în acestea, modelul de optimizare este foarte util în dezvoltarea alimentărilor cu apă potabilă și a irigațiilor în condiții economice, desigur cu respectarea regulamentelor de exploatare ce se cer întotdeauna, ținând seama de modelul de optimizare ;

- în exploatarea lucrărilor de apărare împotriva inundațiilor (în special a acumulărilor, atât a celor nepermanente cît și a celor permanente cu tranșă de protecție, dar și a altor lucrări ca îndiguiri, acumulări laterale etc.) rezultatele obținute oferă posibilități de prognoză operativă a hidrografelor de viitoră.

Metodele de prognoză hidrologică (vezi cap.2) oferă doar regulă doar debitul maxim prognozat (Q_{max}) deci un singur parametru al hidrografului, ceea ce pentru necesități practice în proiectare sau în exploatare este insuficient. În practică este nevoie de hidrograful de viitoră care va solicita lucrările proiectate respectiv existente.

Tinând seama de faptul că dintre parametrii caracteristici ai hidrografului majoritatea au valoare cvasiconstantă, ce depinde de parametrii morfometriici ai bazinului hidrografic (timpul total T_T , timpul de creștere T_{cr} , coeficientul de formă γ , raportul $\alpha = \gamma_1 / \gamma_2$), în continuare, după prognoza debitului maxim Q_{max} trebuie prognozat hidrograful de viitoră.

Având debitul maxim prognozat (și eventual pentru verificare și volumul W al undei) propunerile tezei permit prognozarea operativă a hidrografului, cu care se poate trece la proiectarea lucrărilor noi sau la verificarea celor existente și la stabilirea măsurilor de alarmare-avertizare sau a manevrelor necesare.

8.2. Caracterul de noutate al tezei. Contribuții

In lucrare se prezintă o serie de contribuții și rezultate din domeniul prognozei viiturilor și a hidraulicii acumulărilor de apărare împotriva inundațiilor cu aplicabilitate la proiectarea și exploatarea acestor lucrări, dintre care se menționează :

- propunerea de a se introduce categoria de "prognoze pe durată de existență" pentru determinarea valorilor de proiectare de diverse probabilități ;
- propunerea de a se utilizează o metodologie științifică modernă, încheiată și simplă pentru calcule probabilistice în hidrologie;
- verificarea metodologiei propuse pe baza măsurătorilor de niveluri și debite la o serie de posturi hidrometrice amplasate pe cursuri de apă din Banat ;
- model de optimizare pentru transformarea acumulărilor nepermanente în acumulări permanente, la care autorul și-a adus contribuția în cadrul colectivului care a elaborat modelul ;
- propunerea unei variante îmbunătățite a metodei Sokolovski de generare (prognozare) a hidrografelor de viitură ;
- definirea coeficienților de formă parțiali ai hidrografului de viitură : γ_1 pentru razura creșătoare, și γ_2 pe razura deosebită creșătoare precum și a raportului $\alpha = \gamma_1 / \gamma_2$;
- construirea graficului de determinare a puterilor variabilelor ale ecuațiilor metodei Sokolovski îmbunătățite (P și R funcție de γ și α) ;
- reducerea erorilor de generare a hidrografului sub 0,1 % prin utilizarea graficului menționat și a programului BASIC 56 ;
- realizarea unui program original în limbaj BASIC pentru rezolvarea metodei Cadariu de generare a hidrografului de viitură, metodă cu care s-au comparat propunerile tezei ;
- realizarea unui program în limbaj BASIC pentru dimensionarea acumulărilor nepermanente în diverse variante, pentru alegerea soluției celei mai convenabile ;
- verificarea pe baza programului menționat a condițiilor funcționării acumulării nepermanente existente Cedar-Duboz ;
- stabilirea implicațiilor economice ale transformării unei acumulări nepermanente în acumulări permanente, de asemenea a implicațiilor pe de o parte economice, pe de alta asupra siguranței construcțiilor a alegerii corecte a metodei de generare (prognozare) a hidrografului de viitură.

BIBLIOGRAFIE

1. Abonyi,I.,Zsuffa,I.:Polyamatos vizálláselőrejelzés - VizÜgyi Kötlemények Nr.3/1978 Budapest 1978
2. Alexandrescu,Gh.,Vrabie,C.: Analize timpilor de propagare a viiturilor pe rîurile mari.C.S.A.-I.S.C.H. Studii de hidrologie vol.XLIII - Bucureşti 1974
3. Apollov,V.A.,Kalinin,G.P.,Komariv,V.D.: Ghidrologicheskie prognozi - Ghidrometeoizdat 1960
4. Baciu-Nicolae,St.: Aplicarea metodei Muskingum de calcul al propagării undelor de viitură în cazul rîului Someş-C.S.A.-I.S.C.H.-Studii de hidrologie vol.XLIII, Bucureşti 1974.
5. Robee,B.B.,Robitaille,R.:Revizuirea utilizării repartiției Pearson de tip III și a repartiției logaritmice Pearson de tip III aplicate la înregistrările continue ale debitului anual al viiturilor - Water Resources Research nr.2 - apr.1977
6. Pognar,A.,Szilagyi,E.: Arvizi előrejelzés - VizÜgyi Kötlemények nr.4/1978 - Budapest
7. Borbath,A.: Posibilități de completare a sistemului de cote utilizate pentru avertizarea undelor de viitură - Hidrotehnica nr.3/1978
8. Epuşa,E.: Apărare de inundații prin lucrări de atenuare a viiturilor - Hidrotehnica nr.4/1974
9. Caceu,M.: Cu privire la calculul curbelor empirice de probabilitate a debitelor maxime.Hidrotehnica nr.1/1979
10. Caceu,M.: Metode practice aproximative pentru calculul propagării viiturilor.Hidrotehnica nr.12/1979
11. Cădariu,R.: Model analitic adimensional pentru forme viiturilor singulare.Hidrotehnica nr.6/1979
12. Castano,L.,s.a.: Alegerea funcțiilor repartiției pentru calcule hidrologice.Water Resources Research nr.5 oct.1977
13. Catana,C.,Stănescu,V.: Considerații asupra analizei statistice a elementelor hidrologice dependente.Hidrologia,Gospodărirea apelor,Meteorologia nr.5/1969
14. Chiriac,V.,Filotti,A.,Manoliu,I.A.: Prevînirea și combaterea inundațiilor.Ed.Ceres Bucureşti 1980

15. Constantinescu,N.,ș.a.: Hidrologie.Ed.Tehnică Bucureşti 1956
16. Crețu,Gh.: Hidrologie.vol.I-II.Litografie IPT 1972
17. Crețu,Gh.: Economia apelor.Ed.Didactică și Pedagogică Bucureşti 1976
18. Crețu,Gh.: Optimizarea sistemelor de gospodărire a apelor. Ed.Facultatea Timișoara
19. Crețu,Gh.,Preluscheck,E.: Economia apelor.Probleme.Litografie IPTVT 1980
20. Crețu,Gh.,Preluscheck,E.: Considerații privind prognoza apelor mari în bazinul superior al unor cursuri de apă. Sesiunea științifică jubiliară I.P.Cluj-Napoca oct.1978
21. Crețu,Gh.,Păcurariu,M.,Preluscheck,E.: Studiul scurgemii utilizând modele hidrologice.Buletinul științific și tehnic al IPTVT, tomul 25(39) fascicola 1 - ianuarie-iunie 1980
22. Crețu,Gh.,Macridin,Z.,Preluscheck,E.: Considerații privind scurgerea maximă în bazinul hidrografic Bega-Simpozion Național-Probleme actuale în gospodărirea apelor Timișoara noiembrie 1982
23. Crețu,Gh.,David,I.,Chivereanu,D.,Preluscheck,E.,Bălă,P.: Implementații ale transformării unei acumulări nepermanente într-o acumulare permanentă asupra oasității apelor. Simpozion Național-Probleme actuale ale protecției tratării și epurării apelor în R.S.R.,Timișoara 1981
24. Crețu,Gh.,Preluscheck,E.,Bian,I.: Model și program pentru exploatarea optimizată a acumulărilor permanente cu tranșe de protecție.Simpozion-15 ani de gospodărire a apelor în jud.Caraș-Severin Reșița oct.1986
25. Crușu,G.,Lupșa,C.: Programarea calculatorului Felix C 256 FORTRAN-COBOL.Ed.științifică București 1973
26. Csoma,T.,Szigyarto,Z.: A matematikai statisztika alkalmazásai a hidrológiában - VTTUKI Budapest 1975
27. Diaconu,C.: În problema metodologică calculului volumelor maxime C.S.A.-I.S.C.H. Studii de hidrologie - vol.XXVI - București 1969

- economia apelor nr.I - Bucureşti 1971
30. Dima,I.,Măra,L.,Cădariu,R.,Busilă,V.,Balaban,M.: Studiul actual al metodelor de calcul al lucrărilor de gospodărire a apelor pentru combaterea inundațiilor - ICPEA - Studii de economia apelor vol.III - Bucureşti 1974,
31. Dima,I.,Măra,L.,Busilă,V.: Orientări actuale în metodologia de determinare a gradului de protecție împotriva inundațiilor - Hidrotehnica nr.4/1974;
32. Dima,I.: Unele aspecte tehnice și economice privind utilizarea lacurilor de acumulare în scopul combaterei inundațiilor - Hidrotehnica nr.5/1975
33. Drobot,R.: Cîteva procedee pentru determinarea directă a parametrilor din relația Muskingum - Hidrotehnica nr.1/1984
34. Drobot,R.: Evaluarea parametrilor metodei Muskingum prin programare liniară - Hidrotehnica nr.9/1983
35. Dulcu,G.: Probabilitatea în gospodărirea apelor - Hidrotehnica nr.1/1982
36. Dumitrescu,V.: Pe marginea unor articole privind calculul debitelor maxime - Meteorologie și hidrologie nr.1/1956
37. Dumitrescu,V.: Metodă de prognoză a apelor mari de primăvară pe sectorul românesc al Dunării.C.S.A.-I.S.C.H.-Studii de hidrologie vol.XLIII - Bucureşti 1974
38. Dumitrescu,V.,Tuca,I.: Prognoza apelor mari de primăvară pe râurile de munte din România - C.S.A.-ISCH - Studii de hidrologie vol.XLIII - Bucureşti 1974
39. Dumitrescu,V.,Tuca,I.: Prognoza cu timp mare de anticipație a apelor mici de vară-toamnă pe Dunăre - C.S.A.-ISCH - Studii de hidrologie vol.XLIII - Bucureşti 1974
40. Dancea,I.: Programarea calculatoarelor numerice pentru rezolvarea problemelor cu caracter tehnic și de cercetare științifică - Ed.Dacia Cluj-Napoca 1973
41. Dorn,W.S.,Mc Crakeu,D.D.: Metode numerice cu programare în FORTRAN IV (traducere din engleză).Ed.Tehnică Bucureşti 1976
42. Filotti,A.: Atenuarea viiturilor - Hidrotehnics nr.2/1978
43. Fliegont,G.: Cu privire la unele probleme ale combaterei inundațiilor - Hidrotehnica nr.6/1975
44. Georgescu,H.Preoteasa,P.: Introducere în sistemul de operare SIRIS - Ed.Albatros Bucureşti 1978.
45. Godunov,S.K.,Reabenki,V.S.: Scheme de calcul cu diferențe finite - Ed.Tehnică Bucureşti 1977

- Hâncu, S., Stănescu, P., Platăgea, Gh.: Hidrologie agricolă. Ed. Ceres
- Bucureşti 1971
- Hrelescu, D., Preluschek, R.: Unele considerații privind gospodărirea apelor mari în sistemul de conaciușe Timiș-Bega - Simpozionul Național - Probleme actuale în gospodărirea apelor - Timișoara nov. 1982
- Iorgulescu, Fl.: În legătură cu unele probleme privind determinarea debitelor maxime necesare în proiectarea construcțiilor hidrotehnice - Simpozion Național - Probleme actuale în gospodărirea apelor Timișoara - noiembrie 1982
- Ivănescu, I. (coordonator) : Statistică. Ed. Didactică și Pedagogică - Bucureşti 1980
- Kiselev, P.G.: Indreptar pentru calcule hidraulice (traducere din limba rusă). Ed. Energetică de Stat 1955
- Kiselev, P.G.: Indreptar pentru calcule hidraulice. Ed. Tehnică 1983
- Lăzărescu, F., Stegăroiu, P.: Planul de amenajare complexă a bazinului hidrografic Mureș Superior - Hidrotehnica nr. 3/1978
- Lăzărescu, D.: Prognoza scurgerii în timpul viiturilor din ploi pe teritoriul R.S.R.-teză de doctorat (rezumat) - I.C. Bucureşti 1969
- Lăzărescu, D.: Probleme actuale ale prognozelor hidrologice în țara noastră. Hidrotehnica, Gospodărirea apelor, Meteorologia nr. 12/1974
- Lăzărescu, D.: Prognoza hidrografului viiturilor din ploi pe baza metodei izocronelor-C.S.A.-ISCH-Studii de hidrologie vol.XIII - Bucureşti 1965
- Lăzărescu, D.: Prognoza de scurtă durată a debitelor riurilor Someș, Mureș, Jiu, Olt și Siret pe baza rezervelor de apă din albiile rețelei hidrografice - C.S.A.-ISCH - Studii de hidrologie vol.XIII - Bucureşti 1965
- Lăzărescu, D.: Prognoza de scurtă durată a debitelor de apă pe baza rezervelor de apă din albi și arluxului de apă în rețeaua hidrografică (cu aplicare la p.h. Alba Iulia pe rîul Mureș). Lucrările Conferinței a III-a Internaționale de prognoze hidrologice a țărilor dinărene - Bucureşti 1965
- Lăzărescu, D.: Prognoza de lungă durată a debitelor în perioada de ape mici de vară - toamnă pe unele rîuri interioare din R.S.R.- C.S.A.-ISCH-Studii de hidrologie vol.XVI - Bucureşti 1969

9. Lăzărescu,D.: Prognoza de lungă durată a debitului minim de vară-toamnă pe Dunărea românească-Hidrotehnica,Gospodărirea apelor,Meteorologie nr.7/1969
10. Lăzărescu,D.: Prognoza scurgerii în timpul viiturilor din plci pe teritoriul României-C.N.A.-I.M.H.Studii de hidrologie vol.XXXIII - Bucureşti 1972.
11. Leconte,A.,Trandafir,R.: Clasic și actual în cálculul probabilităților - Ed.Dacia Cluj-Napoca 1974
12. Mărășter,St.: Elemente ale sistemului de operare SIRIS 3 - Ed. Facultatea Timișoara 1980
13. Mihoc,Gh.,Craiu,V.: Tratat de statistică matematică vol.I.Selecție și estimare - Ed.Academiei R.S.R.-Bucureşti 1976
14. Mihoc,Gh.,Urseanu,V.: Sondaje și estimare statistică-teorie și aplicării-Ed.Tehnică Bucureşti 1977
15. Mihoc,Gh.,Micu,M.: Teoria probabilităților și statistică matematică-Ed.Didactică și Pedagogică - Bucureşti 1980
16. Mihoc,Gh.,Craiu,V.: Tratat de statistică matematică vol.II. Verificarea ipotezelor statistică-Ed.Academiei R.S.R. Bucureşti 1977
17. Mustață,L.: În problema determinării debitelor maxime din plci pe râuri mici - Hidrotehnica nr.5/1974
18. Oghievski,A.V.: Ghidrologia susf-Selzozghiz. - 1951
19. Pavel,D.: Probleme ale atenuării viiturilor-Hidrotehnica nr.7/1975
20. Păcurariu,M.: Hidrologie-Litografie IPTVT 1975
21. Păcurariu,M.: Hidrologie și hidrogeologie-vol.1-II-Litografie IPTVT 1983-84
22. Păigota,I.,Buta,I.: Hidrologie-Ed.Didactică și Pedagogică Bucureşti 1975
23. Platagea,G.,Platagea,M.: Analiza legității unidimensionale de distribuție a probabilităților scurgerii pe râurile din România - Hidrotehnica nr.11/1978
24. Platagea,G.,Platagea,M.: Variația caracteristicilor statistică și stochastice ale scurgerii apei pe râurile din România - Hidrotehnica nr.8/1982
25. Podani,M.: În legătură cu problema atenuării viiturilor - Hidrotehnica nr.2/1975
26. Podani,M.: Optimizarea exploatării acumulařilor de apă prin folosirea sistemului informařional hidrometeorologic și dimensionarea deschiderilor de debite-Siguranță Național-Probleme actuale în gospodărirea apelor-Timișoara noiembrie 1982

77. Podani,M.: Optimizarea exploatarii lacurilor de acumulare prin folosirea timpului de anticipare a prognozelor hidrometeorologice - Hidrotehnica nr.4/1984
78. Poliakov,P.V.: Calcule hidrologice la proiectarea instalatiilor pe rouri cu bazine mici (traducere din l.rusă) - Ed.Tehnică 1951
79. Popov,E.G.: Prognoze hidrologice (traducere din l.rusă) - I.D.T. Bucureşti 1962
80. Preluschek,E.: O analiză a metodicii actuale de prelucrare statistică-probabilistică a datelor hidrometrice aplicate în țara noastră. Simpozionul "15 ani de gospodării a apelor în jud.Caraș-Severin" - Reșița 1986
81. Preluschek,E.: Metode moderne ale teoriei probabilităților și statisticii matematice cu aplicații în hidrologie - Idem-Reșița 1986
82. Preluschek,E.: Aplicații ale metodelor moderne de prelucrare statistică-probabilistică la datele hidrometrice și unor posturi din Banat, Idem, Reșița 1986
83. Preluschek,E.: Asupra unor metode de generare a hidrografului undei de viitoră-Simpozion Național de Informatică în Construcții Timișoara - mai 1988
84. Reischer,C., Sâmbăoan,A.: Culegere de probleme de teoria probabilităților și statistică matematică-Ed.Didactică și Pedagogică București 1972
85. Rovența,V.: Determinarea gradului de realizare a prognozelor meteorologice - Hidrotehnica nr.4/1982
86. Salamin,A.: Lefolyásvizsgálatok egységhullámmal-Vizügyi Közlemények nr.1/1978 Budapest
87. Servatius,G.: Viiturile și inundațiile Tîrnavei Mari la Mediaș mai-iunie 1970 (manuscris) - Mediaș 1970
88. Serban,P., Simota,M., Ungureanu,V.: Modele de prognoză a scurge-rii rîurilor-Simpozion Național-Probleme actuale al gospodării apelor Timișoara 1982
89. Serban,P.: Prognoza undelor de viitoră în condițiile amenajării complexe a apelor-teză de doctorat-I.Politehnic București
90. Serban,P.: Model conceptual pentru determinarea hidrografului unitar instantaneu - Hidrotehnica nr.2/1984
91. Serban,P.: Metode de calcul a cedării spei din stratul de zăpadă - Hidrotehnica nr.3/1984

92. Serban,P.: Selectarea modelelor conceptuale ale hidrografiei unitar instantaneu-Hidrotehnica nr.4/1984
93. Serban,P.: Metode matematice pentru prognoza undelor de viitură în bazin hidrografice amenajate hidrotehnice - CNA-IMH-Studii de hidrologie-vol.51-Bucureşti 1984
94. Starosolszky,C., Muskalay,L., Börzsönyi,A.: Vízhasználatról-Vituki Budapest 1971
95. Stănescu,V., Serban,P.: Modele matematice în hidrologie și probleme ale testăriilor - CNA-IMH - Studii de hidrologie - vol.XLII - Bucureşti 1974
96. Stănescu,V.A.: Cu privire la concepția sistemelor informative de prognoză și avertizare a viiturilor - Hidrotehnica nr.8/1979
97. Stănescu,V.A.: Modele matematice în hidrologie (Probleme de concepție sistemică) CNA-IMH - Bucureşti 1985
98. Stănuță,A., Bogaș,V.: Influența amenajării hidroenergetice Bistra-Poiana Mărului-Huieni-Poiana Rusă asupra gospodăririi debitului râului Timiș-Simpozion Național-Probleme actuale în gospodărirea apelor Timișoara noiembrie 1982
99. Stegărciu,P., Popescu,P.: Unele aspecte privind exploatarea lacurilor de acumulare pentru atenuarea debitelor maxime - Hidrotehnica nr.2/1980
100. Stegărciu,P., Dima,I.: Ressurse și rezerve de apă (în gospodărirea apelor) - Hidrotehnica nr.5/1982
101. Teodorescu,A.: Note asupra problemelor de combatere a inundațiilor - Hidrotehnica nr.6/1975
102. Todoran,I.: Tratarea matematică a datelor experimentale. Funcții empirice - Ed. Academiei R.S.R. Bucureşti 1976
103. Tuca,I.: Prognoza de lungă durată a apelor mici de iarnă în bazinul râului Mureș - CNA-IMH-Studii de hidrologie vol.XLIII-Bucureşti 1974
104. Ujvári,I.: Geografia apelor României. Ed. Științifică Bucureşti 1972
105. Van Te Chow : Handbook of applied Hydrology - Mc Graw Hill Book Company - New York, San Francisco, Toronto, London 1964
106. Vladimirescu,I.: Hidrologie-Ed.Didactică și Pedagogică București 1980
107. Vladimirescu,I.: Bazele hidrologiei tehnice. Ed.Tehnică București 1984

108. Voinea, B.: Metodă de calcul simplificat al propagării undei de viitură pe albii de riu-Hidrotehnica nr. 3/1954
109. x x x Instrucțiuni tehnice pentru calculul debitelor maxime de apă I-1-63-C.S.A. București 1963
110. x x x Antuproiectul de revizuire "Instrucțiuni tehnice pentru calculul debitelor maxime de apă I-1-63" C.N.A.; I.M.H - București 1972
111. x x x STAS 4068-62 - Construcții hidrotehnice.Calculul debitelor maxime -
112. x x x SNIP P-I-7-65.Debite maxime de calcul la proiectarea construcțiilor hidrotehnice pe râuri.Norme de proiectare - Moskova 1966 -
113. x x x Indrumar metodologic privind elaborarea prognozei pe râurile interne ale R.S.R. cu anticipare de 6-12-2 și 48 ore.(metoda valorilor corespondente) ID-35-27-C.S.A.. București 1967 (sub redactarea D.Lăzărescu și M.Stan) -
114. x x x Indrumar de prognozare de scurtă durată a hidrografului viiturilor din ploi prin metoda izocronelor ID-46-69-CSA București 1969 (sub redactarea D.Lăzărescu și M.Stan)
115. x x x Planul de amenajare a b.h.Mureș-Superior Tema I - Modele simplificate de studiu al gospodăririi apelor mari. Metoda Muskingum CNA-ICPGA București 1973
116. x x x Idem.Tema II - Modele de calcul privind propagarea undelor de viitură prin integrarea sistemului de ecuații Saint-Venant.Elaborarea programelor de calcul pe un tronson de albă unidimensional - CNA-ICPGA București 1973
117. x x x Regulament de exploatare pentru acumularea Cedar-Duboz DAMB - FZ Timișoara 1980
118. x x x Modele simplificate de studiu al apelor mari.Modele simplificate aplicate la b.h.Tîrnava Mare.Comparație cu metoda Saint-Venant-CNA-ICPGA-Secția Economia apelor București-februarie 1974
119. x x x Studiul de fundaționare hidrometeorologică a sistemului informațional de avertizare și prognoză a viiturilor în bazinul Ialomița - CNA-IMH - Laboratorul de cercetare metodică hidrometrică și fond hidrologic București 1974
120. x x x Tehnica de fundamentare a deciziilor în activitățile de

- dispecerat pentru gospodărirea apelor în b.h. Argeș și Ialomița-Buzău. Analiza de sistem privind fundamentarea deciziilor în activitatea de dispecerat pentru gospodărirea apelor în b.h. Argeș și Ialomița-Buzău CNA-ICPGA - decembrie 1982
121. x x x Schema hidrotehnică-cadru a b.h. Mureș-CNA-ICPGA-București-iunie 1976 (redactare pentru difuzare)
122. x x x Schema-cadru de amenajare hidrotehnică a b.h. Mureș... (actualizare) etapa I - CNA-ICPGA-București - iunie 1980
123. x x x Studiul de fundamentare hidrometeorologică a sistemului informațional de avertizare și prognoză a viitorilor în spațiul hidrografic Banat - CNA-ICPGA-București - decembrie 1980
124. x x x Studiu privind implementarea în SIA a sistemului informațional din meteorologie, hidrologie de suprafață și subterană CNA-ICPGA-București 1976
125. x x x Bazinul hidrografic al râului Mureș. Monografie hidrologică-CSA-ISCH-Studii de hidrologie vol.VI București 1963
126. x x x Monografie hidrologică a rîurilor din Banat-CSA-ISCH-Studii de hidrologie vol.IX - București 1964
127. x x x Atlasul cadastrului apelor din R.S.R. vol.III. Resursele de apă - CNA-IMH-București 1972
128. x x x Rîurile României. Monografie hidrologică-CNA-IMI București 1971
129. Catedra CHIF : Imbunătățirea metodologiei de obținere din date primare hidro-meteo a valorilor de dimensionare. Perfectionarea tehnicilor de calcul și extrapolare pentru stabilirea valorilor de diverse asigurări. Contract nr.6224/81 Beneficiar : ICH București
- Faza I - 1981
- Faza II - 1982
- Faza III - 1983
130. Catedra CHIF : Studiu de expertizare a acumulării nepermanente cu posibilitatea transformării în acumulare permanentă - Contract nr.182/1984 . Beneficiar DAMD-FZ Timișoara
131. Catedra CHIF : Studiu de optimizare privind stabilirea undoi de viitură de calcul pentru AHE Someș, zona Dej-Contract nr.186/1986, Beneficiar : I.E.Cluj-Napoca, proiectant general ISPH București

- 143 -

152. Catedra CRIF : Studiu de gospodărire a apelor pentru sprijinirea
împărtijirii jumătăților a zonelor Oradea,Contract
nr.142/1985 Beneficiar : O.G.A. Rihor
153. Catedra CRIF : Studiu de gospodărire a apelor mari pe canalele
Bega avul Topolovăț.Contract nr.219/1986.Benefi-
ciar : DAMB-FZ Timișoara

ANEXE

ANEXA NR. 5.1 - SCHEMA LOGICA PROGRAM
FORTRAN

ANEXA NR. 5.2 - HIDROGRAFUL DE VIITURA CADAR-
DUBOZ. CURBE DE CAPACITATE
(PLANSA)

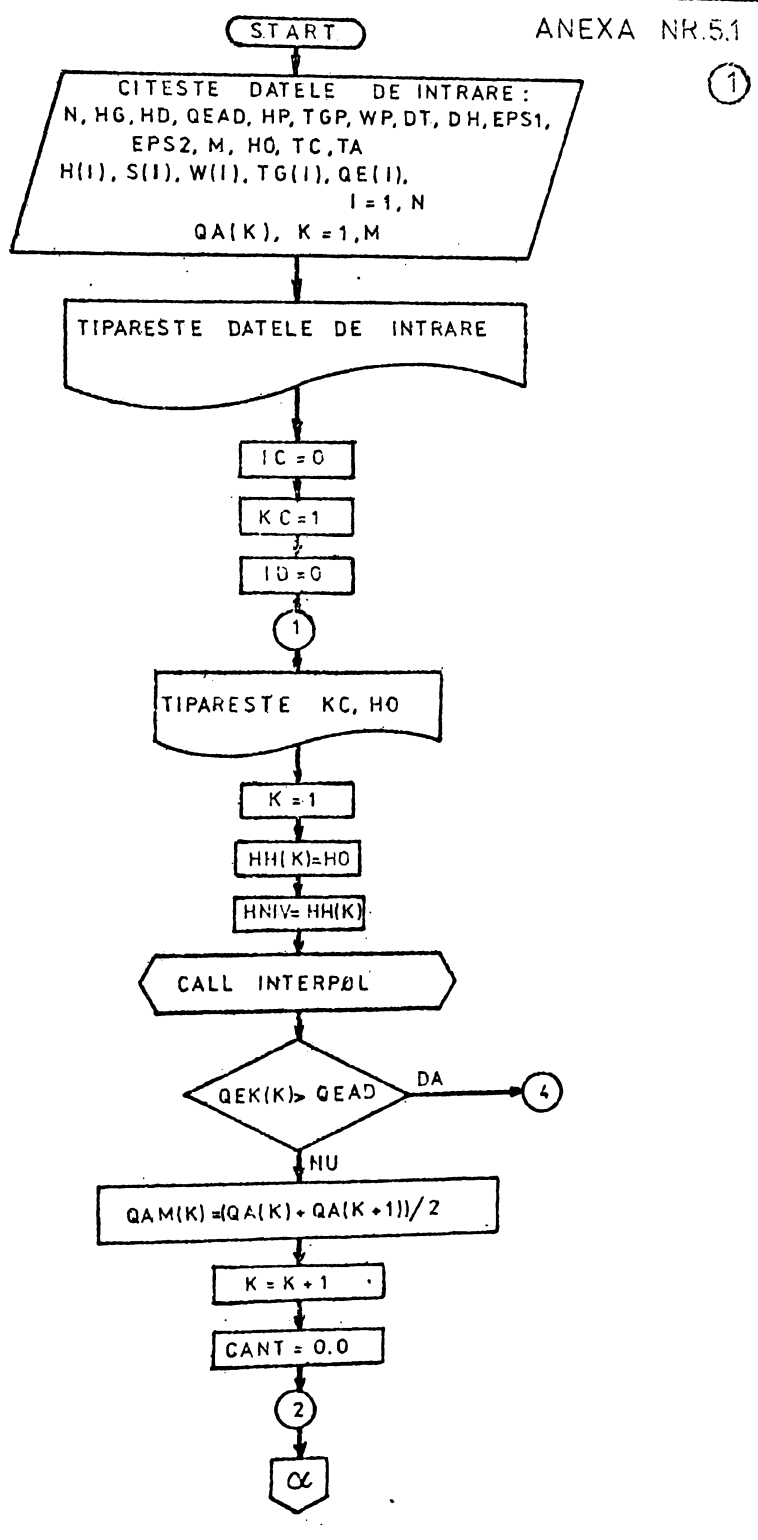
ANEXA NR. 6.1 - PROGRAME BASIC CAPITOL 6

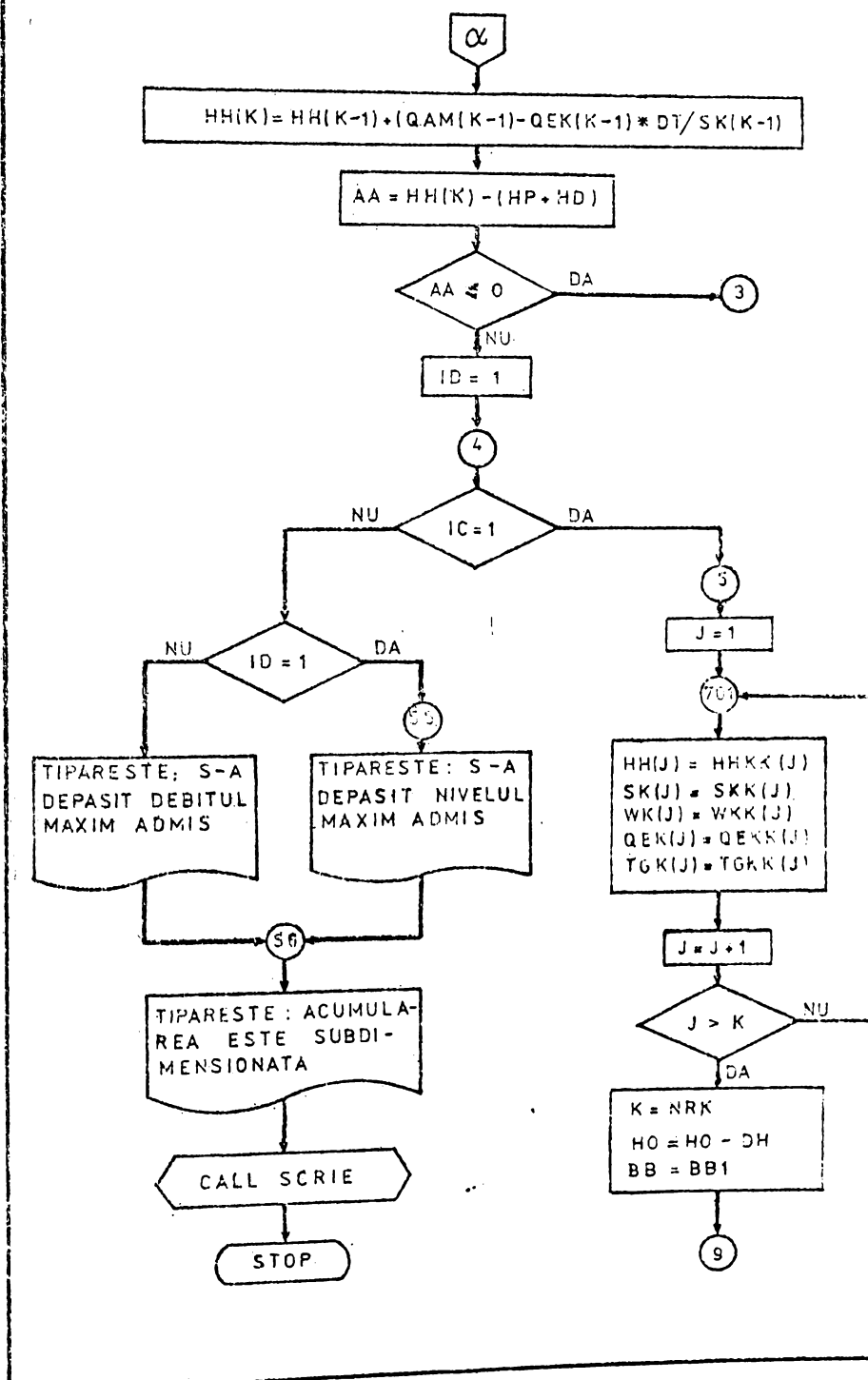
ANEXA NR. 6.2 - TABEL NR. 6.1.a

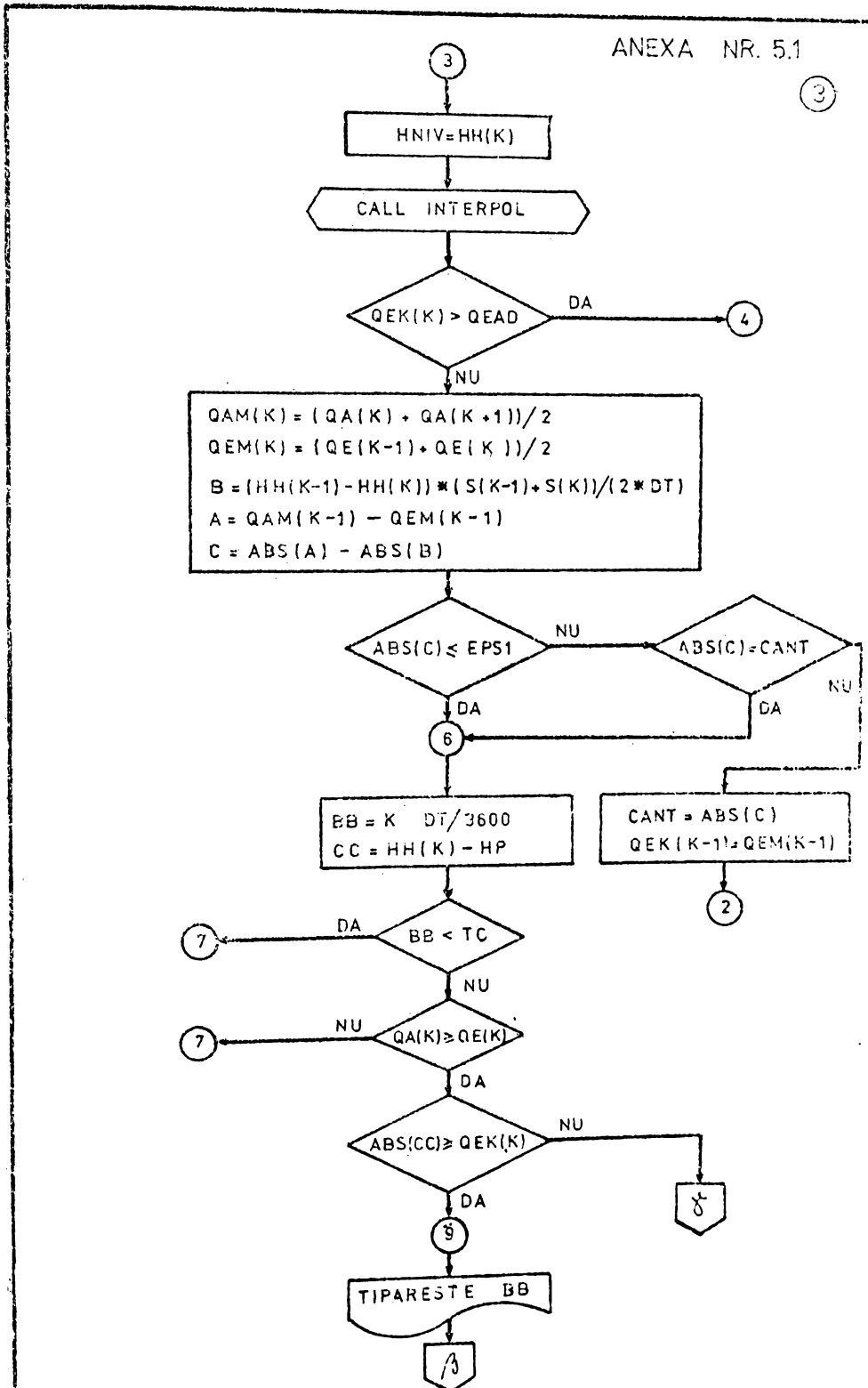
ANEXA NR. 6.3 - GRAFICUL γ - α -P-R (FIG. NR. 6.5.a
PLANSA)

ANEXA NR. 7.1 - PROFIL BARAJ CADAR-DUBOZ
(PLANSA)

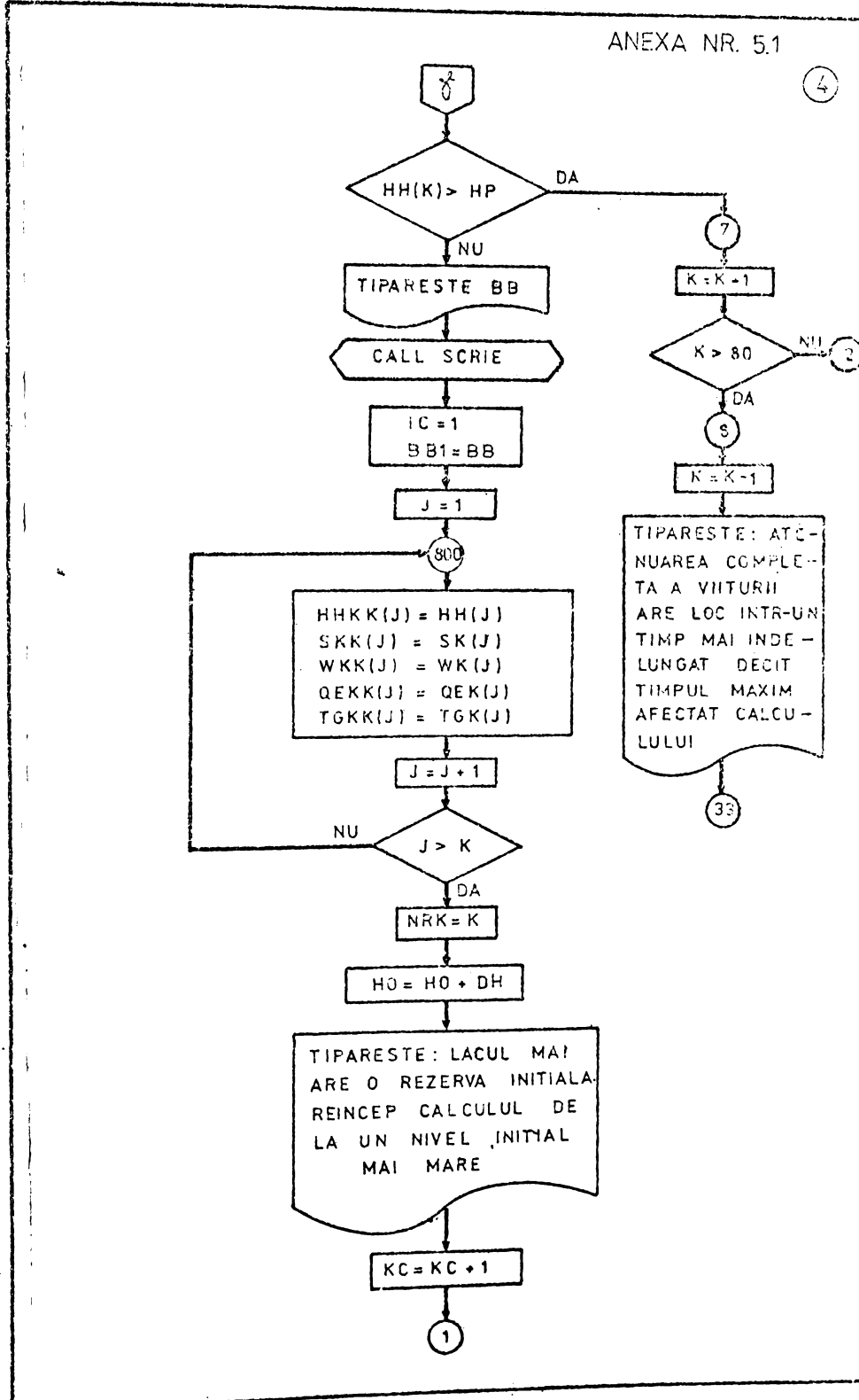
ANEXA NR. 7.2 - PROGRAM BASIC 62



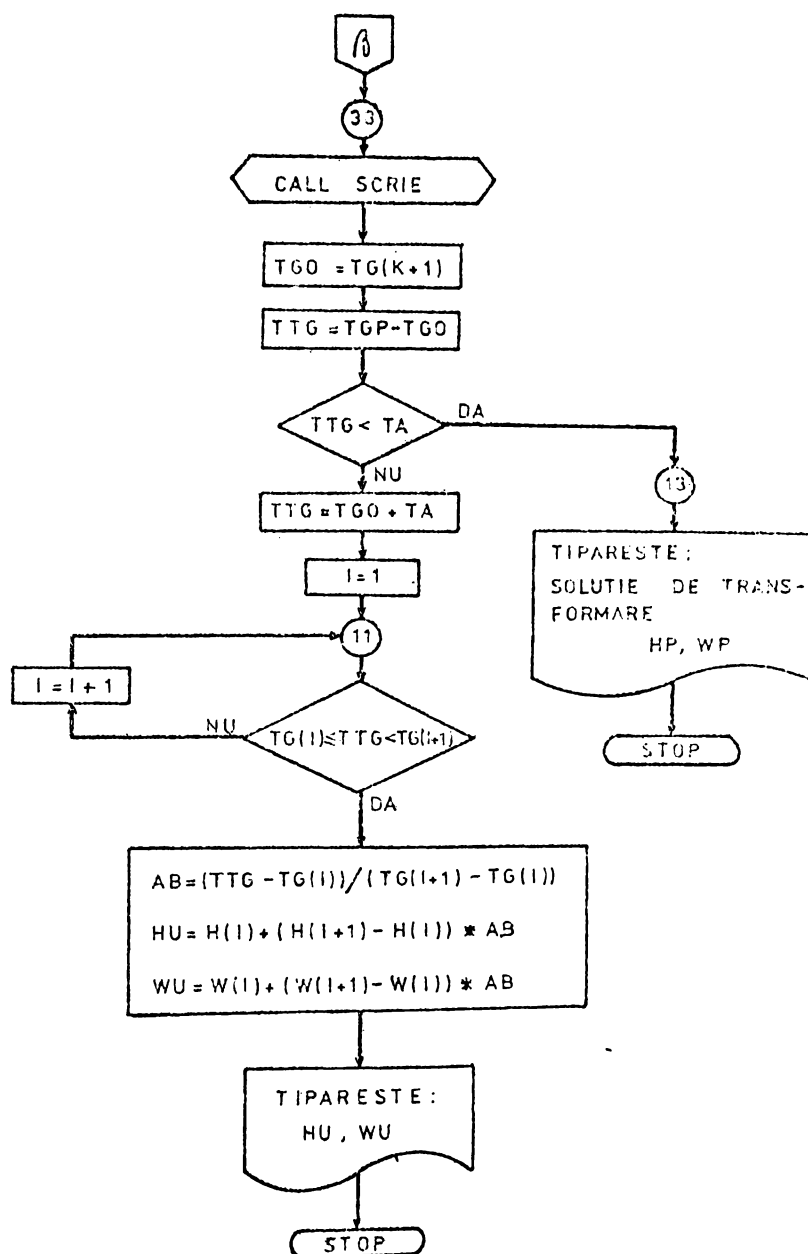




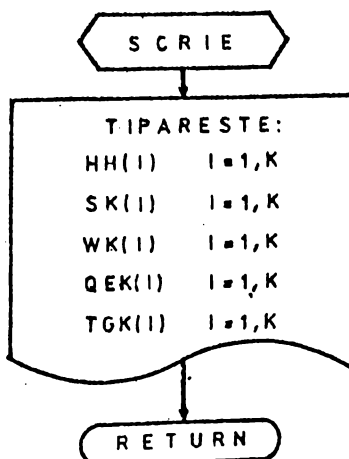
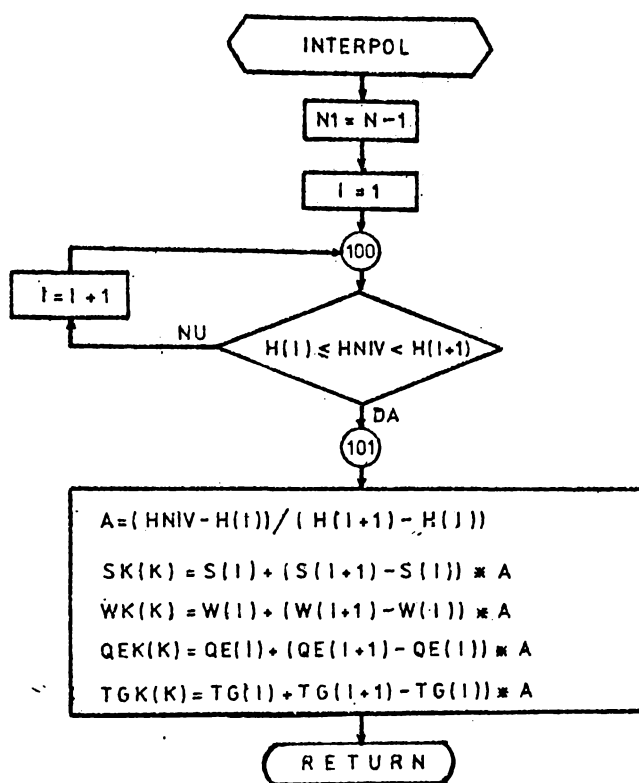
ANEXA NR. 5.1



(5)



(6)



ANEXA NR. 6.1

```

1 REM "PROGRAMA 53"
5 REM "FINICAJ GRAFIC DSGTPRAT"
20 READ N
30 PRINT "NUMAR TERMENI HIDROGRAF N =";N
40 DIM Q(R),T(R),V(R)
50 READ Q1 , T1 , T2
60 T3 = T1 - T2
70 PRINT "QMAX.....";Q1;"M^3/S"
80 PRINT "TTOTAL.....";T1 ; "ORE"
90 PRINT "TCRESTERE....."; T2 ; "ORE"
100 PRINT "TDESCRESTERE....." ; T3 ; "ORE"
110 READ T4 , T9 , G
115 PRINT
120 PRINT "PAS DE TIIMP ="; T4 ; "ORE"
125 PRINT
130 PRINT "PAS DE CALCUL ="; T9 ; "ORE"
135 PRINT
140 PRINT "GELEF.FORMA ="; G
145 PRINT
150 K = 1
200 PRINT "RMIN=" ;
210 INPUT R
220 PRINT "RMAX=" ;
230 INPUT R1
240 PRINT "PMIN=" ;
250 INPUT P2
260 PRINT "PMAX=" ;
270 INPUT P1
280 PRINT
290 P = P2
300 GOSUB 1000
310 P = P + T9
320 IF P > R1 THEN 390
330 GOTO 300
390 INPUT A$
400 R = R + T9
410 IF R > R1 THEN 999
420 GOTO 290
999 DISPLAY

1000 V(1) = 0

```

```
1e10 W1 = 0
1e20 FOR I = 1 TO T2 STEP T4
1e30 T(I) = I
1e40 Q(I) = Q1 * (T(I)/T2)^P
1e50 NEXT I
1e60 FOR I = 2 TO T2 STEP T4
1e70 V(I) = (Q(I-1) + Q(I)) * T4 * 3600/2
1e80 W1 = W1 + V(I)
1e90 NEXT I
1e99 V(T2) = 0
1100 W2 = 0
1120 FOR I = T2 TO T1 STEP T4
1130 T(I) = I
1140 Q(I) = Q1 * ((T3 - (T(I) - T2))/T3)^R
1150 NEXT I
1160 FOR I = T2+1 TO T1 STEP T4
1170 V(I) = (Q(I-1) + Q(I)) * T4 * 3600/2
1180 W2 = W2 + V(I)
1190 NEXT I
1200 V(1) = 0
1210 W = 0
1220 FOR I = 2 TO T1 STEP T4
1230 V(I) = (Q(I-1) + Q(I)) * T4 * 3600/2
1240 W = W + V(I)
1250 NEXT I
1300 W3 = W1 + W2
1310 D = W - W3
1320 E9 = ABS(D) * 100/W
1350 G1 = W/(Q1 * T1 + 3600)
1360 G2 = W1/(Q1 * T2 + 3600)
1370 G3 = W2/(Q1 * T3 + 3600)
1400 E5 = ABS(G - G1) * 100/G
1410 A = G2/G3
1460 PRINT "K=" ; K
1470 PRINT "P=" ; P , "R=" ; R
1480 PRINT
1550 PRINT "ERR.GAMA=" ; E5
1560 PRINT "ALPHA =" ; A
1570 PRINT
1580 K = K + 1
1590 RETURN
1800 DATA 112
```

- 3 -

181e DATA 124,112,23

182e DATA 1, e.01 , e.26

2000 END

```
1 REM "BASIC 54"
5 REM "ALMAGEREA TIPULUI DE CORELATIE"
10 DIM X(100),Y(100),H(10),V(10)
15 PRINT
20 READ N,N1
30 PRINT "NR.TERMINI DE CORELAT N=" ; N
31 PRINT
32 PRINT "PAS DE AFISARE NL=" ; N1
35 PRINT
40 FOR I = 1 TO N
50 READ X(I)
60 NEXT I
70 PRINT "PARAMETRUL A=" ;
80 INPUT A
90 PRINT "PARAMETRUL B=" ;
100 INPUT B
110 PRINT
115 PRINT "K=1"
120 FOR I = 1 TO N
130 Y(I) = (X(I)^B) * A
140 NEXT I
150 GOSUB 600
160 GOSUB 1000
170 PRINT "K=2"
180 FOR I = 1 TO N
190 Y(I) = A * EXP (B * X(I))
200 NEXT I
210 GOSUB 600
220 GOSUB 1000
225 PRINT "K = 3"
230 FOR I = 1 TO N
240 Y(I) = (A * X(I) + B)/X(I)
250 NEXT I
260 GOSUB 600
270 GOSUB 1000
275 PRINT "K = 4"
280 FOR I = 1 TO N
290 Y(I) = X(I)/(A + B * X(I))
300 NEXT I
310 GOSUB 600
320 GOSUB 1000
```

```
325 PRINT "K = 5"
330 FOR I = 1 TO N
340 Y(I) = A * X(I) * EXP(B * X(I))
350 NEXT I
360 GOSUB 600
370 GOSUB 1000
375 PRINT "K = 6"
380 FOR I = 1 TO N
390 Y(I) = A * X(I) * EXP(1 - B * X(I))
400 NEXT I
410 GOSUB 600
420 GOSUB 1000
500 STEP

600 PRINT
610 FOR J = 1 TO N STEP NL
620 N2 = J + N1 - 1
630 FOR I = J TO N2
635 PRINT "X(";I;") = "; X(I)
640 PRINT "Y(";I;")= "; Y(I)
650 NEXT I
660 PRINT
670 INPUT A$
680 NEXT J
700 RETURN

1000 LINEPP
1100 X1 = 0
1120 X2 = 5
1130 Y1 = 0
1140 Y2 = 5
1150 VLINEPP 1e,11e,1e,1e
1160 WINDOW X1,X2,Y1,Y2
1170 MOVE X1,Y1
1180 DRAW X1,Y2
1190 DRAW X2,Y2
1100 DRAW X2,Y1
1110 DRAW X1,Y1
1120 C = X2/1e
```

113e FOR I = 1 TO 9
114e H(I) = X1 + I * C
115e MOVE H(I),Y1
116e DRAW H(I), Y2
117e NEXT I
12ee D = Y2/Ie
121e FOR I = 1 TO 9
122e V(I) = Y1 + I * D
123e MOVE X1, V(I)
124e DRAW X2,Y(I)
125e NEXT I
13ee MOVE X(I), Y(I)
131e FOR I = 1 TO N
132e DRAW X(I), Y(I)
133e NEXT I
135e INPUT AS
136e INITP
14ee RETURN

15ee DATA 45,15
151e DATA .5,.6,.7,.8,.9,1.0,1.1,1.2,1.3,1.4
152e DATA 1.5,1.6,1.7,1.8,1.9,2.0,2.1,2.2,2.3,2.4
153e DATA 2.5,2.6,2.7,2.8,2.9,3.0,3.1,3.2,3.3,3.4
154e DATA 3.5,3.6,3.7,3.8,3.9,4.0,4.1,4.2,4.3,4.4
155e DATA 4.5,4.6,4.7,4.8,4.9

16ee END

```
1 REM "BASIC 54 A"
5 REM "CALCULUL CORELATIEI Y = (B * X + A)/X"
10 DIM X(50), Y(50)
15 PRINT
20 READ N, N1
30 PRINT "NUMAR TERMENI N="; N
31 PRINT
32 PRINT "PAS DE AFISARE N1="; N1
33 PRINT
40 FOR I = 1 TO N
50 READ X(I)
60 NEXT I
70 PRINT "PARAMETRUL A=";
80 INPUT A
90 PRINT "PARAMETRUL B=";
100 INPUT B
110 PRINT
115 FOR I = 1 TO N
120 Y(I) = (B * X(I) + A)/X(I)
130 NEXT I
140 PRINT
145 FOR J = 1 TO N STEP N1
150 N2 = J + N1 - 1
155 FOR I = J TO N2
160 PRINT "Y("; I; ")="; Y(I)
170 NEXT I
180 PRINT
190 INPUT A$
200 NEXT J
210 DATA 16,8
210 DATA .2,.21,.22,.23,.24,.25,.26,.27
220 DATA .28,.29,.30,.31,.32,.33,.34,.35
230 STOP
240 END
```

```
1 REM "BASIC 55"
5 REM "VERIFICAREA CALCULULUI HIDROGRAFELOR CU P = 2 SI R = 3"
10 DIM Q(254),T(254),V(254)
20 READ P,R
25 PRINT
30 PRINT "PUTerea pe ramura crescatoare P="; P
35 PRINT
40 PRINT "PUTerea pe ramura descrescatoare R="; R
45 PRINT
50 READ N
60 PRINT "NUMAR TERMENI HIDROGRAF N="; N
65 PRINT
70 READ Q1,T1,T2
80 T3 = T1 - T2
90 PRINT "QMAX....."; Q1; "M^3/S"
100 PRINT "TTOTAL....."; T1; "ORE"
110 PRINT "TCESTERE....."; T2; "ORE"
120 PRINT "TDESCESTERE ....."; T3; "ORE"
125 PRINT
130 READ T4,W,G
140 PRINT "PAS DE TEMP ....."; T4; "ORE"
145 PRINT
150 PRINT "WOL.DAT UNDA....."; W; "M^3"
155 PRINT
160 PRINT "GAMA DAT....."; G
165 PRINT
200 V(1) = 0
210 W2 = 0
220 FOR I = 1 TO T2 STEP T4
230 T(I) = I
240 Q(I) = Q1 * (T(I)/T2)^P
250 NEXT I
260 FOR I = 2 TO T2 STEP T4
270 V(I) = (Q(I-1) + Q(I)) * T4 * 3600/2
280 W2 = W2 + V(I)
290 NEXT I
300 V(T2) = 0
310 W3 = 0
320 FOR I = T2 TO T1 STEP T4
330 T(I) = I
340 Q(I) = Q1 * ((T3 - (T(I) - T2))/T3)^R
```

350 NEXT I
360 FOR I = T2+1 TO T1 STEP T4
370 V(I) = (Q(I-1) + Q(I)) * T4 * 3600/2
380 W3 = W3 + V(I)
390 NEXT I
400 W1 = W2 + W3
405 D = W1 - W
410 G1 = W1/(Q1 * T1 * 3600)
420 G2 = W2/(Q1 * T2 * 3600)
430 G3 = W3/(Q1 * T3 * 3600)
440 A = G2/G3
450 E1 = ABS(W - W1) * 100/N
450 E2 = ABS(G - G1) * 100/N
500 PRINT
510 PRINT "W0L.CALC" = " ; W1 ; "W^3"
520 PRINT
530 PRINT "W0L.CRESC" = " ; W2 ; "W^3"
540 PRINT
550 PRINT "W0L.DCRESC" = " ; W3 ; "W^3"
560 PRINT
570 PRINT "GAMA CALC" = " ; G1
580 PRINT
590 PRINT "GAMA CRESC" = " ; G2
600 PRINT
610 PRINT "GAMA DCRESC" = " ; G3
620 PRINT
630 PRINT "ALPHA" = " ; A
640 PRINT
650 PRINT "DIF.W0L" = " ; D ; "W^3"
660 PRINT
670 PRINT "ERR.W0L" = " ; E1 ; "%"
680 PRINT
690 PRINT "ERR.GAMA" = " ; E2 ; "%"
700 PRINT

800 DATA 2,3
810 DATA 210
820 DATA 320,210,48
830 DATA 1,73 2E , .3E2

900 STOP

END

```
1 REM "BASIC 56"
5 REM "CALCULUL HIDROGRAFULUI DE VITURA CU MARX FELICIANO"
14 READ N
20 PRINT "NUMAR TERMENI HIDROGRAF N = " ; N
30 DIM Q(N),T(N),V(N),P(15),Z(15),E(15,15),S(15,15)
50 READ Q1,T1,T2
60 T3 = T1 - T2
70 PRINT "QMAX ..... " ; Q1 ; "M^3/S"
80 PRINT "TMINAL ..... " ; T1 ; "HRS"
90 PRINT "TMAXIMAL ..... " ; T2 ; "HRS"
100 PRINT "WINDSCORERESTR.... " ; T3 ; "HRS"
110 READ T4,T5,E1,E2
120 PRINT
130 PRINT "PAS DE TIMP.... " ; T4 ; "HRS"
140 PRINT "PAS DE CALCUL... " ; T5
150 PRINT
152 PRINT "KMR.ADM.GAMA = " ; E1
155 PRINT "KMR.ADM.ALPHA = " ; E2
157 PRINT
160 READ W,W1,W2
170 PRINT "WTOTAL ..... " ; W ; "M^3"
180 PRINT "WORTOTAL ..... " ; W2 ; "M^3"
190 PRINT "WINDSCORERESTR ... " ; W3 ; "M^3"
200 PRINT
210 G = W/(Q1 * T1 * 3600)
220 G1 = W1/(Q1 * T2 * 3600)
230 G2 = W2/(Q1 * T3 * 3600)
240 A = G1/G2
250 PRINT "GAMA 1 = " ; G1
255 PRINT
260 PRINT "GAMA 2 = " ; G2
270 PRINT "ALPHA = " ; A
280 PRINT
290 PRINT "KMIN = " ;
300 INPUT R1
330 PRINT "RMAX = " ;
340 INPUT R2
350 PRINT "RMIN = " ;
360 INPUT R3
```

```
> PRINT "PMAX = " ;
> INPUT P2
5 J = 1
5 R(J) = R1
5 K = 1
6 P(K) = P1
e GOSUB 3000
e GOSUB 640
e IF K < > 2 THEN 51e
e IF F(K,J) < F(K-1,J) THEN 47e
e P1 = P1 - 2 * T5
e P2 = P2 - 2 * T5
5 G0 T0 385
e IF E(K,J) < E(K-1,J) THEN 51e
1e R1 = R1 - 2 * T5
1e R2 = R2 - 2 * T5
1e G0 T0 385
.e K = K + 1
2e F(K) = F(K-1) + T5
3e IF F(K) > P2 THEN 545
4e G0 T0 41e
45 J = J + 1
50 R(J) = R(J-1) + T5
55 IF R(J) > R2 THEN 575
5e G0 T0 395
75 STOP
ee IF E(K,J) > = E1 THEN 12ee
1e IF F(K,J) > = E2 THEN 12ee
2e PRINT
3e PRINT "GRADONATELE HIDROGRAFULUI"
4e PRINT
45 PRINT "PASUL DE AFISARE N1 = " ;
5e INPUT N1
55 PRINT
6e FOR L = 1 TO N STEP N1
7e N2 = L + N1 - 1
8e FOR I = L TO N2
9e PRINT "Q(";I;") = " ; Q(I)
'ee NEXT I
'1e PRINT
'2e INPUT A$
```

```
730 NEXT L
740 PRINT
750 PRINT "VOLUMUL UNDEI W = "; W3 ; "M^3"
752 PRINT
754 PRINT "WCR = "; W4 ; "M^3"
756 PRINT
758 PRINT "WDCH = "; W5 ; "M^3"
760 PRINT
770 PRINT "CSEF.DE FORMA G = "; G3
780 PRINT
790 PRINT "CSEF.FORMA GAMA 1 = "; G4
800 PRINT
810 PRINT "CSEF.FORMA GAMA 2 = "; G5
820 PRINT
830 PRINT "ALPHA = "; A1
840 PRINT
850 PRINT "PUTERI ECUATII"
860 PRINT
870 PRINT "P = "; P(K) , "R = "; R(J)
875 PRINT
880 PRINT "ERRATI"
881 D = W3 - W
882 E9 = ABS(D) * 100/W
883 INPUT A$
884 PRINT
885 PRINT "DIF.WOL = "; D ; "M^3"
886 PRINT "ERR.WOL = "; E9 ; "%"
887 PRINT
890 PRINT
900 PRINT "ERR.GAMA = "; E(K,J)
910 PRINT "KAR.ALPHA = "; F(K,J)
920 PRINT
930 INPUT A$
940 REM "AFISAREA GRAFICA HIDROGRAF"
950 INITP
960 X1 = 0
970 X2 = T1
980 Y1 = 0
990 Y2 = Q1
1000 VIEWPORT 10,110,20,100
1010 WINDOW X1,X2,Y1,Y2
```

```
1e2e MOVE X1,Y1
1e3e DRAW X1,Y2
1e4e DRAW X2,Y2
1e5e DRAW X2,Y1
1e6e DRAW X1,Y1
1e7e MOVE X1,Y1
1e8e FOR I = 1 TO N
1e9e T(I) = I
1le0 DRAW T(I), Q(I)
1l1e NEXT I
1l2e PRINT AT (28,2) ; "IT'S O.K."
1l5e STOP
12ee RETURN
2e0e V(1) = 0
2e1e W4 = 0
2e2e FOR I = 1 TO T2 STEP T4
2e3e T(I) = I
2e4e Q(I) = Q1 * (T(I)/T2) ^ P(K)
2e5e NEXT I
2e6e FOR I = 2 TO T2 STEP T4
2e7e V(I) = V(I-1) + Q(I) * T4 * 3600
2e8e R1 = R1 + V(I)
2e9e R1 = R1 / 2
2e10e V(1) = 0
2l1e R1 = R1 / 2
2l2e FOR I = T2 TO T1 STEP T4
2l3e R2(I) = I
2l4e Q(I) = Q1 * ((T3 - (T(I) - T2))/T3) ^ R(J)
2l5e STEP J
2l6e R1 = R1 + 1 TO T1 STEP T4
2l7e V(I) = V(I-1) + Q(I) * T4 * 3600/2
2l8e R3 = R3 + V(I)
2l9e NEXT I
2l10e V(1) = 0
2l11e W3 = 0
2l2e FOR I = 2 TO T1 STEP T4
2l3e V(I) = (Q(I-1) + Q(I)) * T4 * 3600/2
2l4e W3 = W3 + V(I)
2l5e NEXT I
2l6e G3 = W3/(Q1 * T1 * 3600)
2l7e G4 = W4/(Q1 * T2 * 3600)
```

- 14 -

```
3320 G5 = W5/(Q1 + T3 + 3600)
3330 A1 = G4/G5
3350 E(K,J) = ABS(G - G3) * 100/G
3360 F(K,J) = ABS(A - A1) * 100/A
3400 PRINT
3410 PRINT "P(" ; K ; "," ; J ; ") = " ; P(K,J), "R(" ;
     K ; " , " ; " ) = " ; R(J)
3415 PRINT
3420 PRINT "ERR.GAMA = " ; E(K,J) ; "%"
3430 PRINT "ERR.ALPHA = " ; F(K,J) ; "%"
3440 PRINT "ALPHA = " ; A1
3450 RETURN
3500 DATA 87
3510 DATA 105, 87, 19
3520 DATA 1, 0.005, 0.1, 0.1
3530 DATA 10.5 E6, 4 E6, 6.5 E6

4000 END
```

```
1 REM "BASIC 61"
3 REM "GENERAREA HIDROGRAFULUI DE VITITURA PE BAZA FRAZIUNILOR"
5 REM "METODA CADARIU"
10 READ N
15 PRINT "NUMAR TERIMENTI HIDROGRAF N = " ; N
20 DIM T(250),Q(250),W(250),A(250),B(250),C(250),D(250),E(250),
    F(250)
22 DIM G(250),V(250),H(250)
25 PRINT
30 READ Q1,Q0,W1,W2,T1,T2,T4,E0
35 W3 = W1 - W2
37 T3 = T1 - T2
40 PRINT "QMAX = " ; Q1 ; "M^3/S"
50 PRINT "QBAZA = " ; Q0 ; "M^3/S"
60 PRINT "WUND1 = " ; W1 ; "M^3"
70 PRINT "WENDURE = " ; W2 ; "M^3"
80 PRINT "WDESCRISTERE = " ; W3 ; "M^3"
90 PRINT "TTOTAL = " ; T1 ; "SRE"
100 PRINT "TCRISTERA = " ; T2 ; "SRE"
105 PRINT "TDESCRISTERA = " ; T3 ; "SRE"
110 PRINT "PAS DE TIIMP = " ; T4 ; "SRE"
120 PRINT
130 T5 = T1/T2
140 G = (W1 - Q0 * T1 * 3600)/((Q1 - Q0) * T1 * 3600)
150 PRINT "QAMA = " ; G
155 PRINT
160 F = T5 - 1
170 U = T5 - 2
172 K = 50
174 L = 1
175 PRINT
180 FOR I = 1 TO 250
190 A(I) = K - L/L
192 H(I) = 4 * A(I) * F - U ^ 2
194 IF H(I) > 0 THEN 200
196 K = A(I)
197 PRINT "K = " ; K
198 G0 TO 174
200 B(I) = ((A(I) + 1) * U * LOG(F))/(A(I)) ^ 2
210 C(I) = (A(I) + 1) * (2 * A(I) * F - U ^ 2)/(A(I) ^ 2 * SQRT(K))
215 D(I) = ATN((2 * A(I) * F + U)/SQRT(H(I)))
220 E(I) = ATN((T5 - 2 * (A(I) + 1))/SQRT(H(I)))
230
```

```
246 W(I) = D(I) + C(I) * (D(I) - E(I) - T5 / A(I))
245 X = G * T5
247 PRINT "W = " ; X
250 IF W(I) >= X THEN 270
260 PRINT "A(" ; I ; ") = " ; A(I), "W(" ; I ; ") = " ; W(I)
265 GO TO 290
270 Y = (ABS(W(I) - X)) * 100/W(I)
271 IF Y <= 20 THEN 277
272 X = A(I - 1)
273 PRINT "K = " ; K
274 L = L * 10
275 PRINT "L = " ; L
276 GO TO 175
277 PRINT "ERR. = " ; Y
278 A = A(I)
279 W = W(I)
280 GO TO 292
290 NEXT I
292 PRINT
293 PRINT "W* = " ; X
294 PRINT "W = " ; W
295 PRINT "A = " ; A
300 B = T5 - 2 * (A + 1)
305 PRINT "B = " ; B
310 C = A + 1
315 PRINT "C = " ; C
320 FOR I = 1 TO T1 STEP T4
330 T(I) = I
370 F(I) = (Q1 - Q0) * (T1 - T(I)) * T(I)
380 G(I) = A * (T(I)) ^ 2 + B * T2 * T(I) + C * T2 ^ 2
390 Q(I) = Q0 + F(I)/G(I)
400 NEXT I
410 PRINT "PAS DE AFISARE N1 = " ;
420 INPUT N1
450 PRINT
460 PRINT "HIDROGRAFUL DE VIITURA"
470 PRINT
480 FOR J = 1 TO T1 STEP N1
490 N2 = J + N1 - 1
500 FOR I = J TO N2
510 PRINT "Q(" ; I ; ") = " ; Q(I)
620 NEXT I
```

530 PRINT
540 INPUT A\$
550 NEXT J
560 V(1) = 0
562 W 5 = 0
564 FOR I = 2 TO T2 STEP T4
566 V(I) = (Q(I-1) + Q(I)) * T4 * 3600/2
568 W5 = W5 + V(I)
570 NEXT I
572 W6 = 0
574 FOR I = T2 + 1 TO T1 STEP T4
576 V(I) = (Q(I-1) + Q(I)) * T4 * 3600/2
578 W6 = W6 + V(I)
580 NEXT I
582 G2 = (W5 - Q0 * T2 * 3600)/((Q1 - Q0) * T2 * 3600)
584 G3 = (W6 - Q0 * T3 * 3600)/((Q1 - Q0) * T3 * 3600)
586 PAINT
588 PRINT "WORSTCASE = " ; W5 ; "M ^ 3"
590 PRINT "WDSACASE = " ; W6 ; "M ^ 3"
592 PRINT "GAMA 2 = " ; G2
594 PRINT "GAMA 3 = " ; G3
596 A5 = G2/G3
598 PRINT "ALTRA = " ; A5
600 V(1) = 0
610 W4 = 0
620 FOR I = 2 TO T1 STEP T4
630 V(I) = (Q(I-1) + Q(I)) * T4 * 3600/2
640 W4 = W4 + V(I)
650 NEXT I
655 PRINT
660 PRINT "VOLUM CALC. = " ; W4 ; "M ^ 3"
670 G1 = (W4 - Q0 * T1 * 3600)/((Q1 - Q0) * T1 * 3600)
675 PRINT
680 PRINT "GAMA CALC. = " ; G1
690 E1 = W4 - W1
700 E2 = ABS (E1) * 100/W1
710 E3 = ABS (G - G1) * 100/G
720 PRINT
730 PRINT "ERR1"
735 PRINT
740 PRINT "DIFF.VOLUM = " ; E1 ; "M ^ 3"
750 PRINT "VOLUM CASE VOLUM = " ; E2 ; "%"

```
760 PRINT "ERR.GAMA = " ; E3 ; " % "
770 INPUT A$ 
800 REM "AFISARE GRAFICA"
810 INITP
820 X1 = 0
830 X2 = T1
840 Y1 = 0
850 Y2 = Q1
860 VLINEPORT 1e,11e,2e,1ee
870 WINDOW X1,X2,Y1,Y2
880 MOVE X1,Y1
890 DRAW X1,Y2
900 DRAW X2,Y2
910 DRAW X2,Y1
920 DRAW X1,Y1
930 FOR I = 1 TO N
940 T(I) = I
950 DRAW T(I) , Q(I)
960 NEXT I
970 PRINT AT(28,2) ; "IT'S O.K."
1980 DATA 87
1e0 DATA 1e5,0,1e.5 E6,4 E6, 87,19,1
1e20 DATA e.1
2000 STOP
3000 END
```

VERIFICARI PRIN BASIC 55 (P=2; R=3)

(label nr. 6.1.c.)

NR CRT	RIUL POSTUL	ELEMENTE DATE				ELEMENTE CALCULATE				ERORI						
		Qmax1%, W 1%/ (m ³ /s)	T _T (10 ⁶ m ³)	T _{cr} (ore)	g ^t (ore)	W _{alc} (10 ⁶ m ³)	W _{cr} (10 ⁶ m ³)	g ^s	g ₁	g ₂	α	ΔW (10 ⁶ m ³)	ε W (%)	ε g ^t (%)		
0	1	2	3	4	5	6	7	8	9	10	11	12	13	14	15	16
1	VISEU BIOTRA	1000	140	35	0,26	14,520	42,016	0,3335	0,2695	0,2500	1,3337	+5,523	3,945	3,649		
2	VAO	280	103	160	38	0,23	12,228	3,5349	0,649	0,2698	0,3337	-0,2500	15,698	15,317		
3	TUR	965	91,5	150	36	0,30	62,980	24,417	57,923	0,2000	0,5335	-0,2500	-9,110	9,956	9,886	
4	SOMUSUL MARE	930	144	44	32	0,28	13,602	38,033	99,7499	0,2686	0,3335	-0,2500	-6,168	4,283	4,084	
5	BISTRIȚA	600	72	139	31	0,24	80,655	22,330	58,325	0,2606	0,3335	0,2500	+8,635	12,021	11,932	
6	SOMUSUL MARE	1840	284	126	42	0,24	319,806	94,243	225,533	0,2659	0,3335	-0,2500	+3,806	12,608	12,465	
7	SOMUSUL MARE	500	63	140	34	0,25	68,112	25,406	43,204	0,2603	0,3335	0,2500	+5,112	8,114	8,114	
8	LAPUJ	590	78,5	132	30	0,28	45,418	21,251	37,167	0,2660	0,3335	-0,2500	-3,022	5,930	5,930	
9	CAVNIC COPALNIC	305	23,1	106	21	0,25	31,025	5,693	27,366	0,2660	0,3344	+0,525	6,625	6,640		
10	LAPUJ	900	145	160	45	0,28	14,1467	4,611	14,307	0,2760	0,3344	-0,2500	-1,423	2,423	2,423	
11	FECIȚA	260	2,2,6	83	19	0,23	20,915	7,335	14,380	0,2682	0,3337	-0,2501	1,3046	-4,458	-4,458	
12	CĂLĂRAȘI	300	2,2,2	104	27	0,26	27,073	7,325	14,380	0,2682	0,3337	-0,2501	-3,312	-3,312	-3,312	

ANEXA NR. 6.2

tabel nr. 6.1a (continuare)

	0	1	2	3	4	5	6	7	8	9	10	11	12	13	14	15	16
0	CĂLĂUINA																
13	MOCINU MIC	575	102	165	50	0,30	94,023	34,526	54,516	9,285,5	9,333,4	0,2500	1,333,5	-7,933,2	7,650	8,259	
14	SEGETEJ	315	60,2	166	50	0,32	31,732	15,924	32,858	9,2551	9,333,4	0,2500	1,333,5	-8,408	13,267	14,021	
15	CRISUL REPUBLIC	870	130	148	33	0,28	124,512	34,466	30,051	0,2686	9,333,5	0,2500	1,333,8	-5,482	4,212	4,052	
16	CRISUL REPUBLIC	1000	175	211	44	0,23	203,116	62,813	156,304	9,2674	9,333,4	0,2500	1,333,6	+2,811,2	16,054	16,261	
17	CRISUL NEGRU	360	73,9	141	29	0,26	45,551	13,438	56,452	0,2672	9,333,5	0,2500	1,333,9	+2,051	2,375	2,265	
18	ROSIA	215	24,4	121	28	0,26	45,226	32,228	14,998	9,2693	9,333,5	0,2500	1,333,9	+0,826	3,384	3,536	
19	HOLOD	205	33,1	116	33	0,33	24,184	1,121	13,005	0,2703	9,333,5	0,2500	1,333,8	-5,923	18,042	18,000	
20	CRISUL NEGRU	750	138	176	36	0,29	126,915	32,411	34,304	9,2679	9,333,5	0,2500	1,333,7	-11,084	8,052	7,904	
21	CRISUL NEGRU	730	116	231	50	0,29	10,524	4,808	16,394	9,2681	9,333,4	0,2500	1,333,5	-13,222	3,541	3,567	
22	CRISUL ALB	350	42,5	112	24	0,30	14,811	16,005	23,763	9,2679	9,333,6	0,2500	1,334,2	-6,483	19,612	19,698	
23	CRISUL ALB	600	17,3	161	43	0,28	14,622	35,908	6,924	9,262,3	9,333,4	0,2500	1,333,6	-2,608	2,681	2,653	
24	DEFENSA	180	43,1	105	20	0,38	18,044	4,325	14,802	9,2660	9,333,4	0,2500	1,333,6	-1,054	5,254	5,152	
25	CRISUL ALB	300	14,3	236	60	0,29	16,123	10,411	16,505	9,2642	9,333,4	0,2500	1,333,5	-11,210	6,532	6,452	
26	CHIINEU CRIS	610	116	196	35	0,24	114,021	31,522	45,169	9,2649	9,333,6	0,2500	1,333,7	-1,339	1,306	1,255	
27	MUREŞ	160	214	181	51	0,31	15,510	29,035	31,935	9,2644	9,333,5	0,2500	1,333,7	-1,226	1,230	1,204	

tabel nr. 6.1.a. (continuare) (2)

	0	1	2	3	4	5	6	7	8	9	10	11	12	13	14	15	16
28	ARIES	410	33.6	96	25	9.28	38.513	12.369	26.224	9.2148	0.3356	1.2500	1.3340	-1.182	2.7446	2.3229	
29	ARIES	530	26.5	129	30	0.31	66.312	19.090	42.227	0.2634	0.3335	0.2500	0.3359	-0.9883	1.684	1.085	
30	ARIES	840	138	157	34	0.28	131.824	35.510	95.314	0.2687	0.3335	0.2500	0.3358	-0.9883	4.425	3.220	
31	TIRANAVA MARE	450	106	155	30	0.29	52.495	25.013	46.881	0.2686	0.3335	0.2500	0.3359	-0.9883	2.642	1.3203	
32	TIRANAVA MARE	680	134	196	44	0.28	118.940	35.913	95.028	0.2684	0.3334	0.2500	0.3356	-0.9880	3.725	4.024	
33	JULIUS	275	31.4	36	22	0.55	25.505	7.966	18.318	0.2692	0.3336	0.2500	0.3359	-0.9883	1.520	1.84	
34	ARUL MARE	590	46.0	98	20	0.26	43.118	12.013	55.106	0.2681	0.3337	0.2500	0.3354	+0.9881	2.457	2.455	
35	CALIBAN	230	20.4	88	18	0.28	15.462	4.374	14.493	0.2672	0.3338	0.2501	0.3358	-0.9883	4.532	4.581	
36	JULIUS PETRENI	215	104	130	30	0.31	32.069	25.253	54.356	0.2693	0.3335	0.2500	0.3359	-0.9881	13.356	14.133	
37	GIGANT	200	21.6	120	31	0.25	13.665	3.444	16.022	0.2676	0.3335	0.2500	0.3358	+0.9883	6.336	6.356	
38	GLAUNK	105	16.5	67	13	0.32	9.224	2.392	6.427	0.2683	0.3337	0.2501	0.3356	-1.626	13.360	15.848	
39	TRIMIS	230	20.9	90	19	0.28	13.920	5.200	14.200	0.2674	0.3338	0.2500	0.3356	-0.9880	4.545	4.383	
40	TRIMIS	390	40.0	89	20	0.32	33.534	9.520	24.284	0.2681	0.3337	0.2501	0.3357	-0.9881	15.836	15.836	
41	LUCIFER	1150	22.9	129	45	0.26	210.276	65.515	139.557	0.2693	0.3334	0.2500	0.3356	+0.9883	4.432	4.432	
42	TRIMIS	1140	25.6	810	54	0.28	55.076	14.250	24.364	0.2684	0.3335	0.2500	0.3357	+0.9882	13.52	13.52	

tabbel nr. 6.1.a. (continuare)③

	0	1	2	3	4	5	6	7	8	9	10	11	12	13	14	15	16
43	BIZZAVA DOCSA VASIOVEI	250	242	112	28	922	23307	8,465	18,302	9,2109	9,5555	9,2500	1,33339	40,107	9,5555	0,5555	
44	CARAS	160	158	91	23	930	14,214	4,420	2,394	1,212	0,3555	0,2501	1,33331	-1,5555	40,040	9,510	
45	CARAS	485	859	164	40	930	23,416	23,285	54,629	2,704	0,5534	0,2500	1,33336	-8,484	9,844	9,850	
46	NERA	550	743	134	29	628	21,130	19,130	51,950	2,681	0,3534	0,2500	1,33339	-3,170	4,262	4,253	
47	NERA MONTANA	650	1022	162	41	922	42,778	31,989	79,789	0,2711	0,3534	0,2500	1,33336	+0,7478	9,763	9,412	
48	CEERNA	365	137	31	929	65,622	25,122	64,400	2,689	0,3535	0,2500	1,33338	-6,948	7,237	7,233		
49	HERC.-PECINISCA DESENUTI	295	306	93	31	931	23,444	12,979	16,465	0,2719	0,3535	0,2501	1,33336	-3,156	10,352	10,364	
50	JUL ROMANESE	425	364	90	17	925	36,610	8,682	23,928	0,2658	0,3535	0,2500	1,33339	+2,210	6,424	6,343	
51	JIU VADENI	1400	158	125	36	925	142,655	69,501	112,153	0,2741	0,3535	0,2500	1,33336	+4,6355	9,225	9,622	
52	SUSITA	200	296	87	18	930	18,423	4,238	13,865	0,2614	0,3535	0,2500	1,33338	-8,472	10,508	10,826	
53	GIURITA TELESTI	450	462	95	23	930	41,536	12,430	29,165	0,2703	0,3535	0,2500	1,33342	-4,604	9,966	9,907	
54	JIU PESTEANA	1800	338	174	39	930	30,274	34,265	238,210	0,2687	0,3534	0,2500	1,33337	-35,024	10,362	10,410	
55	JIU FILIASTI	2100	419	169	42	630	36,370	10,5267	273,841	0,2685	0,3534	0,2500	1,33336	-4,5281	10,358	10,485	
56	MORAV	470	120	103	50	927	1,9430	34,337	35,583	0,2655	0,3535	0,2500	1,33339	+0,300	9,4117	9,152	
57	GRIGORETI	650	20	103	27	628	65,340	1,651	44,465	0,2719	0,3535	0,2500	1,33337	-4,400	5,397	5,207	

tabel nr. 6.1.a. (continuare) (4)

0	1	2	3	4	5	6	7	8	9	10	11	12	13	14	15	16
58	MOTRU FATĂ MOTRULUI	1360	217	36	0,26	2,26,025	36,743	165,248	2,2675	4,5335	0,2500	4,3333	4,3333	3,235	2,315	
59	JIU PODARI	2300	580	226	43	0,31	49,528	16,709	378,818	0,2659	0,3354	0,2500	4,5333	-8,3446	14,219	14,234
60	HISTIBACIU CORNATEL	280	448	148	35	0,30	46,242	19,464	28,478	0,2675	0,3335	0,2500	4,5333	4,3333	10,083	
61	CIGIN TALMACIU	650	95,5	120	39	0,34	76,682	2,751	30,902	1,2740	0,9335	0,2500	4,3333	16,846	12,736	19,712
62	OLANEŞTI RM. VILCEA	290	16,9	60	14	0,27	16,693	4,892	12,012	0,2692	0,3340	0,2500	4,3334	9,007	9,039	9,115
63	TEZLURI RESCA	290	34,3	106	33	0,31	36,545	11,489	19,057	0,2786	0,5335	0,2500	4,3336	3,7355	10,946	10,962
64	VEDEA ROUGORII DE VENE	800	104	125	35	0,29	98,420	33,613	64,807	0,22734	0,5335	0,2500	4,3337	5,580	5,465	5,428
65	VEDEA CERVENIA	1070	184	40	0,26	180,052	51,375	138,677	0,2681	0,3334	0,2500	4,3337	6,0053	3,290	3,133	
66	ARGEŞ Prestești Pod	660	20,5	110	25	0,27	39,301	19,914	59,493	0,2690	0,3336	0,2500	4,3337	9,183	0,868	0,563
67	ARGEŞ DITERNI ŞGRANB	1240	118	102	28	0,26	124,686	46,686	62,595	0,2654	0,3335	0,2500	4,3339	6,628	5,328	4,865
68	MĂLU ȘOARE	1070	145	146	34	0,26	151,534	42,673	113,864	0,2695	0,5335	0,2500	4,3338	+9,054	4,503	4,335
69	CRĂCIUNĂ VLĂBENI-BALTRITA	260	27,1	65	20	0,33	16,732	6,247	11,535	0,2745	0,3347	0,2500	4,3347	-3,358	16,329	16,414
70	TELEAJEN MĂLAŞINA	470	454	110	25	0,26	50,030	14,410	35,954	0,2692	0,3346	0,2500	4,3346	+4,040	3,450	3,463
71	TAICOMITA MÎNCOSTI-SĂLCANI	485	420	160	22	0,26	46,868	12,815	35,045	0,2664	0,3346	0,2500	4,3346	-2,302	4,359	4,332
72	MIHOVA AUFNACRA	690	93,2	148	27	0,27	97,665	23,306	73,945	0,2745	0,3346	0,2500	4,3345	6,685	6,628	7,055

tablă nr. 6.1.a. (continuare) (5)

	0	1	2	3	4	5	6	7	8	9	10	11	12	13	14	15	16
73	IAUCOMITA COȘERENI'	900	145	166	28	0,27	142,312	31,353	110,955	0,2646	0,3035	0,2320	1,3340	-2,668	1,854	2,000	
74	IAUCOMITA SIEGOVIA	930	121	189	32	0,27	163,141	35,728	141,410	0,2641	0,3335	0,2500	1,3339	-3,858	2,236	2,170	
75	JUCEAVA GEODINA	545	68,9	117	20	0,30	60,637	13,054	47,454	0,2645	0,3334	0,2250	1,3346	-6,223	1,334	11,831	
76	JUCEAVA ITCANI'	1385	248	192	45	0,26	259,311	63,454	158,257	0,2413	0,3354	0,2900	1,3335	+11,711	4,222	4,343	
77	MOLDOVA PAISACA DORNETI'	550	63,8	152	32	0,25	71,103	21,129	51,980	0,2635	0,3335	0,2500	1,3338	+5,309	1,850	7,806	
78	MOLDOVA ROMAN-TUPILATI	1830	382	252	53	0,25	411,227	116,407	234,820	0,2691	0,3334	0,2300	1,3335	+29,222	7,651	7,622	
79	BLJAKITA CIRNU - BICAZ	1620	360	187	45	0,32	304,656	89,201	213,455	0,2401	0,3334	0,2300	1,3336	-5,364	1,657	15,600	
80	CRACAV SLOBOZIA	380	42,7	125	27	0,25	45,133	12,319	33,520	0,2681	0,3335	0,2500	1,3340	+3,139	7,351	7,225	
81	AIAU AIAU	260	26,6	98	22	0,23	24,657	6,870	13,787	0,2688	0,3336	0,2500	1,3343	-1,345	3,364	7,308	
82	TROTUS TG. OCNA	1380	182	122	27	0,30	35,241	144,759	118,002	0,2685	0,3335	0,2300	1,3340	-13,258	1,381	10,437	
83	CIRUZ SĂRDANESTI'	250	36,5	125	26	0,26	34,935	3,057	25,842	0,2674	0,3336	0,2300	1,3341	-1,335	4,385	4,301	
84	TROTUS APULJ-TRAEANA.	2000	242	160	32	0,21	30,224	75,834	23,941	0,2667	0,3335	0,2500	1,3338	+6,544	6,384	13,004	
85	GRZED	320	31,2	90	24	0,26	25,215	3,250	13,012	0,2675	0,3336	0,2340	1,3340	-1,361	3,376	3,223	
86	KUREAD	335	30,7	230	60	0,30	34,935	4,944	32,546	0,2602	0,3334	0,2300	1,3335	-10,010	4,290	4,057	
87	MURNA TULNICI'	510	37,5	116	23	0,23	36,249	13,692	42,187	0,2666	0,3336	0,2300	1,3343	-1,334	4,233	4,233	

tabell nr. 6.1.a. (continuare) (6)

· ANEXA NR. 7.2

```
1 REM "BASIC 62 A"
2 REM "DIMENSIUNEA UNEI ACUMULARI NEPERMANENTE"
3 REM "GENERAREA HIDROGRAFULUI DE VITATURA"
4 REM "DUPA METODA : "
5 REM "CALARIU"
6 REM "VARIANTA : 1.2."
1a READ N,M
2a PRINT "NR.PUNCTE GRAFIC CEAD DE UMPLERE N = " ; N
3a PRINT "NR.TERIMENT CURBE DE CAPACITATE LAC M = " ; M
4a DIM H(M),F(M)
45 DIM P(N),E(N),Y(N)
5a DIM Q(250),Z(250),D(250),S(250)
95 DIM X(250),Y(250),T(250),B(250),C(250),A(250)
6a DIM R(250),U(250)
65 DIM I(250),J(250),L(250),M(250),N(250),O(250)
7a READ H1 , H2 , H3 , H4
8a READ HO , T4
9a READ M4
95 PRINT
10a PRINT "COTA PRAG GOLIRE FUND H1 = " ; H1 ; "MDM"
11a PRINT "COTA AX GOLIRE FUND" H2 = " ; H2 ; "MDM"
12a PRINT "COTA CREASTA DEVESEUR H3 = " ; H3 ; "MDM"
13a PRINT "NIVEL MAXIM IN LAC H4 = " ; H4 ; "MDM"
14a PRINT "NIVEL EXISTENT IN LAC HO = " ; HO ; "MDM"
15a PRINT "PAS DE TEMP DT = " ; T4 ; "DT"
16a PRINT "COEF.DEBIT GOLIRE FUND M4 = " ; M4
18a FOR J = 1 TO M
19a READ H(J)
20a NEXT J
21a FOR J = 1 TO M
22a READ F(J)
23a NEXT J
27a READ N5
```

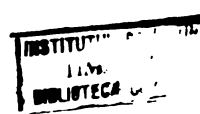
```
375 PRINT
390 READ D1,N1,II,D2
400 PRINT "DIAMETRU GOLIRE FUND D = " ; D1 ; "M"
410 PRINT "COEF. EUGAZITATE N = " ; N1
420 PRINT "PANTA GOLIRE FUND II = " ; II
425 PRINT "INALTIME LIBERA GOLIRE FUND D2 = " ; D2 ; "M"
427 PRINT
430 FOR J = 1 TO N
440 READ P(J)
450 NEXT J
460 FOR J = 1 TO N
470 READ E(J)
480 NEXT J
490 FOR J = 1 TO N
495 READ V(J)
500 NEXT J
510 READ Q2
520 PRINT "DEBITUL MAX.ADM.AVAL QMAX.AVAL = " ; Q2 ; "M^3/S"
525 PRINT
530 A1 = (D1^2) * PI/4
520 R1 = D1/4
530 C1 = (R1^(1/6))/N1
540 K1 = A1 * C1 * SQR(R1)
542 V1 = C1 * SQR(R1)
550 PRINT "SECTIUNEA LA PLIN A = " ; A1
560 PRINT "COEFICIENT CHEZY C = " ; C1
570 PRINT "RAZA HIDRAULICA R = " ; R1
580 PRINT "MODUL DEBIT LA PLIN K = " ; K1
582 PRINT "MODUL VITEZA LA PLIN V = " ; V1
700 READ Q0 , W1 , E0
730 PRINT "DEBIT DE BAZA Q0 = " ; Q0 ; "M^3/S"
740 PRINT "VOLUM UNDA W1 = " ; W1 ; "M^3"
750 PRINT "ERA.ADM.LA A E0 = " ; E0
760 PRINT
800 READ M3 , B2 , G2
810 PRINT "COEF.DEBIT DEVERSOR M3 = " ; M3
820 PRINT "LUNG.CREASTA DIVERSOR B2 = " ; B2
830 PRINT "ACCELERATIA GRAVIT. G2 = " ; G2
835 PRINT
840 GOSUB 6000
```

```
1000 REM "GENERAREA HIDROGRAFULUI DE VITUMA"
1005 T5 = T1/T2
1010 G = (W1 - Q0 * T1 * 3600)/((Q1 - Q0) * T1 * 3600)
1020 PRINT "GAMA = " ; G
1030 F = T5 - 1
1040 U = T5 - 2
1050 K = 30
1060 L1 = 1
1070 PRINT
1080 FOR I = 1 TO 250
1090 I(1) = K - 1/L1
1100 J(I) = 4 * I(I) * F - U ^ 2
1110 IF J(I) > 0 THEN 1150
1120 K = I(I)
1130 PRINT "K = " ; K
1140 GO TO 1060
1150 L(I) = ((I(I) + 1) * U * LOG (F))/(I(I) ^ 2)
1160 M(I) = (I(I) + 1) * (2 * I(I) * F - U ^ 2 * SQR (J(I)))
1170 N(I) = ATN((2 * I(I) * F + U)/SQR (J(I))) - ATN ((T5 - 2 *
(I(I) + 1))/SQR (J(I)))
1180 Ø(I) = L(I) + M(I) * N(I) - T5/I(I)
1190 X1 = G * T5
1200 PRINT "W* = " ; X1
1210 IF Ø(I) >= X1 THEN 1240
1220 PRINT "A(" ; I(I) ; ") = " ; I(I), "W(" ; I ; ") = " ; Ø(I)
1230 GO TO 1150
1240 Y1 = (ABS (Ø(I) - X1)) * 100/Ø(I)
1250 IF Y1 <= E0 THEN 1310
1260 K = I(I - 1)
1270 PRINT "K = " ; K
1280 L1 = L1 * 10
1290 PRINT "L1 = " ; L1
1300 GO TO 1070
1310 PRINT "ERR. = " ; Y1
1320 A = I(I)
1330 W = Ø(I)
1340 GO TO 1360
1350 NEXT I
1360 PRINT
1370 PRINT "W* = " ; X1
1380 PRINT "W = " ; W
```

```
139c PRINT "A = " ; A
140c B = T5 - 2 * (A + 1)
141c PRINT "B = " ; B
142c C = A + 1
143c PRINT "C = " ; C
144c FOR I = 1 TO T1
145c T(I) = I
146c A(I) = (Q1 - Q0) * (T1 - T(I)) * T(I)/(A * T(I)) ^ 2 +
    + B * T2 * T(I) + C * T2 ^ 2) + Q0
147c NEXT I
148c PRINT
149c PRINT "HIDROGRAFUL GENERAT DT = 1 ERA"
150c PRINT
151c FOR J = 1 TO T1 STEP N3
152c N2 = J + N3 - 1
153c FOR I = J TO N2
154c PRINT "A(" ; I ; ") = " ; A(I)
155c NEXT I
156c PRINT
157c NEXT J
158c PRINT
159c NEXT J
160c PRINT
161c Q(1) = 0
162c N4 = 25c/r4
163c FOR I = 2 TO N4
164c J = T4 * I - T4
165c Q(I) = A(J)
166c NEXT I
167c FOR I = N4 + 1 TO 25c
168c Q(I) = 0
169c NEXT I
170c PRINT
171c PRINT "HIDROGRAFUL DE CALCUL DT = " ; T4 ; "ERA"
172c PRINT
173c FOR J = 1 TO 25c STEP N3
174c N2 = J + N3 - 1
175c FOR I = J TO N2
176c PRINT "Q(" ; I ; ") = " ; Q(I)
177c NEXT I
178c PRINT
179c NEXT J
180c R2 = D2/D1
181c GOSUB 5000
```

```
1920 LET Z = (A1 * K1)/(A2 * VL)
1930 GOSUB 6000
1940 PRINT
1950 LET Z(1) = H1
1960 LET Z = Z(1)
1970 GOSUB 4000
1980 LET Z(1) = H
1990 FOR I = 1 TO 249
2000 PRINT "I = ", I
2010 IF Z(I) > = H1 THEN 2060
2020 PRINT
2030 PRINT "GREALA ! NIVELUL INITIAL IN LAC SUB OPTA PENTRU"
2040 PRINT "SOLDAT FUND"
2050 GOSUB 3000
2060 IF Z(I) > H1 + D1 THEN 2160
2070 LET X(I) = (Z(I) - H1)/D1
2080 LET R2 = R(I)
2090 GOSUB 5000
2100 LET U(I) = A2
2110 LET E(I) = U(I) * H1 * SQRT(I)
2120 LET C(I) = D(I) * T4 * 3600/R(I)
2130 LET X(I) = 0
2140 LET Y(I) = 0
2150 GOSUB 2240
2160 IF Z(I) > H3 THEN 2260
2170 LET X(I) = 0
2180 LET Y(I) = Z(I) - H2
2190 GOSUB 2225
2200 IF Z(I) > H4 THEN 2310
2210 LET X(I) = Z(I) - H3
2220 LET Y(I) = Z(I) - H2
2230 LET D(I) = H(I)^(3/2) + M1 + Y(I)^(1/2) * M2
2240 LET C(I) = (M1 * X(I)^(3/2) + M2 * Y(I)^(1/2)) * T4 * 3600/S(I)
2250 LET E(I) = (Q(I) + Q(I+1)) * T4 * 3600/(2 * S(I))
2260 LET Z(I+1) = Z(I) + B(I) - C(I)
2270 LET Z = Z(I+1)
2280 GOSUB 4000
2290 LET L(I+1) = S
2300 LET M = 1
2310 GOSUB 2450
2320 PRINT
```

2315 PRINT "H0 = " ; H0
2320 PRINT "SE DEPASSEaza NIVELUL MAXIM DE RETINTE"
2325 PRINT "SE REDUCE H0"
2330 PRINT
2340 H0 = H0 - 0.1
2345 PRINT "H0 = " ; H0
2350 IF H0 > H1 THEN 2410
2360 PRINT "LACUL COMPLET GELATIF"
2365 PRINT "SE MAJOREAZA H3 si H4"
2370 PRINT
2380 H0 = H1 + 0.1
2385 PRINT "H0 = " ; H0
2390 H3 = H3 + 0.1
2395 PRINT "HDLV = " ; H3
2400 H4 = H4 + 0.1
2405 PRINT "HMAX = " ; H4
2410 GO TO 2300
2420 FOR I = 10 TO 249
2425 IF D(I) > D(I+1) THEN 2461
2430 NEXT I
2440 Z5 = Z(I)
2450 PRINT
2455 PRINT "Z MAX AFERUAT = " ; Z5 ; "EDM"
2460 Q5 = D(I)
2467 PRINT
2468 PRINT "Q MAX.AFERUAT = " ; Q5 ; "M ^ 3/S"
2469 PRINT
2470 IF Q5 <= Q2 THEN 2550
2475 PRINT
2480 PRINT "SE DEPASSEaza Q MAX.AVAL"
2485 PRINT "SE CBTUREAZA UNI MULT GELATINA DE FUND"
2490 PRINT
2500 D2 = D2 - 0.02
2505 PRINT "INALTAREA LIBERA GALATA.FUND D2 = " ; D2 ; "M"
2520 GO TO 1900
2530 PRINT
2535 PRINT "CSTE FINALE"
2540 PRINT
2545 PRINT "H0 = " ; H0 ; "EDM"
2550 PRINT "H1 = " ; H1 ; "EDM"
2555 PRINT "H2 = " ; H2 ; "EDM"
2560 PRINT "H3 = " ; H3 ; "EDM"



```
2585 PRINT "IMAX,LAC      = " ; H4 ; "LM"
2587 PRINT "LUNG.DEV.    = " ; R2 ; "L"
2590 PRINT "OBTURARE     = " ; D2 ; "M"
2595 PRINT
2600 INPUT A$
2610 PRINT "HIDROGRAFUL ATENCIAT"
2615 PRINT
2620 FOR J = 1 TO 25 STEP N3
2625 PRINT "H(";J;")" , "Q(" ; J ; ")"
2630 PRINT
2635 N2 = J + N3 - 1
2640 FOR I = J TO N2
2645 PRINT Z(I) , D(I)
2650 NEXT I
2655 PRINT
2660 INPUT A$
2670 NEXT J
2680 REM "AFISARE GRAFICA HIDROGRAFIE"
2690 INITP
2700 X1 = 0
2710 X2 = 250
2720 Y1 = 0
2730 Y2 = Q1
2740 VLINEPORT 10,110,20,100
2750 WINDPW X1,X2,Y1,Y2
2760 MOVE X1,Y1
2770 DRAW X1,Y2
2780 DRAW X2,Y2
2790 DRAW X2,Y1
2800 DRAW X1,Y1
2810 X5 = Q2
2820 MOVE X1,Y5
2830 DRAW X2,Y5
2840 MOVE X1,Y1
2850 DRAW X1,Y1
2860 FOR I = 1 TO 250
2870 X(I) = 1
2880 DRAW X(I) , Q(I)
2890 NEXT I
2900 MOVE X1,Y1
2910 FOR I = 1 TO 250
2920 X(I) = 1
```

```
2950 DRAW X(I),D(I)
2970 NEXT I
2980 PRINT AT (28,5) ; "IT'S O.K."
3000 STOP
3020 PRINT
4010 FOR J = 1 TO M
4020 IF Z < H(J) THEN 4080
4030 IF Z > H(J+1) THEN 4030
4040 A8 = (Z - H(J))/(H(J+1) - H(J))
4050 S = F(J) + (F(J+1) - F(J)) * A8
4070 G8 TO 4090
4080 NEXT J
4090 RETURN
5000 PRINT
5010 FOR J = 1 TO N
5020 IF R2 < P(J) THEN 5070
5030 IF R2 > P(J+1) THEN 5070
5040 A7 = (R2 - P(J))/(P(J+1) - P(J))
5050 A2 = E(J) + (E(J+1) - E(J)) * A7
5055 A3 = V(J) + (V(J+1) - V(J)) * A7
5060 G9 TO 5080
5070 NEXT J
5080 RETURN
6000 M1 = M3 * B2 * SQR(2 * G2)
6005 PRINT
6010 PRINT "C&EF.GLOBAL DEBIT DEV. M1 = " ; M1
6015 PRINT
6020 RETURN
6030 PRINT
6040 PRINT
6050 M2 = M4 * A5 * SQR (2 * G2)
60520 PRINT
60530 PRINT "C&EF.GLOBAL DEBIT C&LIRE FUND M2 = " ; M2
60540 PRINT
60550 RETURN
6060 DATA 21,2
60610 DATA 115,116.2, 124.9 , 125.25
60620 DATA 115.2 , 2
60630 DATA .3
60640 DATA 114, 115, 116, 117, 118, 119, 120
```

8e50 DATA 121, 122, 123, 124, 125, 126, 127
8e60 DATA 128, 129, 130, 131, 132, 133
8e70 DATA 5E3, 16E3, 36E3, 100E3, 140E3, 500E3, 2000E3
8e80 DATA 3.5E6, 4.2E6, 6.75E6, 8.65E6, 9.75E6, 11.65E6, 13.61E6
8e90 DATA 16E6, 19E6, 22E6, 25E6, 29E6, 35E6
8130 DATA 25
8150 DATA 200, 231, 38
8160 DATA 2.4, 0.014, 0.002273, 2.4
8170 DATA 0, 0.05, 0.1, 0.15, 0.2, 0.25, 0.3
8180 DATA 0.35, 0.4, 0.45, 0.5, 0.55, 0.6, 0.65
8190 DATA 0.7, 0.75, 0.8, 0.85, 0.9, 0.95, 1
8200 DATA 0, 0.005, 0.03, 0.05, 0.09, 0.13, 0.195
8210 DATA 0.265, 0.335, 0.42, 0.5, 0.6, 0.67, 0.75
8220 DATA 0.835, 0.905, 0.98, 1.035, 1.065, 1.055, 1
8230 DATA 0, 0.25, 0.33, 0.51, 0.615, 0.7, 0.775
8240 DATA 0.85, 0.9, 0.95, 0.995, 1.035, 1.065, 1.09
8250 DATA 1.115, 1.13, 1.135, 1.135, 1.03, 1.095, 1
8260 DATA 17
8270 DATA 0, 33.3119E6, 1
8280 DATA 0.4, 30, 9.8e665
9e00 END

- 10 -

- 3 REM "GENERAREA HIDROGRAFULUI DE VITURA"
- 4 REM "DUPA METODA : "
- 5 REM "SKOKOLOVSKI"

SEVENTA 1000-1500 SE INLOCUIESTE CU :

```
1000 REM "GENERAREA HIDROGRAFULUI DE VITURA DUPA SKOKOLOVSKI"
1010 FOR I = 1 TO T2
1020 T(I) = I
1030 A(I) = Q1 * (T(I)/T2)^P
1040 NEXT I
1050 FOR I = T2 TO T1
1060 T(I) = I
1070 A(I) = Q1 * ((T3 - T(I) - T2))/T3)^R
1080 NEXT I
1090 IF T1 >= 250 THEN 1500
1100 FOR I = T1 TO 250
1110 T(I) = I
1120 A(I) = 0
1130 NEXT I
```

- 6 REM "VARIANTA : I.1"

- SE ELIMINA LINIILE : 2485 - 2505
- SE INTRODUC :

```
2500 GE TO 2365
3150 DATA 2.4,0.014,0.002273,1.35
```

- 6 REM "VARIANTA : II.1"

- FATA DE VARIANTA I.1 SE MODIFICA :

```
8050 DATA 542,231,38
8160 DATA 2.4,0.014,0.002273,1.35
8200 DATA 71
```

- 6 REM "VARIANTA : I.2"

- SE ELIMINA LINIA 2590

- 6 REM "VARIANTA : II.2"

- FATA DE VARIANTA I.2 SE INTRODUCE :

```
2485 PRINT "SE REDUCE LUNGIMEA CRESTERII DEVERSOR"
12500 B2 = B2 - 0.5
2505 PRINT "LUNGIMEA CRESTERII DEVERSOR B2 = " ; B2
```

C U P R I N S

- CAPITOLUL 1 - Introducere. Obiectivele tezei
- CAPITOLUL 2 - Prognoza hidrologică
- 2.1. Metode de prognoză utilizate în hidrologie
 - 2.1.1. Prognoza de scurtă durată
 - 2.2. Modelarea hidrologică cu metoda de prognoză
 - 2.3. Utilizarea mijloacelor moderne de calcul în studiul prognozei viitorilor
 - 2.4. Prognoza de lungă durată
 - 2.5. Prognoze pe durată de existență
 - 2.5.1. Utilizarea curbelor empirice de probabilitate
 - 2.5.2. Utilizarea repartiției PEARSON III
 - 2.5.3. Metodologia standardizată privită prin prisma studiului actual de dezvoltare a statisticii matematice și teoriei probabilităților
- CAPITOLUL 3 - Metode moderne ale statisticii matematice și teoriei probabilităților cu aplicații în hidrologie
- 3.1. Principiile prelevării eșantionului
 - 3.2. Principiile verificării ipotezelor statistice
 - 3.3. Determinarea momentelor empirice și a momentelor empirice centrale
 - 3.4. Ipoteze statistice de bază și verificarea acestora
 - 3.4.1. Verificarea independenței termenilor eșantionului
 - 3.4.2. Verificarea omogenității eșantionului
 - 3.4.3. Verificarea suprapunerii curbelor funcțiilor analitice de probabilitate peste curbele empirice
 - 3.5. Calculul și reprezentarea graficului empiric de probabilitate și a unei curbe teoretice de tip continuu
 - 3.5.1. Calculul și trăsarea graficului empiric de probabilitate
 - 3.5.2. Curbe teoretice de probabilitate
- CAPITOLUL 4 - Exemplu de aplicare a metodologiei propuse
- 4.1. Prelucrare niveltărilor
 - 4.2. Prelucrare debitelor

- 4.3. Rezultate ale prelucrării datelor hidrometrice (niveluri și debite maxime anuale) înregistrate de la mai multe posturi hidrometrice din spațiul hidrografic Banat	54
4.3.1. Analiza rezultatelor	55
4.3.2. Concluzii la capituloarele 3 și 4	60
CAPITOLUL 5 - Probleme ale prognozării viiturilor în B.H.	
controlate de lacuri de acumulare, și ale utilizării prognozelor la dimensionarea și exploatarea acestora	61
- 5.1. Problema transformării acumulațiilor nepermanente în acumulații permanente	63
5.1.1. Principalele situații în exploatarea unei acumulații nepermanente transformată în acumulare permanentă	64
5.1.2. Modelul matematic	67
5.1.3. Caracteristici ale acumulației nepermanente Cedar - Duboz	71
5.1.4. Verificarea dimensionării acumulației în etapa a II-a, conform proiectului de execuție	73
5.1.5. Optimizarea exploatarii acumulației Cedar-Duboz prin aplicarea modelului matematic propus	76
- 5.2. Problema utilizării intercalate a volumului util și a volumului de protecție în acumulații permanente	79
- 5.3. Probleme connexe ale prognozei viiturilor în utilizările lor la dimensionarea și exploatarea acumulațiilor	79
CAPITOLUL 6 - Metode de generare a hidrografului de viitură pe bază parametrilor	
- 6.1. Metoda Cedarului de generare a hidrografului de viitură	83
- 6.2. Metoda Sokolovski de generare a hidrografului de viitură	87
- 6.3. Îmbunătățirea metodei Sokolovski de generare a hidrografului de viitură	89
- 6.4. Utilizarea graficului propus, pentru calculul hidrografului de viitură	95
CAPITOLUL 7 - Compararea metodelor de generare a hidrografelor de viitură în proiecțarea unei acumulații nepermanente	
	104